

GM 55030

PROGRAMME D'EXPLORATION, PROJET EASTMAIN

Documents complémentaires

Additional Files



Licence



Licence

Cette première page a été ajoutée
au document et ne fait pas partie du
rapport tel que soumis par les auteurs.

Énergie et Ressources
naturelles

Québec 

Ministère de l'Énergie et des Ressources

Programme de soutien du secteur minier de la région

de Chapais-Chibougamau

199 4 Volet II- B

Rapport d'exploration

Pour : GEO NOVA EXPLORATION

Projet : OPTION DEJOUR 2

Numéro d'entente : 94-~~II~~B-09

MRN - GÉOINFORMATION

1997

GM 55030

Territoire : 33A/01

RIVIERE EASTMAIN

Date : 25 AVRIL 95

PROJET EASTMAIN
Programme d'exploration
1994

| | |
|----------------------|------|
| MRN - GÉOINFORMATION | 1997 |
| GM 55030 | |



Décembre 1994

André Tremblay

TABLE DES MATIERES

| | Page |
|--|------|
| 1.0 INTRODUCTION | 1 |
| 2.0 LOCALISATION ET ACCES | 2 |
| 3.0 CLAIMS | 4 |
| 4.0 GEOLOGIE REGIONALE | 10 |
| 5.0 TRAVAUX ANTERIEURS | 12 |
| 6.0 TRAVAUX RECENTS | 17 |
| 6.1 Réinterprétation du levé aéroporté | 17 |
| 6.2 Interprétation des linéaments | 22 |
| 6.3 Compilation | 27 |
| 6.4 Coupe de lignes | 28 |
| 6.4.1 Bloc Dejour | 28 |
| 6.4.2 Bloc Main | 29 |
| 6.4.3 Bloc Colline Noire | 29 |
| 6.5 Levé géophysique (Mag–MaxMin–PP) | 30 |
| 6.5.1 Levé magnétométrique | 30 |
| 6.5.2 Levé électromagnétique | 32 |
| 6.5.3 Levé de polarisation provoquée | 34 |
| 6.6 Prospection Beep Mat | 36 |
| 6.6.1 Bloc Colline Noire | 37 |
| 6.6.2 Bloc Main | 37 |
| 6.6.3 Bloc Dejour NE | 39 |
| 6.6.4 Dejour SW | 40 |
| 6.7 Levé géologique de détail | 41 |
| 6.7.1 Colline Noire | 41 |
| 6.7.2 Bloc Main | 47 |
| 6.7.3 Bloc Dejour | 56 |
| 6.8 Sondages | 76 |
| 7.0 CONCLUSIONS | 87 |
| 8.0 RECOMMANDATIONS | 92 |
| BUDGET | 95 |

TABLE DES MATIERES (suite)

Page

LISTE DES FIGURES

| | | | |
|------------|--------------------------------------|------------|----|
| Figure 1. | Carte de localisation | | 3 |
| Figure 2. | Carte de claims | 1:50,000 | 7 |
| Figure 3. | Carte de géologie régionale | 1:250,000 | 11 |
| Figure 4. | Interprétation du levé aéroporté | ≈ 1:66,666 | 19 |
| Figure 5. | Interprétation des linéaments | 1:100,000 | 24 |
| Figure 6. | Secteur Nord – Colline Noire | 1:10,000 | 46 |
| Figure 7. | Géologie de l'indice GL | 1:250 | 49 |
| Figure 8. | Structures au nord du Lac Rond | 1:500 | 51 |
| Figure 9. | Structures à l'est du Lac Rond | 1:250 | 53 |
| Figure 10. | Géologie de la Colline Brulée | 1:2,000 | 55 |
| Figure 11. | Géologie de l'indice Exko | 1:1,000 | 60 |
| Figure 12. | Géologie de l'indice du Lac Jim | 1:1,000 | 65 |
| Figure 13. | Brèche de sulfures – Tranchée 1 | 1:400 | 70 |
| Figure 14. | Brèche de sulfures – Tranchée 2 | 1:200 | 71 |
| Figure 15. | Géologie et structures – Grid B | 1:2,500 | 74 |
| Figure 16. | Section de sondages – Indice Exko | 1:250 | 78 |
| Figure 17. | Section de sondages – Indice Lac Jim | 1:250 | 83 |
| Figure 18. | Section de sondages – Lac GL | 1:250 | 86 |

LISTE DES TABLEAUX

| | | | |
|------------|--|--|----|
| Tableau 1. | Liste des claims | | 5 |
| Tableau 2. | Direction des failles par secteur | | 43 |
| Tableau 3. | Meilleurs résultats d'analyses – Colline Noire | | 45 |
| Tableau 4. | Meilleurs résultats d'analyses – Main | | 48 |
| Tableau 5. | Meilleurs résultats d'analyses – Dejour NE | | 57 |
| Tableau 6. | Meilleurs résultats d'analyses – Dejour SO | | 69 |
| Tableau 7. | Paramètres des sondages | | 77 |

LISTE DES ANNEXES

| | | | |
|-----------|--|--|--|
| Annexe 1. | Liste des échantillons analysés – géologie | | |
| Annexe 2. | Journaux de sondages GE-94-1 à GE-94-6 | | |

TABLE DES MATIERES (suite)

Page

LISTE DES CARTES

| | |
|--|-------------|
| Géologie – 4 (1:10,000) (Colline Noire, Main, Dejour NE, Dejour SO) | en pochette |
| Echantillonnage – 4 (1:10,000) (Colline Noire, Main, Dejour NE, Dejour SO) | en pochette |
| Cartes de compilation – 4 (1:10,000) (Colline Noire, Main, Dejour NE, Dejour SO) | en pochette |

1.0 INTRODUCTION

En 1994, GéoNova Explorations inc. a effectué des travaux d'exploration sur la propriété Eastmain située dans le nord du Québec dans le but de mettre à jour des minéralisations aurifères du même type que le gisement que MSV exploite à environ 15 km au sud-est.

La propriété Eastmain comprend trois (3) blocs totalisant 599 claims s'étendant sur une distance d'environ 50 km et qui sont, du sud-ouest vers le nord-est: le bloc Dejour, le bloc Main (Eastmain et Main), et le bloc Colline Noire.

Le bloc Dejour est détenu à 100% par Dejour Mines Ltd. GéoNova a l'option d'acquérir 51% de cette propriété avec \$350,000 de travaux effectués avant août 1995. Kingswood conserve ensuite des royautés de 3% NSR sur toute production aurifère et 5% NPI sur toute production de métaux de base appartenant à GéoNova.

Le bloc Main (Eastmain et Main) est détenu à 100% par GéoNova Explorations. Des royautés de 2% NSR à "Band Ore" et 1% NSR à Kingswood sur toute production aurifère ainsi que 1.7% NPI à Kingswood et 3.3% NPI à Band Ore sur toute production de métaux de base ont été consenties sur le bloc de claims Eastmain. Des royautés de 3% NSR sur toute production aurifère et 5% NPI sur toute production de métaux de base ont aussi été consenties à Kingswood sur le bloc de claims Main.

Le bloc "Colline Noire" est détenu à 100% par GéoNova Explorations inc. Des royautés de 3% NSR sur toute production aurifère et 5% NPI sur toute production de métaux de base ont été consenties à Kingswood.

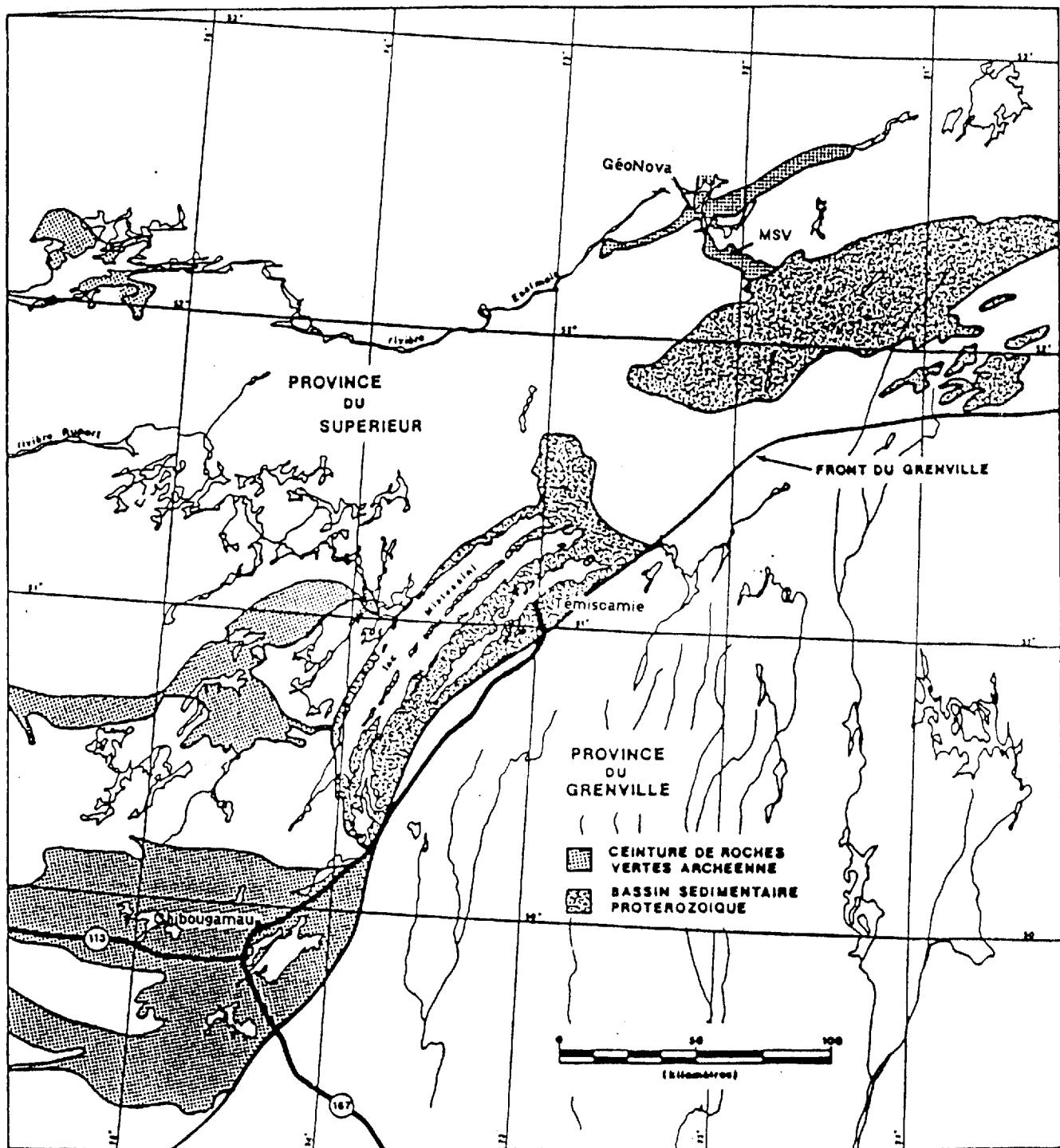


Figure 1: Carte de localisation

De plus, GéoNova est en co-participation (50-50) avec Soquem sur le bloc de 379 claims s'étendant sur une distance de 20 km au nord-est de Colline Noire. Soquem est l'opérateur des travaux d'exploration. Des royautés de 3% NSR sur toute production aurifère et 5% NPI sur toute production de métaux de base appartenant à GéoNova ont été consenties à Kingswood.

2.0 LOCALISATION ET ACCES

La propriété Eastmain est située à environ 320 kilomètres au NNE de Chibougamau et environ 160 kilomètres au nord de Témiscamie qui est situé à l'extrémité nord de la route reliant le lac Albanel à Chibougamau (Figure 1).

La propriété est comprise entre les longitudes 72°07' à l'extrémité est du bloc Colline Noire et 72°45' à l'extrémité ouest du bloc Dejour, et entre les latitudes 52°15' à l'extrémité sud du bloc Dejour et 52°29' à l'extrémité nord du bloc Colline Noire. Le bloc de claims Lac Harbour, en option avec Soquem, est adjacent et situé à l'ENE de la propriété.

La propriété est accessible par voie des airs directement de Chibougamau ou via la base de Témiscamie qui est en opération de façon saisonnière. Depuis l'hiver 1994, une route d'hiver de 160 km relie Témiscamie au gisement de MSV situé à environ 15 kilomètres à ESE du centre de la propriété.

3.0 CLAIMS

La propriété Eastmain comprend 4 blocs totalisant 978 claims et qui sont: le bloc Dejour – le bloc Main (groupes Eastmain et Main); le bloc Colline Noire – le bloc Lac Harbour (Option Soquem). GéoNova est l'opérateur des travaux effectués sur les 3 premiers blocs totalisant 599 claims et Soquem est l'opérateur des travaux sur le dernier bloc de 379 claims.

Le bloc Dejour est inclus sur les cartes de claims 33/A-07 et 33/A-08 et comprend 252 claims jalonnés en 1988 et totalisant 4,032 hectares (16,877 acres).

Le bloc Main (Eastmain et Main) est inclus sur la carte de claims 33/A-08 et comprend 242 claims contigus totalisant 3,872 hectares (9,567 acres). Le groupe Eastmain comprend 55 claims jalonnés en 1989 et le groupe Main comprend 187 claims jalonnés en 1990.

Le bloc Colline Noire comprend 105 claims adjacents totalisant 1,680 hectares (4,151 acres) inclus sur la carte de claims 33/A-08 et qui ont été jalonnés en 1990.

Le bloc Lac Harbour comprend 379 claims adjacents inclus sur les cartes 33/A-08, 23/D-05 et 23/D-12 et totalisant 6,064 hectares (14,985 acres). Un bloc de 60 claims a été jalonné en 1990 et un bloc de 319 claims fut jalonnés en 1992.

La liste de claims des divers blocs est présentée au Tableau 1 et la disposition des claims des blocs Dejour, Main et Colline Noire est montrée sur la Figure 2 (a, b et c).

TABLEAU 1. LISTE DES CLAIMS

| BLOC | PERMIS et CLAIMS | SUPERFICIE (ha) | DATE D'EXPIRATION | |
|--------|------------------|-----------------|-------------------|----------|
| Dejour | 469884 | 1-5 | 80 | Mai 1996 |
| | 469885 | 1-5 | 80 | Mai 1996 |
| | 469886 | 1-5 | 80 | Mai 1996 |
| | 469887 | 1-5 | 80 | Mai 1996 |
| | 469888 | 1-5 | 80 | Mai 1996 |
| | 469889 | 1-5 | 80 | Mai 1996 |
| | 469890 | 1-5 | 80 | Mai 1996 |
| | 469894 | 1-5 | 80 | Mai 1996 |
| | 469895 | 1-5 | 80 | Mai 1996 |
| | 469896 | 1-5 | 80 | Mai 1996 |
| | 469897 | 1-5 | 80 | Mai 1996 |
| | 469898 | 1-5 | 80 | Mai 1996 |
| | 469899 | 1-5 | 80 | Mai 1996 |
| | 469900 | 1-5 | 80 | Mai 1996 |
| | 469904 | 1-5 | 80 | Mai 1996 |
| | 469906 | 1-5 | 80 | Mai 1996 |
| | 469907 | 1-5 | 80 | Mai 1996 |
| | 469908 | 1-5 | 80 | Mai 1996 |
| | 469909 | 1-5 | 80 | Mai 1996 |
| | 469910 | 1-5 | 80 | Mai 1996 |
| | 469911 | 1-5 | 80 | Mai 1996 |
| | 469915 | 1-5 | 80 | Mai 1996 |
| | 469916 | 1-5 | 80 | Mai 1996 |
| | 469917 | 1-5 | 80 | Mai 1996 |
| | 469918 | 1-5 | 80 | Mai 1996 |
| | 469919 | 1-5 | 80 | Mai 1996 |
| | 469920 | 1-5 | 80 | Mai 1996 |
| | 469921 | 1-5 | 80 | Mai 1996 |
| | 469925 | 1-5 | 80 | Mai 1996 |
| | 469926 | 1-5 | 80 | Mai 1996 |
| | 469927 | 1-5 | 80 | Mai 1996 |
| | 469928 | 1-5 | 80 | Mai 1996 |
| | 469929 | 1-5 | 80 | Mai 1996 |
| | 469930 | 1-5 | 80 | Mai 1996 |
| | 469931 | 1-5 | 80 | Mai 1996 |
| | 469940 | 1-5 | 80 | Mai 1996 |
| | 469941 | 1-5 | 80 | Mai 1996 |
| | 469942 | 1-5 | 80 | Mai 1996 |
| | 469943 | 1-5 | 80 | Mai 1996 |
| | 469944 | 1-5 | 80 | Mai 1996 |
| | 469945 | 1-5 | 80 | Mai 1996 |
| | 469946 | 1-5 | 80 | Mai 1996 |
| | 469947 | 1-5 | 80 | Mai 1996 |
| | 469948 | 1-5 | 80 | Mai 1996 |
| | 469949 | 1-5 | 80 | Mai 1996 |
| | 469950 | 1-5 | 80 | Mai 1996 |
| | 469951 | 1-5 | 80 | Mai 1996 |
| 472959 | 1, 2, 5 | 48 | Sept. 1996 | |
| 472960 | 1-5 | 80 | Sept. 1996 | |
| 472961 | 1-3, 5 | 64 | Sept. 1996 | |
| 472962 | 1-5 | 80 | Sept. 1996 | |
| | Total 252 claims | 4,032 | | |

| | | | | |
|-----------------|----------------------------------|-----------------|-----------|------------|
| Eastmain | 472938 | 1-5 | 80 | Juin 1995 |
| | 472939 | 1-5 | 80 | Juin 1995 |
| | 472940 | 1-5 | 80 | Juin 1995 |
| | 472941 | 1-5 | 80 | Juin 1995 |
| | 472942 | 1-5 | 80 | Juin 1995 |
| | 472949 | 1-5 | 80 | Juin 1995 |
| | 472950 | 1-5 | 80 | Juin 1995 |
| | 472951 | 1-5 | 80 | Juin 1995 |
| | 472952 | 1-5 | 80 | Juin 1995 |
| | 5016451 | | 16 | Juin 1995 |
| | 5016458-5016461 | | 64 | Juin 1995 |
| | 5016463-5016466 | | 64 | Juin 1995 |
| | 5016457 | | 16 | Juin 1995 |
| | Main | 5067232-5067384 | | 2448 |
| 5046129-5046153 | | | 400 | Sept. 1996 |
| 5060888-5060896 | | | 144 | Sept. 1996 |
| | Total Eastmain & Main 242 claims | | 3872 | |
| Colline Noire | 5067387-5067491 | | 1680 | Mai 1996 |
| | total 105 claims | | 1680 | |
| Option Soquem | 5097091-5097271 | | 2896 | Juin 1996 |
| | 5097273-5097295 | | 368 | Juin 1996 |
| | 5097299-5097308 | | 160 | Juin 1996 |
| | 5097312-5097416 | | 1680 | Juin 1996 |
| | 5063979-5064000 | | 352 | Nov. 1996 |
| | 5072001-5072038 | | 608 | Nov. 1996 |
| | Total 379 claims | | 6064 | |
| | Grand Total 978 claims | | 15,648 ha | |

Microfilm

PAGE DE DIMENSION HORS STANDARD

MICROFILMÉE SUR 35 MM ET

POSITIONNÉE À LA SUITE DES

PRÉSENTES PAGES STANDARDS

Numérique

PAGE DE DIMENSION HORS STANDARD

NUMÉRISÉE ET POSITIONNÉE À LA

SUITE DES PRÉSENTES PAGES STANDARDS

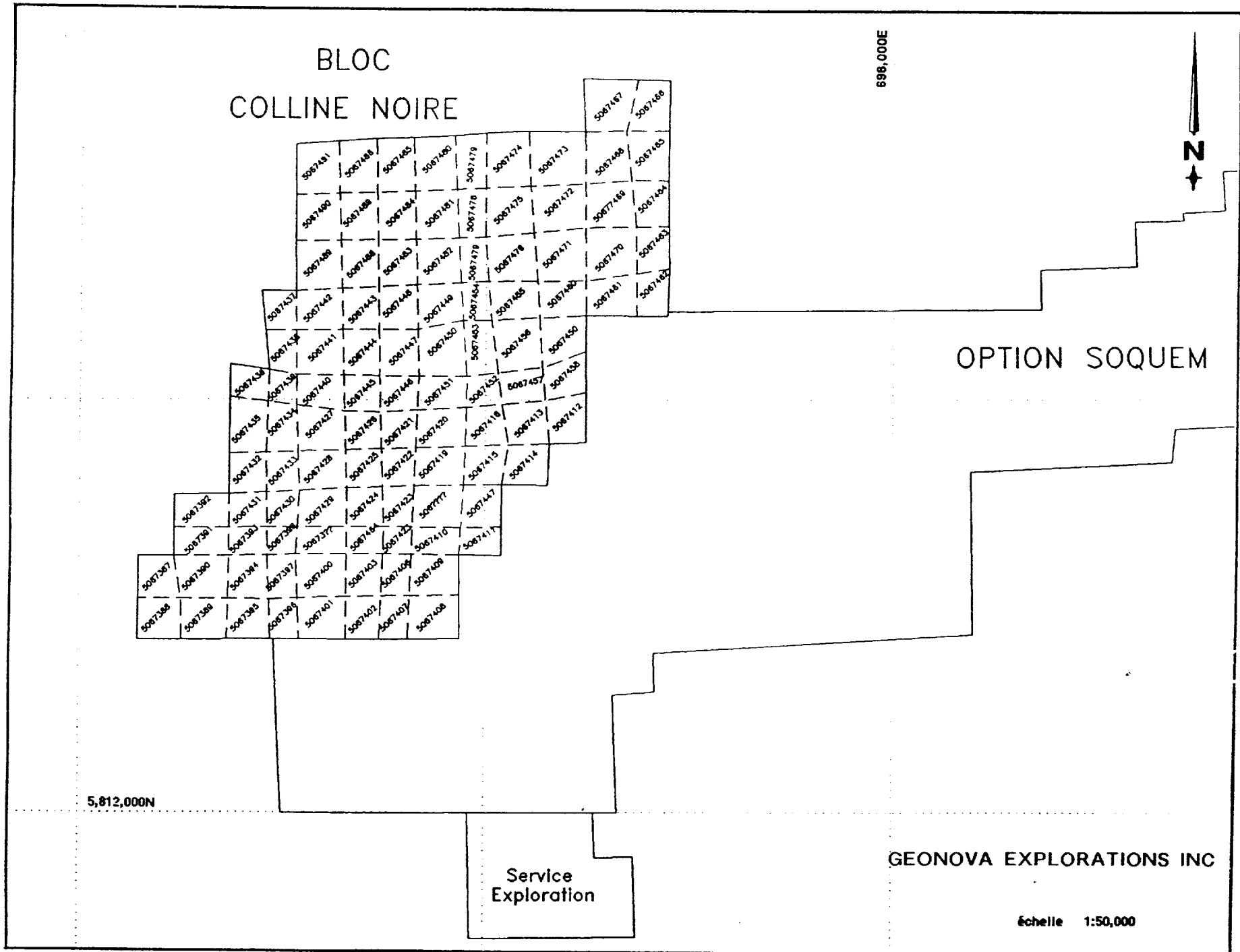


Figure 2c: Carte de claims - Projet Eastmain - Bloc COLLINE NOIRE

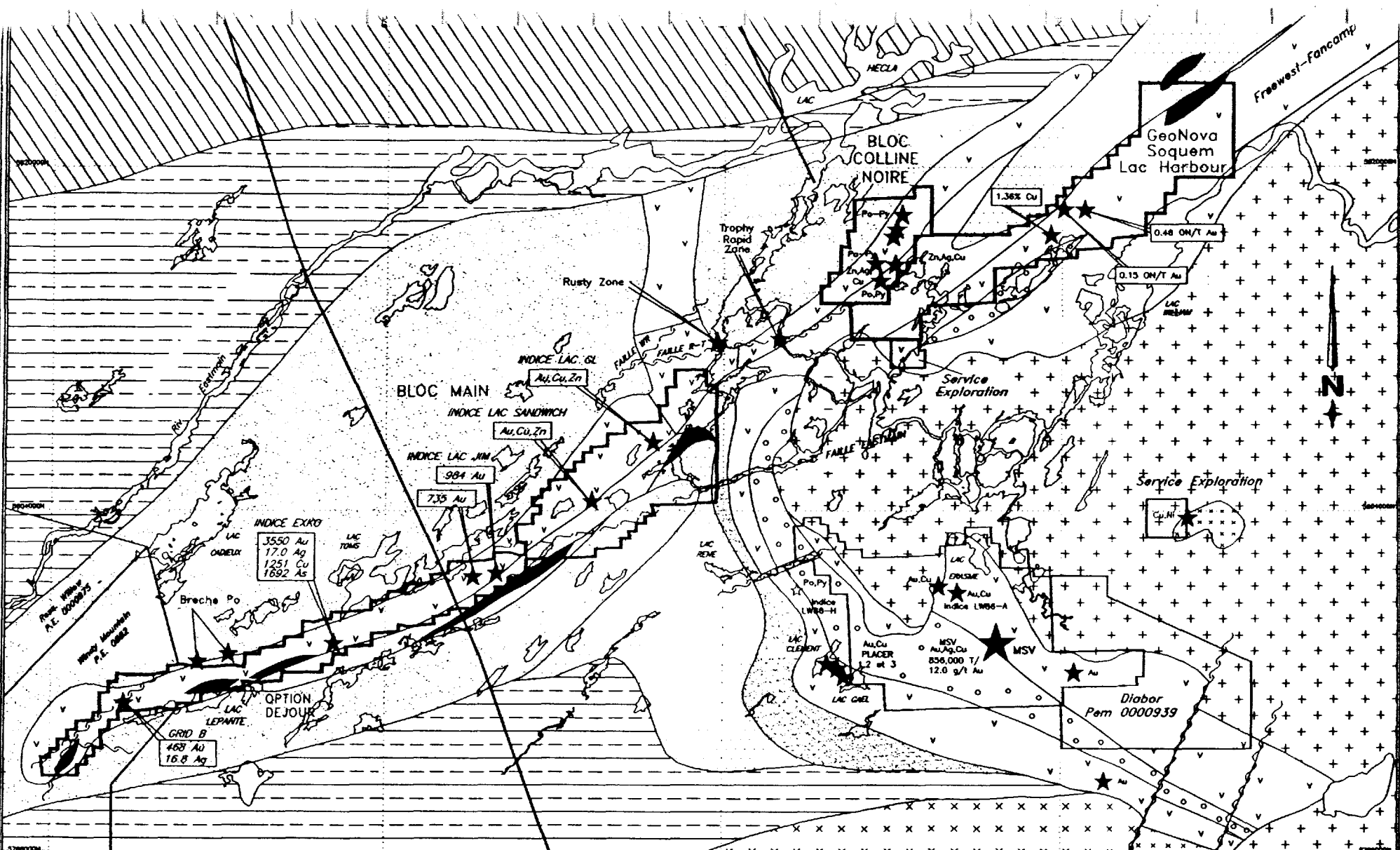
4.0 GEOLOGIE REGIONALE

La ceinture de roches vertes de la rivière Eastmain s'étend sur une distance d'environ 100 km dans une direction ENE, sur une largeur variant de 2,5 km à l'extrémité ouest, à plus de 20 km plus à l'est (Figure 3). Elle consiste en un assemblage volcano-sédimentaire comprenant des laves à prédominance mafiques, massives à coussinées, avec quelques horizons de laves felsiques et ultramafiques, à texture spinifex localement. Les laves sont généralement en contact avec des tuffs intermédiaires, des métasédiments et des intrusions concordantes de composition mafique (gabbro) à ultramafique (pyroxénite). Cette séquence volcano-sédimentaire repose sur des gneiss plus anciens.

Cet assemblage volcano-sédimentaire est fortement plissé et se retrouve sous forme de synclinal déversé se moulant autour de masses intrusives granitiques. Dans la partie ouest de la ceinture, l'axe du synclinal a un pendage de 40–50° vers le nord, au centre de 40–50° vers le NE tandis que la branche NE a un pendage à 60–70° vers le sud-est.

Des horizons sulfurés sont présents sur la majorité de l'étendue de la ceinture et sont associés majoritairement à des structures concordantes principalement développées aux contacts des diverses unités ou à l'intérieur des unités de laves ultramafiques à felsiques.

Le gisement aurifère exploité par MSV à moins de 15 kilomètres au sud-est de la propriété, est inclus dans la branche sud-ouest de la ceinture volcano-sédimentaire formant un synclinal autour d'une masse granitique.



LEGENDE

ROCHES DE LA BYRES

- Ensemble de Rene
- Metavolcanites ultramafiques
- Metavolcanites mafiques
- Metavolcanites felsiques
- ENSEMBLE DE BOHIER**
- Metaconglomerat polymictic
- Metapelites
- Paragneiss a biotite migmatisee

ROCHES INTRUSIVES

- Granitoides du lac Cadieux
- Granitoide du lac Barou
- Granitoide de la riviere Miasaque
- Complexe tonalitique central
- COMPLEXE GNEISSIQUE DE BASE**
- Gneiss leucocrate a mesocrate
- ROCHES PROTEROZOIQUES**
- Intrusion de la Crete de Coq

GeoNova Explorations

Eastmain Project

REGIONAL GEOLOGICAL MAP

Projet Eastmain

CARTE DE GEOLOGIE REGIONALE



1:250 000

Ce gisement contient des réserves de 825,000 tonnes avec des teneurs de 12 g/t Au et .26% Cu et 16 g/t Ag. Le gisement se présente sous forme de lentilles de sulfures semi-massives, variant de 3-10m d'épaisseur, associées à des cherts dans une séquence de tuff rhyolitique, de tuff mafique et de pyroxénite dans une unité de laves mafiques à grenat.

Le gisement a été décrit comme étant d'origine hydrothermale avec les fluides ayant circulés dans des zones de cisaillement concordantes avec la schistosité développée lors de périodes de déformations antérieures. Une partie de l'or est remobilisée dans des zones de cisaillement et failles NE.

Trois zones minéralisées ont été définies jusqu'à ce jour, les zones A, B et C qui coïncident avec des conducteurs électromagnétiques (MaxMin).

5.0 TRAVAUX ANTERIEURS

Entre 1930 et 1940, débute les travaux de prospection sur les zones Gossan dans les roches felsiques et ultramafiques au sud du lac Dolent, et à l'est du lac Jim.

Entre 1950 et 1960, diverses compagnies investiguent l'indice du lac Ieran avec l'aide de tranchées et de sondages.

Au milieu des années 60, Fort Georges effectua des sondages X-Ray sur la zone Gossan associée à l'horizon de komatiite à l'extrémité sud-ouest du bloc Dejour. De larges zones minéralisées contenant des sulfures (pyrite-pyrrhotine-chalcoppyrite) ont été recoupées (GM-18494, 19033, 19035 et 19564).

En 1969, Canex-Placer effectue un levé Mag-EM aéroporté sur la ceinture volcano-sédimentaire. En 1970, des sondages mènent à la découverte de la zone A avec une intersection de 13.71 g/t Au, 20.22 g/t Ag, .33% Cu/1.5 mètre (GM-26898 et GM-26899).

En 1974, Nordore effectue un levé aéroporté et des levés Mag et EM au sol, sur la propriété (MSV). Des sondages sur la zone B retournent de faibles valeurs aurifères sur une épaisseur de 6 mètres (GM-30731, 32030 et 32949).

En 1974, le duo Inco/Uranertz exécute un levé aéroporté sur la ceinture volcano-sédimentaire, et effectue des tranchées et des sondages X-Ray sur les meilleures cibles dans le coin du lac Lepante et au SSE du lac Clément, à l'ouest du gisement MSV. Aucun résultat n'a été publié.

En 1981-82, Placer jalonne la zone A et effectue des levés géophysiques au sol permettant de délimiter les zones A, B et C. La campagne de sondages de 1982 a permis de recouper la zone B à une profondeur de 100 mètres et d'attribuer à la zone une plongée vers le nord-ouest. Le sondage 82-1 retourna une intersection de 8.34 g/t Au, 10.16 g/t Ag, .21% Cu/3 mètres. Les réserves des zones A et B ont été estimées à 750,000 tonnes. Ils jalonnèrent 1000 claims autour de l'intrusif. Des levés Mag-EM, la cartographie et l'échantillonnage systématique ont été exécutés sur 7 grilles de lignes (A, B, C, D, E, F, G) établies au sud du gisement.

En 1983–1984, Eldor/Placer effectue un levé aéroporté, des levés géophysiques au sol, la prospection, la cartographie et l'échantillonnage de la propriété. Aucun horizon ultramafique n'a été recoupé et des faibles valeurs aurifères ont été obtenues.

En 1984, South Atlantic Venture et Eurocan Venture ont effectué des levés Mag et EM dans l'entourage du lac Clément et du lac René.

En 1987, Placer fonce une rampe d'exploration sur la zone B qui retourna une valeur de .57 oz/t Au et .65 oz/t Ag sur une largeur moyenne de 7 pieds et sur une longueur de 344.5 pieds le long de la zone minéralisée. Sept (7) grilles de lignes ont été établies sur des anomalies aéroportées décelées sur le bloc nord à environ 13 km au nord du gisement. Des sondages effectués sur 4 de ces grilles ont recoupé des zones minéralisées en pyrite–pyrrhotine à faibles teneurs aurifères.

En 1988, Watt Mining Ltd jalonne les claims à l'est du lac Clément et Corona jalonne 500 claims au sud et SE du gisement MSV, et effectue un levé de reconnaissance supporté par hélicoptère. 400 claims additionnels sont jalonnés plus à l'est.

En 1988, MSV–Placer effectue une campagne de sondages sur la zone B et débute une étude de faisabilité. L'entente MSV–Placer Dome–Northgate est signée.

En 1988, Eastmain Syndicate (Dejour Mines, Battle Mountain Canada et Mingold Resources) jalonne deux (2) blocs de claims, le bloc Est, adjacent au bloc de Placer, et le bloc Ouest, situé à 15 km plus à l'ouest et représentant actuellement le bloc Dejour. La cartographie de reconnaissance, l'échantillonnage et des levés VLF sont effectuées

principalement sur 12 petites grilles de lignes dont 9 sur le bloc Ouest et 3 sur le bloc Est. Un total de 478 échantillons furent analysés pour l'or et 24 éléments ICP. Une étude statistique par MDC Associates, en décembre 1988, a permis d'établir le seuil anomalique pour l'or à 86 ppb. Un total de 22 échantillons contiennent ≥ 86 ppb Au dont 17 proviennent du bloc Ouest et 5 du bloc Est. Ces échantillons correspondent à des tufs rhyolitiques (5), pyroxénite (5), zone Gossan (5), veines de quartz (5), sulfures massifs (1) et zones de cisaillements (1). Des valeurs anormales en cuivre et zinc ont aussi été révélées à divers endroits sur les 2 blocs de claims. En septembre 1988, 65 claims sont jalonnés au nord-est du bloc ouest.

En 1989, Eastmain Syndicate continue la campagne d'exploration sur la propriété. Aerodat effectue un levé Mag-EM-VLF aéroporté sur la partie est du bloc Ouest. En mars, 27 claims additionnels sont jalonnés pour joindre les 2 blocs de claims. Un levé de till de base couvrant toute la propriété a permis de localiser quelques zones anormales en Au-As. La cartographie, le creusage de tranchées et l'échantillonnage des zones anormales révélées lors des travaux précédents permet de mettre à jour un indice aurifère intéressant dans le bloc ouest, l'indice Exko. Une valeur de 3550 ppb Au a été obtenue et est associée à une veine de Quartz-Po-Py dans un schiste à actinote au contact entre les volcaniques mafiques et ultramafiques. Trois traverses géologiques à travers la ceinture volcanique ont été effectuées, dont deux dans le bloc Ouest, et l'autre dans le bloc Est. Une analyse statistique des résultats d'analyses des 472 échantillons prélevés en 1989 ainsi que les 478 échantillons prélevés en 1988, est exécutée par MDC Geological Consultats Ltd. Cette étude statistique a permis de déterminer un premier seuil anomalique pour l'or à 103 ppb avec une deuxième population dont le seuil est à

640 ppb. Cette investigation a aussi permis d'associer les meilleures valeurs aurifères avec la présence d'actinote dans la roche, de veines de quartz, de chert et de 10–20% de sulfures.

En 1989, Kingswood Resources inc. jalonnèrent les claims Eastmain et en 1990 les claims Main et Colline Noire furent jalonnés. Un programme d'exploration supporté par hélicoptère a consisté en prospection et cartographie géologique, échantillonnage et tranchées, échantillonnage du till de base et 12 sondages, 90-EM-01 à 90-EM-04 sur le bloc Main et 90-EM-05 à 90-EM-12 sur le bloc Colline Noire. L'échantillonnage de sol exécuté sur une grille établie dans la partie sud-est du bloc Colline Noire a révélé deux valeurs aurifères anormales.

Les travaux de reconnaissance à l'est du bloc Colline Noire ont amené la découverte de deux blocs erratiques minéralisés ayant retourné des valeurs aurifères. Une valeur de 0.15 oz/t Au a été obtenue dans un bloc de roche ultramafique à actinote avec arsénopyrite et pyrite et une valeur de 0.46 oz/t Au a été obtenue dans un bloc de schiste à séricite, silicifié avec minéralisation en arsénopyrite-pyrite. Un groupe de 60 claims a été jalonné pour couvrir la source probable de ces blocs erratiques en octobre 1990. En 1992, des levés Mag-HEM-PP et 12 sondages (92-EM-01 à 92-EM-12) ont été exécutés sur ce bloc. Les résultats ont été assez encourageants pour justifier le jalonnement de 319 claims additionnels en juin 1992, ce qui constitue actuellement le bloc Lac Harbour, en option avec Soquem.

En 1992, un levé Mag-VLF, HEM et PP a été exécuté sur le bloc B, ce bloc de 34 claims au nord du bloc Main, dans le but de localiser la source d'un bloc erratique ayant retourné des valeurs aurifères. Une série de conducteurs PP (IP-1 à IP-4) avec coincidence magnétique électromagnétique s'étendent dans une direction N15E dans la partie ouest du bloc tandis qu'une deuxième série de conducteurs PP (IP-5 à IP-10) de même orientation se retrouvent dans la partie est du bloc.

6.0 TRAVAUX RECENTS (1994)

6.1 Réinterprétation du levé aéroporté

En février 1994, à la demande de Canso Exploration Ltd., (maintenant GéoNova) deux levés géophysiques aéroportés adjacents exécutés par Aerodat en 1989 et 1990 dans la région de la rivière Eastmain ont été réinterprétés par Géonex Aerodat inc. Les résultats du premier levé, couvrant approximativement les 4/5 est du bloc Dejour avec 600 km de lignes NO-SE sont décrits dans le rapport daté du 25 avril 1989. Les résultats du second levé qui couvrait le bloc Main et l'extrémité est du bloc Dejour avec 525 km de lignes est-ouest sont décrits dans le rapport daté du 15 juin 1990.

Le but de cette compilation était de fusionner et d'homogénéiser les résultats des 2 levés, de rehausser l'information produite par les données magnétiques et électromagnétiques, de présenter les résultats sur une série de cartes noir et blanc et couleur et de réinterpréter les résultats.

L'interprétation des données de ces deux levés a été faite en tenant compte de la stratigraphie et des structures (failles, zones de cisaillement, plis et zones de dilatation) qui recourent la ceinture volcano-sédimentaire hôte de la minéralisation.

Les diverses cartes produites lors de cette compilation incluent les axes des conducteurs EM, les axes des conducteurs VLF non coincidents avec les anomalies EM ou qui ne sont pas indiquées par une faille recoupante, les hauts magnétiques, les failles possibles, indiquées par un "M" lorsqu'elles proviennent des cartes magnétiques et "V" lorsqu'elles sont issues des données VLF, et les cibles ou aires de cibles qui sont indiquées par des boîtes numérotées.

Les axes des principaux conducteurs sont disloqués plus d'une quarantaine de fois sur l'étendue du levé (≈ 30 km). Chacune de ces cassures représente soit un pli ou une faille ou zone de cisaillement pouvant être le site de minéralisations aurifères.

L'indice Exko est situé au centre d'une anomalie magnétique linéaire s'étendant sur environ 400m. Une structure recoupante orientée NS à N15E est mise en évidence sur l'image (shadow). Cet indice coïncide avec un long conducteur VLF dont l'axe est disloqué à 450m au sud-ouest et 710m au nord-est de l'indice. Il coïncide aussi avec un axe EM qui est au plus fort dans l'entourage de l'indice, disparaît à 200m au sud-ouest et est disloqué à 700m au nord-est.

Les sept (7) aires les plus prometteuses ont été sélectionnées et retenues comme cibles d'exploration (Figure 4a, b et c). Elles sont toutes situées près de l'horizon à coïncidence Mag-EM dans la partie ouest de la zone levée. Chacune de ces cibles,

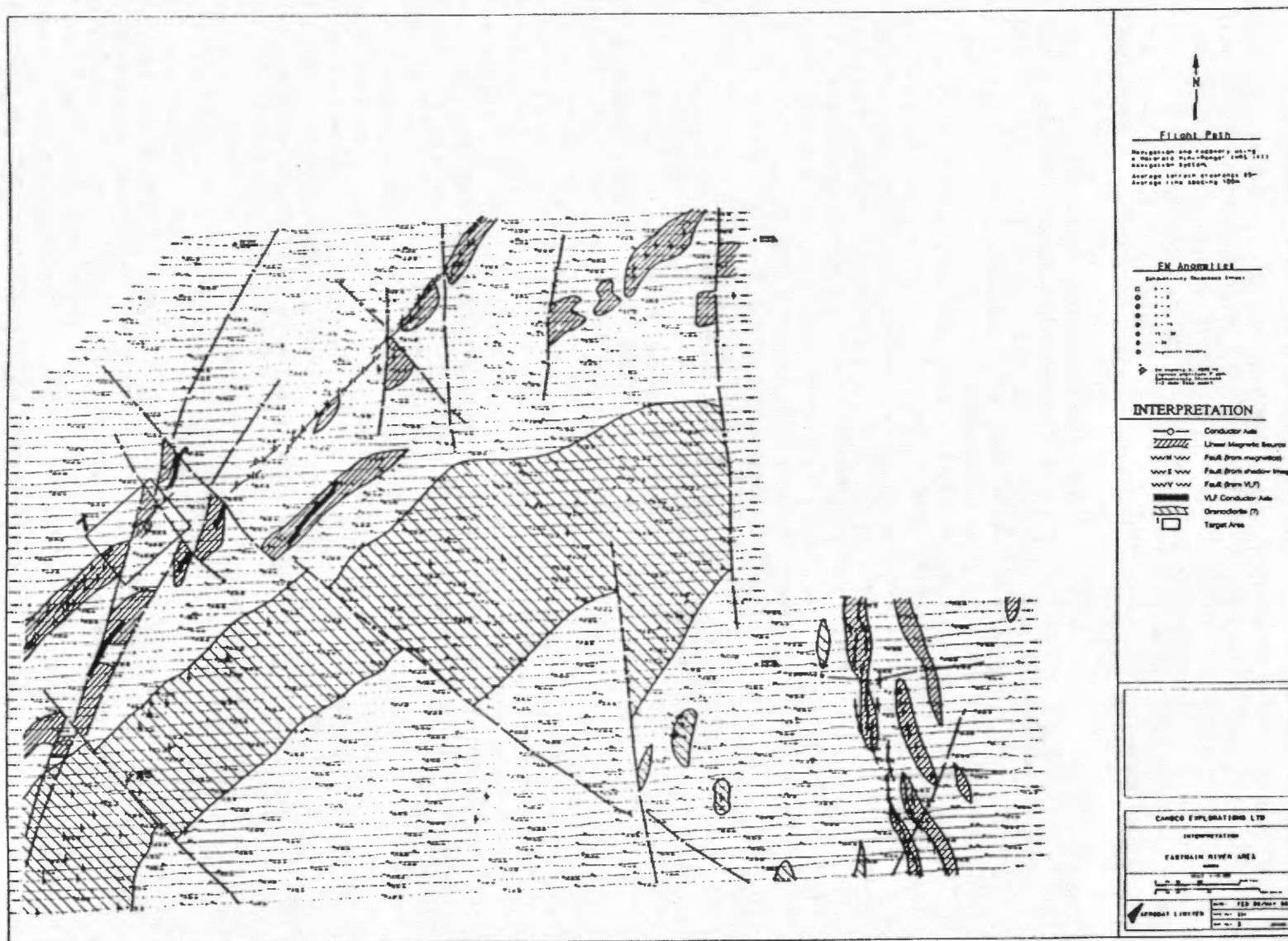


Figure 4c: Interprétation du levé aéroporté (Bloc Main)

numérotées de 1 à 7, d'ouest en est, montre des évidences de failles recoupantes ou d'une combinaison pli-faille. Les principales caractéristiques de chacune des cibles sont:

- Cible 1: 2 anomalies magnétiques séparées par une faille NE et extension de l'anomalie du Nord dans le granite (chevauchement).
- Cible 2: Intersection de 2 systèmes de failles (NE et NS) dont l'une se dirige vers l'indice Exko.
- Cible 3: Anomalie magnétique située à 250m au SE du conducteur principal et recoupée par failles NE.
- Cible 4: Faille NE recoupant le conducteur principal.
- Cible 5: Faille NE et distortion du conducteur principal.
- Cible 6: Pli-faille dans la zone conductrice pouvant produire de larges zones de dilatation.
- Cible 7: Zone conductrice et anomalie magnétique sectionnées le long de failles NE et NO.

Les cibles 1, 5, 6 et 7 sont considérées comme les plus intéressantes par leur situation et le type de structures pouvant être présentes.

6.2 Interprétation des linéaments

En mars 1994, une étude des linéaments dans la région d'Eastmain et englobant la propriété, a été effectuée par MIR Télédétection. Cette étude avait pour but de relever tous les linéaments d'intérêt géologique, par analyse et intégration des données Landsat TM et aéromagnétiques.

Le territoire couvert est délimité par les latitudes 52°10' à 52°45'N et par les longitudes 71°20' à 72°50'W, et fait partie des feuillets SNRC 33A et 23D.

Une scène Landsat TM, acquise le 21 septembre 1987 et les données numériques

du champ magnétique total et du gradient magnétique vertical ont été analysées et géocodées afin de les ramener dans une base de données–images commune.

Le territoire est caractérisé par un relief généralement faible et les marécages sont nombreux. La configuration du réseau de drainage est du type dérangé à parallèle reflétant des fractures d'extension régionale dont l'orientation dominant NNE reflète le système d'érosion glaciaire le plus récent.

L'image Landsat fournit un portrait complet de l'occupation du sol et du type de végétation. Les zones affleurantes à couverture de lichen y sont bien visibles.

L'analyse des linéaments a été réalisée sur l'ensemble des images rehaussées et produites à l'échelle 1:100,000 (Figure 5a, b, c). Cette analyse a consisté à extraire les linéaments, à les numériser et à produire les rosaces de direction.

L'image Landsat a permis de discriminer 4 systèmes de linéaments: ENE (N65E), ONO (115°), NNO (155°) et NS (175°).

Le système ENE est dominant tant par son expression que par sa densité. Il est subparallèle aux lithologies. Un système NE, observable sur les cartes de détail, semble déplacé par le système ENE.

Les systèmes ONO et NNO sont relativement denses et caractérisés par de courts et de longs linéaments. Ils recoupent les systèmes ENE et NE, et sont associés à des systèmes de joints et des structures cassantes tardives.

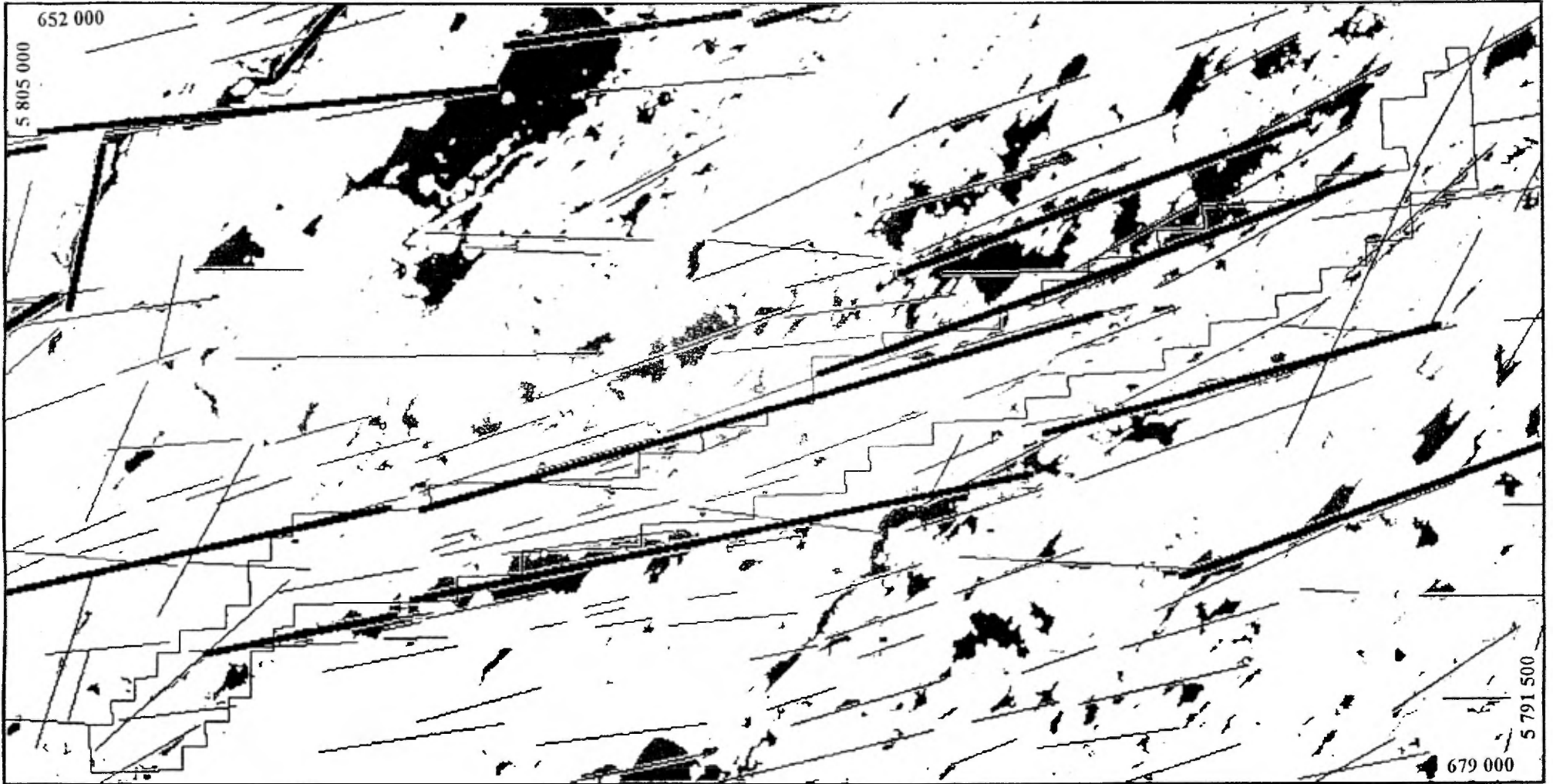


Figure 5a: - Linéaments NE et EW. Linéaments ENE majeurs superposés en trait gras.
Limite de la propriété Dejour superposée.
Échelle 1:100 000

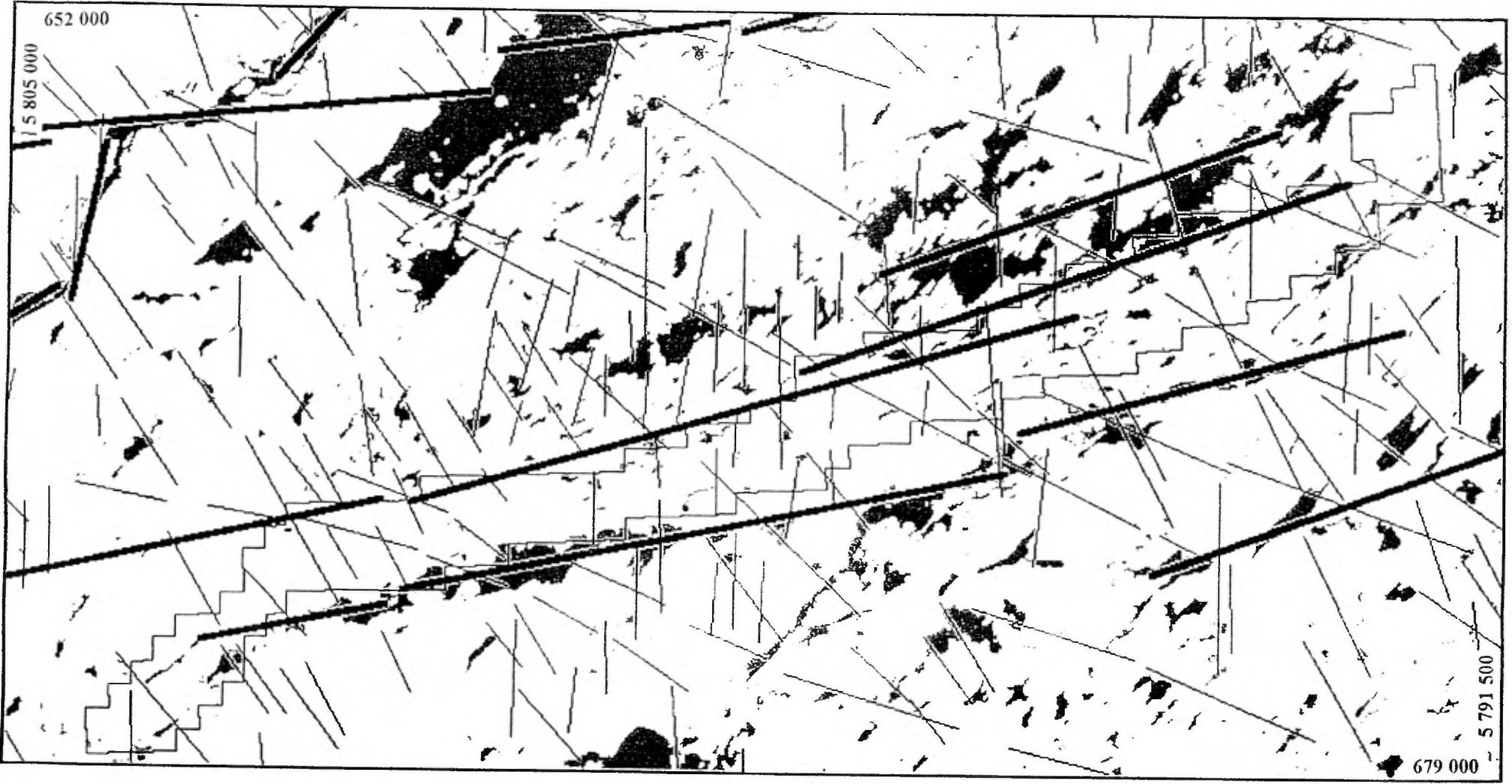


Figure 5b: - Linéaments NW et NS. Linéaments ENE majeurs superposés en trait gras.
Limite de la propriété Dejour superposée.
Échelle 1:100 000

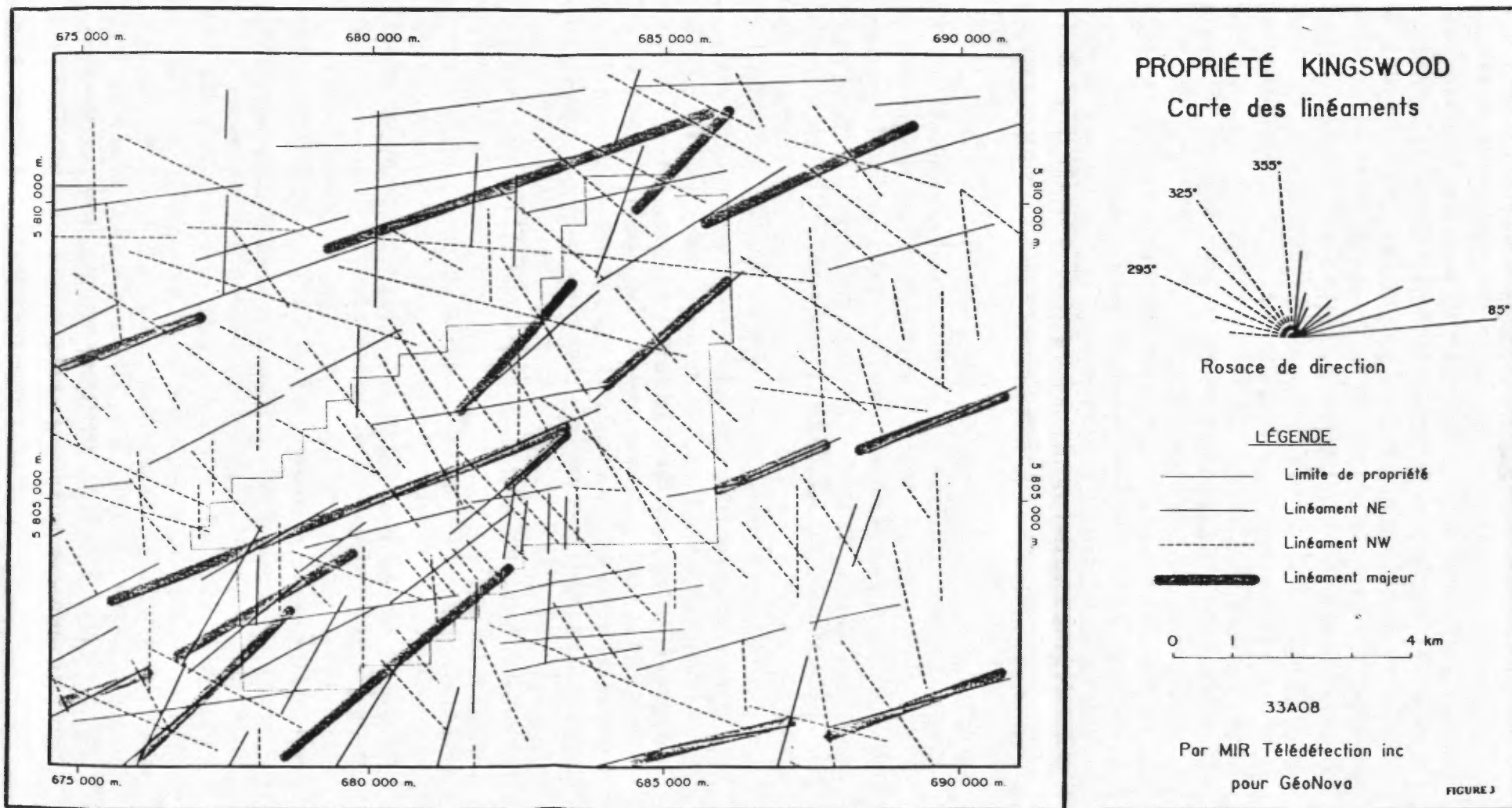


Figure 5c: Linéaments majeurs interprétés sur le bloc MAIN

6.3 Compilation des données existantes

Entre avril et juin 1994, une compilation de toutes les données recueillies antérieurement sur les blocs Dejour, Main et Colline Noire, a été effectuée par GéoNova Explorations inc. Toutes les informations géologiques, géophysiques et géochimiques ont été compilées, digitalisées et réinterprétées dans le but de déterminer des secteurs d'intérêts et de guider le programme d'exploration de l'été 1994.

Les résultats de cette compilation ont été produits sur des cartes à l'échelle 1:50,000 afin de donner une vision globale de la ceinture volcano-sédimentaire et des minéralisations présentes, et à l'échelle 1:10,000 de façon à cerner plus en détail les secteurs d'intérêts. Cette compilation a permis de faire ressortir les points suivants:

1. La réinterprétation des levés aéroportés a permis de mettre en évidence de nombreuses structures recoupantes, d'orientation NW et NE dans le bloc Main et dans le bloc Dejour, particulièrement dans l'entourage de l'indice Exko.
2. De nombreuses valeurs anormales en Cu, Zn, Cr, Co, As, Ag et Au ont été obtenues le long de la ceinture.
3. Les meilleures valeurs aurifères, atteignant 3550 ppb Au, ont été obtenues dans l'entourage de l'indice Exko mais de nombreuses valeurs anormales (100-1000 ppb Au) ont été obtenues en divers endroits: 980 ppb Au associé à l'indice Qtz-Porphry, 100-700 ppb Au associé à l'indice du lac Jim, et 100-300 ppb Au associé à l'indice du lac GL. De plus, des valeurs anormales en Au ont été obtenues lors du levé géochimique de till dans le

secteur sud-est du bloc Colline Noire et met en évidence la possibilité de retrouver au nord-est des minéralisations aurifères associées à des structures recoupant les unités.

6.4 Coupe de lignes

Entre juillet et septembre 1994, quatre (4) grilles de lignes ont été établies par Valminex sur la propriété Eastmain de façon à couvrir les zones d'intérêt révélées lors de la compilation.

Un total de 183 km de lignes, incluant les lignes de base et les lignes de rattachement ont été coupées et chaînées aux 25m dont 74.1 km sur le bloc Dejour, 49.8 km sur le bloc Main et 59.1 km sur le bloc Colline Noire.

6.4.1 Bloc Dejour

Une ligne de base orientée N68E et totalisant 15.7 km a été initiée au NE de l'indice Exko (0+00N/0+00E) et fut coupée vers le sud-ouest jusqu'à la station 56+00W et vers le nord-est jusqu'à la station 96+20E. Une grille de lignes à 158° a par la suite été établie de façon à couvrir l'indice Exko et la partie de la ceinture volcanique entre les conglomérats au sud, et le granite au nord. Vingt-sept (27) lignes totalisant 36.8 km ont été coupées avec un espacement de 100 mètres et chaînées et piquetées aux 25 mètres. Une ligne de rattachement 5+00S totalisant 1.9 km a été coupée entre les lignes 2W et 17E.

Une grille de lignes à 158° a aussi été établie dans la partie NE du bloc Dejour. Seize (16) lignes totalisant 19.5 km ont été coupées avec un espacement de 200 mètres entre les stations 66E et 96E et ont été chaînées et piquetées aux 25 mètres.

6.4.2 Bloc Main

Une ligne de base orientée N55E et totalisant 12.4 km a été établie entre les stations 67+60W à l'extrémité sud-ouest du bloc, et la station 56+25E sur le bord de la rivière Eastmain, en passant au sud des lacs Sandwich et GL. Cette ligne de base est rattachée à la grille NE de Dejour sur la ligne 96E, station 6+17N. Trente et une (31) lignes orientées à 145° et totalisant 37.3 km ont été coupées à travers la ceinture volcanique, avec un espacement de 200 mètres, entre les stations 38W et 22E et chaînées et piquetées aux 25 mètres.

6.4.3 Bloc Colline Noire

Une ligne de base orientée N45E et totalisant 5.1 km a été établie à 0+25E entre les stations 8S et 14N, à 0+50E entre les stations 14N et 26N, à 3+00W entre les stations 26N et 34N et à 5+00W entre les stations 34N et 42N. Cette ligne de base suit la zone conductrice du sud-est du bloc de claims. Vingt-six (26) lignes à 135° et totalisant 48.9 km ont été coupées avec un espacement de 200 mètres entre les stations 8S et 42N. Ces lignes ont été coupées vers le sud jusqu'à la série de lacs qui bordent la partie sud-est du bloc de claims et dépassent le contact avec le granite au nord. Une ligne de rattachement totalisant 5.1 km a été coupée à la hauteur de la station 12W et entre les lignes 8S et 42N.

6.5 Levés géophysiques

Entre le 27 juillet et le 6 septembre 1994, des levés géophysiques (Mag, MaxMin et PP) ont été exécutés par Géosig inc. sur la propriété Eastmain. L'appareillage utilisé, la méthode de travail et les résultats obtenus sont décrits en détail dans le rapport fourni par Géosig inc. et daté du 25 novembre 1994. Les axes des conducteurs EM et axes magnétiques sont incorporés aux cartes de compilation, en pochette, et le résumé des principaux résultats s'établit comme suit.

6.5.1 Levé magnétométrique

Le levé magnétométrique a couvert un total de 166.3 km de lignes incluant 24 km de lignes de base et de rattachement. Un OMNI-IV et une station de base du même type ont été utilisés pour ce levé avec une fréquence d'enregistrement aux 20 secondes. Les variations diurnes et les dérives des instruments ont été corrigées à partir des mesures de la station de base avec une valeur de base de 50,000 gammas. La précision des résultats est évaluée à 20 gammas. Les mesures du champ magnétique total ont été enregistrées à un intervalle de 12.5 mètres le long des lignes et de 25 mètres le long des lignes de base et de rattachement.

Les données ont été traitées et mises en plan en utilisant un ordinateur de type IBM 386 et les logiciels de traitement Geosoft et Micro Station. Les résultats ont été présentés à l'échelle 1:10,000 avec des cartes de profil et de contour.

Sur la grille Exko, trois axes magnétiques (MG-1, 2 et 3) traversent la grille dans une direction ENE. L'axe MG-1 correspond à la zone riche en pyrrhotine au contact entre les basaltes et les komatiites de l'unité volcanique sud et qui contient

l'indice Exko. Cet axe coïncide avec une anomalie MaxMin et est tronqué à l'est du lac Exko. L'axe MG-2 s'étend au centre de la grille dans une direction ENE et correspond probablement à une concentration de magnétite dans l'unité de basalte. L'axe MG-3 s'étend dans une direction ENE à l'extrémité nord de la grille et coïncide avec une anomalie MaxMin. Il est causé par une concentration de pyrrhotine et de magnétite associée aux volcanites fracturées près du contact avec les granites.

Huit (8) axes magnétiques (MG-4 à MG-11) d'orientation ENE et EO ont été décelés sur la grille NE. Les axes MG-4 et MG-5 correspondent à des unités de komatiite au sud-est de la grille. Les axes MG-6, 7 et 8 sont discontinus, sans coïncidence EM, et correspondent probablement à des concentrations de magnétite dans l'unité basaltique. Les axes MG-9 et 10, avec coïncidence EM, correspondent à l'unité riche en pyrrhotine-pyrite près du contact avec le granite. L'axe MG-11, avec coïncidence EM, s'étend dans une direction est-ouest à l'extrémité nord-est de la grille. Il correspond probablement à l'unité riche en sulfures, mais plissé et déplacé par faille. Le sectionnement de ces axes magnétiques en plusieurs endroits met en évidence la présence des failles recoupantes.

Sur la grille du bloc Main, sept (7) axes magnétiques (MG-22 à MG-28) ont été tracés lors de ce levé et correspondent probablement à des concentrations de magnétite et/ou pyrrhotine dans les unités volcaniques. Ces axes sont orientés au NE sauf pour l'axe MG-26 qui, orienté est-ouest, recoupe les lithologies et représente probablement une faille minéralisée en pyrrhotine.

Sur la grille de Colline Noire, dix (10) axes magnétiques (MG-12 à MG-21) d'aspect rubané, coïncident avec les 2 zones minéralisées d'orientation NE qui bordent l'unité volcanique. Le changement de direction à l'extrémité nord (MG-19, 20 et 21) met en évidence la dislocation par faille est-ouest des unités et zones minéralisées.

6.5.2 Levé électromagnétique

Le levé électromagnétique (MaxMin) a couvert 103.0 km de lignes sur les grilles Exko (36.3 km) et NE (19 km) du bloc Dejour et sur la grille Colline Noire (48.5 km).

Un instrument de type MaxMin I fabriqué par Apex Parametrics fut utilisé avec un câble d'une longueur de 75 mètres. Les lectures des composantes en phase et en quadrature du champ secondaire ont été enregistrées pour les fréquences 440 Hz, 1760 Hz, 7000 Hz et 28000 Hz. Les lectures ont été prises à tous les 25 mètres. Les résultats ont été présentés sur cartes de profils à l'échelle 1:10,000.

Ce levé a permis de déceler dix-neuf (19) conducteurs dont plusieurs montrent une association magnétique marquée par la présence de pyrrhotine.

Sur la grille Exko du bloc Dejour cinq (5) conducteurs (MM-1 à MM-5) ont été décelés. Les conducteurs MM-1, 2 et 3 sont situés sur la bande minéralisée au sud, près du contact avec les conglomérats. Le conducteur MM-2 traverse la grille sur plus de 2.7 km et coïncide avec l'axe magnétique MG-1. Il suit le fond de la vallée et correspond à une unité graphitique silicifiée partiellement traversée avec les sondages GE-94-1 et 3. Le conducteur MM-1 s'étend sur une distance d'environ 100 mètres

(L1W à L2W), au sud de MM-2. Le conducteur MM-3 s'étend sur une distance d'environ 150 mètres (L0-L2W), juste au nord du conducteur MM-2, et coïncide avec l'indice Exko qui fut investigué par échantillonnage de surface et à faible profondeur avec le sondage GE-94-1. Le conducteur MM-5 traverse la partie nord de la grille sur plus de 2.4 km et représente l'anomalie la plus intéressante avec une conductivité atteignant 810 mhos sur la ligne 20+00E. Le conducteur MM-4 se présente de façon discontinue au sud de l'anomalie MM-5.

Sur la grille NE du bloc Dejour, six (6) conducteurs (MM-6 à MM-11) ont été décelés dans la partie nord de la grille. L'anomalie MM-6 s'étend sur une distance d'environ 600 mètres avec une conductivité atteignant 4.2 mhos. L'anomalie MM-7 s'étend sur plus de 800 mètres et coïncide avec l'axe magnétique MG-10; l'indice du lac Jim coïncide avec cette anomalie et a été investiguée avec le sondage GE-94-4 qui recoupa une zone de pyrite semi-massive à massive sur 4.61 mètres qui retourna des valeurs anormales en argent. L'extrémité NE du conducteur MM-8 qui est situé immédiatement au nord du conducteur MM-7 a été touché sur la ligne 66E. Le conducteur MM-9 a été touché sur la ligne 80E et s'étend dans une direction NE sous le lac au nord-est du lac Jim. Le conducteur MM-10 s'étend sur moins de 100 mètres au sommet de la montagne et coïncide avec une zone de fractures minéralisées en pyrite-pyrrhotine. Le conducteur MM-11 s'étend sur une distance d'au moins 300 mètres dans une direction est-ouest et coïncide avec l'anomalie magnétique MG-11. Il correspond probablement à une zone de faille minéralisée.

Sur le bloc Colline Noire, un total de huit (8) conducteurs (MM-12 à

MM-19) ont été identifiés. Les conducteurs MM-12, 13 et 14 qui coïncident avec les anomalies magnétiques MG-12, 13 et 14 ont été suivis sur plus de 4 km et sur des largeurs atteignant 37 mètres; la conductivité atteint 2642 mhos à la ligne 16+00N. Ils correspondent aux bandes minéralisées du sud-est du bloc et qui ont été forées en 1990 (90-EM-5 à 90-EM-12). Le conducteur MM-15 est plus faible, discontinu et situé au centre des 2 zones conductrices principales. Il est plus ou moins coïncident avec l'anomalie magnétique MG-17 et serait causé par une série de petites veinules subparallèles. Le conducteur MM-17 s'étend sur plus de 4 km et coïncide avec les anomalies magnétiques MG-18 et MG-19. La conductivité atteint 1510 mhos sur la ligne 30N. Le conducteur MM-16 est plus court et situé au sud du conducteur MM-17, à la ligne 16N, avec une conductivité de 23,6 mhos. Le conducteur MM-18, de direction approximative est-ouest, a été tracé entre les lignes 28N et 38N, et met en évidence une faille est-ouest avec déplacement senestre de près de 500 mètres dans ce secteur. Ce conducteur coïncide avec l'anomalie magnétique MG-21 et sa conductivité atteint 19.4 mhos. Le conducteur MM-19 a été tracé de façon intermittente à l'extrémité sud-est du bloc et sur une distance d'au moins 2.0 km où il disparaît sous un lac. Ce conducteur n'a aucune coïncidence magnétique.

6.5.3 Levé de polarisation provoquée

Le levé de polarisation provoquée a couvert 37 km de lignes sur le bloc Main, et a été effectué dans le domaine du temps (2 sec.) en utilisant une configuration dipôle-dipôle aux séparations $n=1$ à 4, avec un espacement de $a=25$ mètres et un temps d'intégration compris entre 160m sec et 1600m sec. La chargeabilité a été lue sur 10 fenêtres ayant chacune 160m sec. d'intervalle. Des tiges d'acier a ressort de 1.5 mètre

ont été utilisées comme électrodes de courant (C1 et C2) et des pots remplis d'une solution saturée de sulfate de cuivre ont servi comme électrodes à potentiel.

Les résultats sont présentés sur des cartes contours couleurs à l'échelle 1:10,000 et sous forme de pseudo-sections pour chaque ligne à l'échelle 1:2500. Vingt-quatre anomalies (PP-1 à PP-24) ont été localisées lors de ce levé.

- Les anomalies PP-1, 2, 3 et 4 ont des extensions limitées et sont situées dans la partie sud de la grille; leur intensité est faible et elles correspondent probablement à de minces horizons contenant des sulfures.
- Les anomalies PP-5 et PP-6 sont faibles et d'extension limitée.
- L'anomalie PP-7 est présente sur plus de 1.2 km, entre les lignes 26W et 14W, et atteint son maximum d'intensité sur la ligne 22W où il est probable qu'une bande contenant jusqu'à 20% de sulfures soit présente sur une épaisseur d'environ 25 mètres.
- L'anomalie PP-8 représente probablement l'extension NE du conducteur PP-7.
- L'anomalie PP-9 et l'anomalie PP-10, qui est située 75 à 125 mètres plus au nord, sont de fortes anomalies qui ont été suivies sur près de 1.0 km. Une tranchée où affleure une zone Gossan a été creusée sur la ligne 28W et une partie de ces conducteurs a été investiguée entre les lignes 24W et 26W, avec les forages 90-EM-01 et 90-EM-02.
- Les anomalies PP-11, 12, 13, 14, 15, 16, 17, 18 et 19 sont de fortes anomalies subparallèles qui s'étendent sur plus de 2.8 km et sur une

largeur variant de 350 mètres sur la ligne 10W à plus de 800 mètres sur la ligne 18E. Ces anomalies dont certaines coïncident avec des axes magnétiques représentent une série de zones minéralisées en sulfures, subparallèles et mises en place dans un système de fractures concordantes.

- L'anomalie PP-20 s'étend sur environ 1.2 km au nord-est du lac Rond et représente probablement une zone contenant des sulfures disséminés sur environ 10 mètres d'épaisseur.
- L'anomalie PP-21 représente probablement l'extension NE de l'anomalie PP-20 mais déplacée d'environ 150 mètres de façon dextre par une faille nord-ouest.
- Les anomalies PP-22, 23 et 24 sont situées plus au sud-est et n'ont été décelées que sur une ligne.

Une structure d'orientation NO est mise en évidence entre les lignes 18W et 8W par la troncature des anomalies PP-10, PP-8, PP-12 et PP-18. Il est possible que l'anomalie PP-12 soit l'extension de l'anomalie PP-10 déplacée d'environ 600 mètres et de façon dextre par une faille NO.

6.6 Prospection au Beep Mat

Entre le 13 juin et le 15 septembre 1994, une campagne de prospection au Beep Mat supportée par hélicoptère a été exécutée par Géosig inc. sur l'ensemble de la propriété Eastmain. Les résultats sont inclus dans le rapport fournit par Géosig et daté du 6 décembre 1994. Une description sommaire des principaux résultats suit.

Un total de 156 échantillons minéralisés provenant du socle rocheux et 135 échantillons provenant de blocs erratiques ont été prélevés lors de cette campagne.

6.6.1 Bloc Colline Noire

Le levé au Beep Mat a permis d'échantillonner onze (11) affleurements minéralisés et quinze (15) blocs erratiques répartis sur l'ensemble du bloc de claims (carte de géologie et échantillonnage, en pochette). Très peu d'attention n'a été accordée à la bande minéralisée qui s'étend au sud-est du bloc car la majorité des travaux précédents, incluant les 8 sondages forés en 1990 (90-EM-5 à 90-EM-12), y ont été concentrés.

Aucune valeur aurifère n'a été obtenue. Sur la zone minéralisée du nord, deux échantillons prélevés sur des affleurements (514453 et 514454) entre les lignes 14N et 16N, ont retourné des valeurs anormales en cuivre-zinc associées à des basaltes altérés et minéralisés. Deux blocs erratiques, le 514449 situé à 1 km au sud-ouest et le 514440 situé à 2.7 km au sud-ouest ont aussi retourné des valeurs anormales en cuivre-zinc. Environ 3.7 km au sud-ouest du bloc de claims et dans le prolongement de la zone minéralisée du sud, trois blocs erratiques (514864, 514865, 514866) contenant des veines de quartz et des zones graphitiques litées avec chert, ont retourné des valeurs anormales en cuivre-zinc et arsenic. Deux échantillons prélevés sur la bande sud, le 514446 ligne 16N et le 514470 à 2.6 km plus au sud ont aussi retourné des valeurs anormales en Cu-Zn-As.

6.6.2 Bloc Main

Le levé au Beep Mat a permis de localiser 25 affleurements minéralisés

conducteurs et 85 blocs erratiques répartis sur l'ensemble du bloc de claims (carte de géologie et d'échantillonnage, en pochette). Les conducteurs minéralisés provenant du socle rocheux n'ont retourné aucune valeur anormale en métaux précieux et de faibles valeurs en métaux de base.

Dans le secteur nord, quatre blocs erratiques (514255, 514256, 514266, 514286) ont retourné des valeurs anormales atteignant 371 ppb Au et 1546 ppm Cu, associées à des veines de quartz minéralisées en Pyrite–Pyrrhotine et recoupant des basaltes.

Dans le secteur ENE, où un bloc erratique avait donné jusqu'à 7724 ppm d'arsenic, trois erratiques (514259, 514273 et 514355) ont retourné des valeurs anormales atteignant 267 ppb Au, jusqu'à 1278 ppm Cu et une valeur de 601 ppm W.

Dans le secteur de l'indice GL, un bloc erratique décelé au sud–est (514288) a retourné 934 ppm Zn, 4.9 ppm Cd et 114 ppm Pb associé à un basalte fracturé, minéralisé. Au nord–ouest de l'indice GL, quatre (4) blocs erratiques (514295, 514300, 514356 et 514357) ont retourné des valeurs anormales de 112–226 ppb Au, et jusqu'à 3.3 ppm Ag, associé à des basaltes et des roches ultramafiques recoupées par des veines de quartz minéralisées.

Dans le secteur entre les lac Sandwich et GL, dix (10) blocs erratiques (514407 à 409, 514413, 514415–16, 514420, 514423, 514437–38) associés à des roches felsiques, mafiques, ultramafiques et des veines de quartz, ont retourné des valeurs anormales atteignant 134 ppb Au, 5.2 ppm Ag, 1117 ppm Cu, 2666 ppm Zn, 23.1 ppm Cd,

152 ppm W, et 95 ppm Pb.

Dans le secteur à l'est du bloc de claims, un bloc erratique (514869) prélevé à 1.5 km à l'est de la propriété retourna une valeur de 2675 ppm Zn, associé à une veine de quartz-pyrite.

Une traverse effectuée sur la colline Brûlé, située à environ 2 km au nord de l'extrémité nord du bloc de claims, a permis d'échantillonner un basalte injecté de veines de quartz (514881) qui a retourné 1555 ppm Zn et 760 ppm Mo. Un schiste à actinote (514870) recoupé environ 1.2 km au nord-est retourna 3372 ppm Cu.

6.6.3 Bloc Dejour NE

Le levé au Beep Mat a permis de localiser 66 affleurements conducteurs et 24 blocs erratiques minéralisés dans la demie NE du bloc Dejour. Les résultats sont présentés sur la carte de géologie et échantillonnage, en pochette.

Une zone conductrice, définie par une bande d'anomalies EM aériennes continues et de forte intensité, longe la bordure nord du bloc de claims. Un seul échantillon (514618) prélevé au sud du lac Jim, a retourné une valeur anormale de 1971 ppm Zn. Un bloc erratique (514613), décelé au sud-ouest a retourné 3308 ppm Cu.

Une zone conductrice coïncidant avec une bande d'anomalies EM aériennes de forte intensité, passe par l'indice Exko et s'étend dans une direction ENE jusqu'à environ 2.5 km au NE de l'indice. Des valeurs aurifères anormales ont été obtenues en affleurement sur une distance d'environ 200 mètres le long de l'axe contenant la zone minéralisée de l'indice Exko. Les meilleures valeurs ont été obtenues à 40m au sud-

ouest de l'indice avec l'échantillon 514451 qui retourna 2897 ppb (1.71 g/t) Au et 2466 ppm As et à 50m au sud-ouest de l'indice où l'échantillon 514431 retourna 1550 ppb (2.06 g/t) Au et 1288 ppm As.

Au nord-est de l'indice Exko, plusieurs petites zones minéralisées mises à jour lors de ce levé ont retourné jusqu'à 152 ppb Au (514643), et des valeurs anormales de 999–2807 ppm Cu, 1531 ppm As et jusqu'à 7.5 ppm As associées à des affleurements et blocs erratiques éparpillés dans ce secteur.

Sur la montagne à l'extrémité NE du bloc de claims, une zone minéralisée coïncidant avec un conducteur EM, avec coïncidence magnétique, a retourné des valeurs anormales de 2691–8749 ppm Cu sur une distance d'environ 700 mètres.

Au nord-ouest de la montagne, des échantillons prélevés sur une zone de fractures minéralisées coïncidant avec un axe magnétique d'orientation NE, ont retourné 1454–4465 ppm Cu. Lors des travaux précédents, un échantillon provenant d'un porphyre quartzo-feldspatique avait titré 984 ppb Au.

6.6.4 Dejour SW

Le levé au Beep Mat a permis de localiser 54 affleurements et 11 blocs erratiques minéralisés conducteurs sur cette partie du bloc de claims Dejour. Les résultats sont présentés sur la carte de géologie et échantillonnage, en pochette.

La zone conductrice du nord a été suivie jusqu'à la limite ouest du bloc de claims et se retrouve au nord de la propriété. Des valeurs anormales de 945–1396 ppm Cu et 991–2673 ppm Zn ont été obtenues le long de la zone minéralisée. Deux

tranchées ont été ouvertes le long de cette bande et ont permis de mettre à jour une large zone de brèche à sulfures. Dans la tranchée la plus à l'est (T-1), une valeur de 80 ppb Au a été obtenue dans une zone silicifiée.

La zone conductrice du sud a été échantillonnée à quelques endroits et des valeurs de 41 ppb Au et 155 ppb Au ont été obtenues à environ 300m d'intervalle au sud-ouest du grid A.

Dans la vallée située au nord-ouest de l'extrémité ouest du lac Lapante, Grid B, trois échantillons prélevés le long d'une zone minéralisée orientée est-ouest et coïncidant avec un conducteur VLF, ont retourné des valeurs anormales de 346 ppb Au, 115 ppb Au et 461 ppb Au. Deux blocs erratiques décelés à plus de 500m au sud et au sud-ouest de cette zone ont retourné 176 ppb Au et 79 ppb Au, 1466 ppm Cu, 3033 ppm Zn.

Dans le secteur extrémité SO du bloc de claims, une zone de faille a été suivie et échantillonnée à quelques endroits et retourna 94 ppb Au et 1115 ppm Cu. Un échantillon prélevé le long de la zone minéralisée conductrice d'orientation NE, à retourné 3301 ppm Zn.

6.7 Levé géologique

6.7.1 Colline Noire

En juillet 1994, un levé géologique et structural a été effectué sur le bloc Colline Noire dans le but de mettre à jour des structures pouvant être le site de minéralisations aurifères. De nombreuses fractures, failles et zones de cisaillement ont été rencontrées

le long des deux zones minéralisées et complètent le portrait géologique et structural du bloc de claims. Ces structures sont soit: concordantes et orientées au NE à NNE, ou recoupant les unités et sont orientées E-O et N-S (Tableau 2).

La zone minéralisée du sud-est a été suivie sur plus de 2 km dans une direction NE et est associée à des horizons felsiques et ultramafiques au contact avec les basaltes au nord et les sédiments au sud. Ces unités lithologiques et zones minéralisées situées le long de failles et zones de cisaillement concordantes, ont un pendage de 50 à 75° vers le sud-est. De nombreuses failles discordantes orientées approximativement est-ouest (080–100°) avec pendage abrupt (70–90°) vers le nord et vers le sud recoupent les unités, surtout entre les lignes 12W et 16W. Les linéations observées indiquent des déplacements obliques à sub-verticaux le long de ces failles qui produisent des décalages horizontaux atteignant 30–40 mètres. Des failles NO (135°) à pendage sub-vertical et ENE (065) à pendage de 45° vers le sud-est ont été notées. Le levé magnétique donne des évidences de failles N-S (360) au nord-est de la ligne 22N.

La zone minéralisée du nord-ouest a été suivie et cartographiée sur 1.8 kilomètre entre la ligne 4N et la ligne 22N, au sommet de la montagne. Elle est généralement associée à une zone de faille NE, à pendage variant de 30 à 50° vers le sud-est, et longeant une mince unité de roches ultramafiques qui est souvent en contact avec un mince horizon felsique. Les failles recoupantes sont nombreuses, orientées E-O (080–100°) avec pendage de 50–90° sud, NNO (140–160°) avec pendages sub-verticaux et NS à NNE (350–020) avec pendages de 70° ouest. La minéralisation comprend principalement de la pyrrhotine et de la pyrite avec des quantités mineures de sphalérite

TABEAU 2

DIRECTION DES FAILLES MAJEURES PAR SECTEURS

| Secteurs | Failles NE | | Failles NO | | Failles EO | | Failles NNE-NS | |
|-----------------|------------|---------|------------|---------|------------|---------|----------------|---------|
| | Direction | Pendage | Direction | Pendage | Direction | Pendage | Direction | Pendage |
| CN-NO | 045 | 30-50SE | 140-160 | 80NE-90 | 080-100 | 50S-90 | 350-020 | 70SO-NO |
| SE | 045-065 | 50-75SE | | | 080-100 | 70SE-SO | 360 | 90 |
| M - GL | 040 | 85SE | 130 | 80NE | -- | -- | 360 | 80E |
| LR | -- | -- | | | 090 | 60-70N | 360 | 60-90W |
| LS | 045 | 75NO | | | | | | |
| Colline Brulée | 020 | 45SE | | | 115 | 75SO | 350 | 50-65NE |
| D(NE) Exko | 045 | 70SE | | | 095-110 | 40-50NE | 340-005 | 90 |
| Exko N | 040 | 85SE | 140 | 90 | 095-100 | 35-56NE | 020 | 85SE |
| GR-E | 060 | 35-60NO | 120 | 82NE | 080 | ? | 340-020 | 90 |
| Line Base | 070 | 45NO | 125-145 | 90 | 100 | 70NE | | |
| Lac Jim | 060 | 40-65NO | | | | | 340 | 75SO |
| GR-NE | 060 | 68NO | 120 | 70-90NE | 090 | 65-70N | | |
| GR-D | 065 | 45-60NO | 125-145 | 50-70NE | 100 | 50NE | 010 | 90 |
| PLL | 040-060 | 50-60SE | 120 | 90 | | | | |
| D(SO) Brèche-T1 | 060 | | | | | | | |
| Brèche-T2 | 070 | 76SE | | | 095 | 82SO | | |
| GR-A | 065 | 70NO | 120 | 50NE | 080-100 | 50-75N | 350-020 | 90 |
| GR-B | 045 | 60-70NO | 145 | 90 | 080 | 35-40NO | | |
| EXT-SO | 045-060 | 50-70NO | | | 075-100 | 45-60N | 340 | 60NE |
| | | | | | | | 025 | 80NO |

et de chalcopyrite. Les meilleures valeurs obtenues lors de la cartographie et de la prospection au Beep Mat sont résumées au Tableau 3. Des valeurs anormales en cuivre-zinc sont regroupées sur le segment nord, entre les lignes 4N et 20N où, jusqu'à 2467 ppm Cu, 6231 ppm Zn et 55 ppb Au ont été obtenues. Le segment minéralisé de ce secteur montre des évidences de pli avec plan axial N-S.

Plus loin au nord-est, entre les lignes 22N et 34N, les affleurements sont rares mais les résultats du levé magnétique indiquent que la zone minéralisée prend une direction NNE et semble plissée et sectionnée par de nombreuses failles.

Une zone magnétique pouvant être associée à un horizon ultramafique, s'étend au sud-est de la zone minéralisée du nord, en passant par le sommet de la montagne. La carte de contours magnétiques montre des évidences de pli-faille au NE de la ligne 24N.

Une zone de faille de direction est-ouest est mise en évidence sur les cartes des levés magnétiques et EM, dans la partie nord du bloc de claims (Figure 6). Le long conducteur EM (MM-17), qui coïncide avec la zone minéralisée du segment nord-ouest, est sectionné et déplacé d'environ 500 mètres vers l'ouest où il se prolonge dans le conducteur MM-18. Les axes magnétiques subissent le même type de déplacement dans ce secteur. Dans un secteur sans affleurement, cette faille interprétée met en contact une zone à susceptibilité magnétique moyenne, au nord, avec une zone à susceptibilité basse et traversée de nombreux creux magnétiques, au sud.

TABLEAU 3
Meilleurs résultats d'analyses
Colline Noire

| No | Au ppb | Ag ppm | Cu ppm | Zn ppm | As ppm | Cd ppm | Autre | Loc. | Remarque |
|------------|-----------|-----------|-----------|-----------|-----------|-----------|---------|------|------------|
| P 514440 * | 8 | 0.5 | 265 | 937 | <5 | 2.2 | | NO | |
| P 514442 * | <5 | 1.7 | 413 | 1036 | <5 | 3.7 | | SE | V4, Po |
| P 514446 | 16 | 2.2 | 321 | 708 | 145 | 2.3 | | SE | V1, Qz, Po |
| P 514449 * | 9 | 2.1 | 679 | 3718 | <5 | 10.9 | | NO | V1, Py, Po |
| P 514453 | 17 | 1.4 | 1204 | 1562 | <5 | 6.9 | | NO | V3B, Po |
| P 514454 | 11 | 1.3 | 780 | 2946 | <5 | 9.8 | | NO | V3B, Po |
| P 514470 | <5 | 1.2 | 245 | 386 | 205 | 0.9 | MN:1280 | SE | Qz, Po, Py |
| P 514864 * | 9 | 1.4 | 383 | 1051 | 1763 | <.2 | MN:925 | S | Qz, Po |
| P 514865 * | 6 | 1.9 | 8 | 19 | 218 | <.2 | | S | Gp, Py |
| P 514866 * | 12 | .9 | 383 | 2818 | 331 | 8.8 | MN:534 | S | V3, TF |
| G 514362 | <5 | 1.7 | 1837 | 480 | <5 | .5 | | NO | V3B, , Fo |
| G 514367 | <5 | 1.9 | 1250 | 6231 | <5 | 21.3 | | NO | V4/V3B |
| G 514375 | <5 | 1.1 | 452 | 2699 | <5 | 9.2 | | NO | V1, Py |
| G 514377 | <5 | 1.2 | 486 | 2944 | <5 | 8.0 | | NO | V3, Gz |
| G 514382 | <5 | 2.0 | 931 | 795 | <5 | 3.2 | | NO | |
| G 514383 | <5 | 1.4 | 344 | 1460 | <5 | 6.2 | | NO | |
| G 514391 | <5 | 3.9 | 2467 | 298 | <5 | 1.4 | W:384 | NO | |
| G 514 387 | 55 | .6 | 61 | 49 | <5 | -- | | NO | |
| G 514427 | 6 | 1.3 | 1600 | 4628 | 6.3 | -- | | NO | |

* Blocs erratiques
P Prospection
G Géologie

Microfilm

PAGE DE DIMENSION HORS STANDARD

MICROFILMÉE SUR 35 MM ET

POSITIONNÉE À LA SUITE DES

PRÉSENTES PAGES STANDARDS

Numérique

PAGE DE DIMENSION HORS STANDARD

NUMÉRISÉE ET POSITIONNÉE À LA

SUITE DES PRÉSENTES PAGES STANDARDS

6.7.2 Bloc Main

Les résultats des levés magnétiques et de polarisation provoquée mettent en évidence des failles E-O dans plusieurs secteurs du bloc Main où les axes des anomalies sont sectionnées et se retrouvent sous forme de petits segments discontinus et déplacés en certains endroits. Les orientations des principales failles cartographiées en 1994 sont résumées au Tableau 2 et les meilleurs résultats d'analyses sont regroupés au Tableau 4.

Indice GL

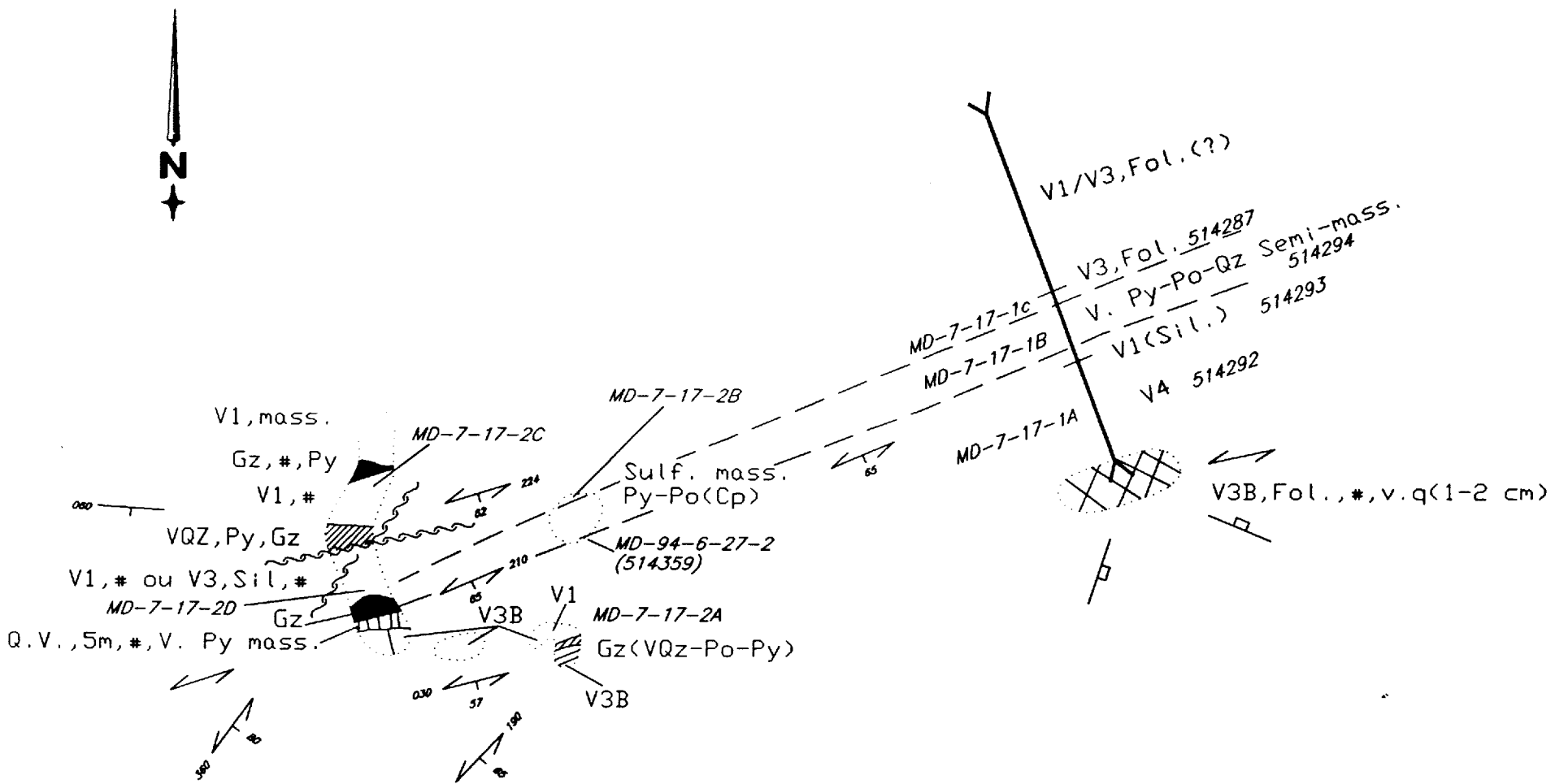
La tranchée de l'indice GL original expose sur une largeur d'environ 10 mètres trois (3) veines de quartz-pyrite associées à une zone felsique fracturée au contact avec un basalte folié (Figure 7). Les trois veines de quartz ont des directions variant de N30E à N60E. Trois (3) directions de fractures et de failles ont été observées; une concordante de direction NE (040° 85S) et deux qui recoupent les unités dans des directions NS (360° 80E) et NO (130° 80NE). Un affleurement très conducteur et constitué de sulfure massif (Py-Po) a été décapé dans le prolongement de la zone minéralisée à environ 7 mètres au NE. A 30 mètres au NE de l'indice original, une tranchée a été ouverte sur une longueur de 15 mètres à travers une séquence conductrice. Du NO au SE, les unités recoupées sont: basalte injecté de zones felsiques, une zone felsique minéralisée (Quartz-Pyrite-Pyrrhotine), une unité volcanique ultramafique, un basalte folié fracturé. Une zone de basalte fracturé, minéralisé a été mis à jour à environ 50 mètres plus au NE. Aucune valeur significative n'a cependant été obtenue.

TABLEAU 4

Meilleurs résultats d'analyses
Bloc Main

| No | Au ppb | Ag ppm | Cu ppm | Zn ppm | As ppm | Cd ppm | Autre | Loc. | Remarque |
|------------|-----------|-----------|-----------|-----------|-----------|-----------|--------|------|---------------|
| P 514255 * | 280 | -- | 548 | 926 | <5 | -- | | N | VQZ |
| P 514256 * | 371 | -- | 580 | 240 | 32 | -- | | N | Py M |
| P 514259 * | 98 | -- | 1278 | 46 | <5 | -- | W:601 | NE | -- |
| P 514266 * | 13 | -- | 1546 | 56 | <5 | -- | | N | Py-Po |
| P 514273 * | 267 | -- | 48 | 43 | <5 | -- | | E | Oz-Py-Po |
| P 514286 * | 162 | -- | 660 | 13 | <5 | -- | | N | V3/VQZ |
| P 514288 * | <5 | 2.0 | 272 | 934 | <5 | 4.9 | Pb:114 | GL | V3 |
| P 514295 * | 112 | 1.3 | 266 | 1186 | 28 | 5.7 | | NGL | V3 |
| P 514300 * | 226 | 3.1 | 593 | 136 | <5 | 0.3 | | NGL | VQZ |
| P 514355 * | 148 | 2.1 | 80 | 20 | 248 | 0.4 | | E | V4 |
| P 514356 * | 145 | 3.3 | 666 | 331 | <5 | 2.1 | | NGL | V3, VQZ |
| P 514357 * | 143 | 1.6 | 275 | 468 | <5 | 1.6 | | NGL | VQZ |
| P 514404 * | 14 | 1.5 | 620 | 206 | 268 | 0.5 | | NLR | Po-Py |
| P 514407 * | 63 | 5.2 | 420 | 81 | <5 | 0.3 | W:152 | SGL | V3, VQZ |
| P 514408 * | 134 | 1.6 | 257 | 139 | 310 | 0.7 | | SGL | V1, Oz, MT |
| P 514409 * | 53 | 3.4 | 502 | 180 | <5 | 1.1 | | SGL | V4, Oz, Po |
| P 514413 * | 17 | 3.0 | 513 | 1530 | <5 | 10.5 | | SGL | V4, Oz, Py-Po |
| P 514415 * | 31 | 2.0 | 333 | 2666 | <5 | 23.1 | | SGL | Po-Py |
| P 514416 * | 31 | 3.6 | 135 | 863 | 39 | 7.8 | Pb:95 | SGL | V3, Oz, Py |
| P 514420 * | 13 | 1.5 | 1117 | 265 | <5 | 1.0 | | SGL | Oz, Po |
| P 514423 * | 32 | 2.1 | 1000 | 290 | <5 | 1.5 | | SGL | Po |
| P 514437 * | 17 | 3.4 | 757 | 522 | <5 | 1.1 | | SGL | Py-Po |
| P 514438 * | 14 | 1.3 | 298 | 887 | <5 | 6.8 | | SGL | V1, Oz, Py |
| P 514482 * | <5 | 1.5 | 122 | 929 | <5 | 2.8 | | SW | Oz, Po, Py |
| P 514428 | 8 | .3 | 102 | 677 | <5 | 2.6 | | SGL | |
| P 514869 * | 6 | 1.8 | 317 | 2675 | 14 | 3.5 | | SE | VQZ, Py |
| P 514868 | <5 | -- | 16 | 80 | 15 | -- | BA:109 | SE | V3/M8 |
| G 514870 | 55 | 1.9 | 3372 | 70 | <5 | -- | | CB | M8, AC |
| G 514881 | <5 | 1.2 | 1555 | 138 | 12 | 0.4 | Mo:760 | CB | V3, Ci, VQZ |
| G 514393 | 315 | .7 | 19 | 12 | 72 | -- | | SGL | V1 |
| G 514394 * | 30 | 1.5 | 582 | 145 | 5 | .5 | | SGL | GZ-Py |
| G 514712 | 24 | 1.0 | 537 | 1854 | 31 | 6.7 | | <5 | V4, Po-Po |
| G 514724 | <5 | 3.2 | 593 | 92 | <5 | -- | | CB | VQZ |

* Bloc erratiques
P Prospection
G Géologie



Geonova Explorations Inc.

Echelle 1:250

*Figure 7: Geologie et Structures
Indice GL*

A environ 30 mètres au sud-est, un affleurement montrant une alternance de zones ultramafiques avec veines de Quartz-Pyrite dans un basalte fracturé a été mis à jour. Une valeur anormale de 663 ppm Zn a été obtenue.

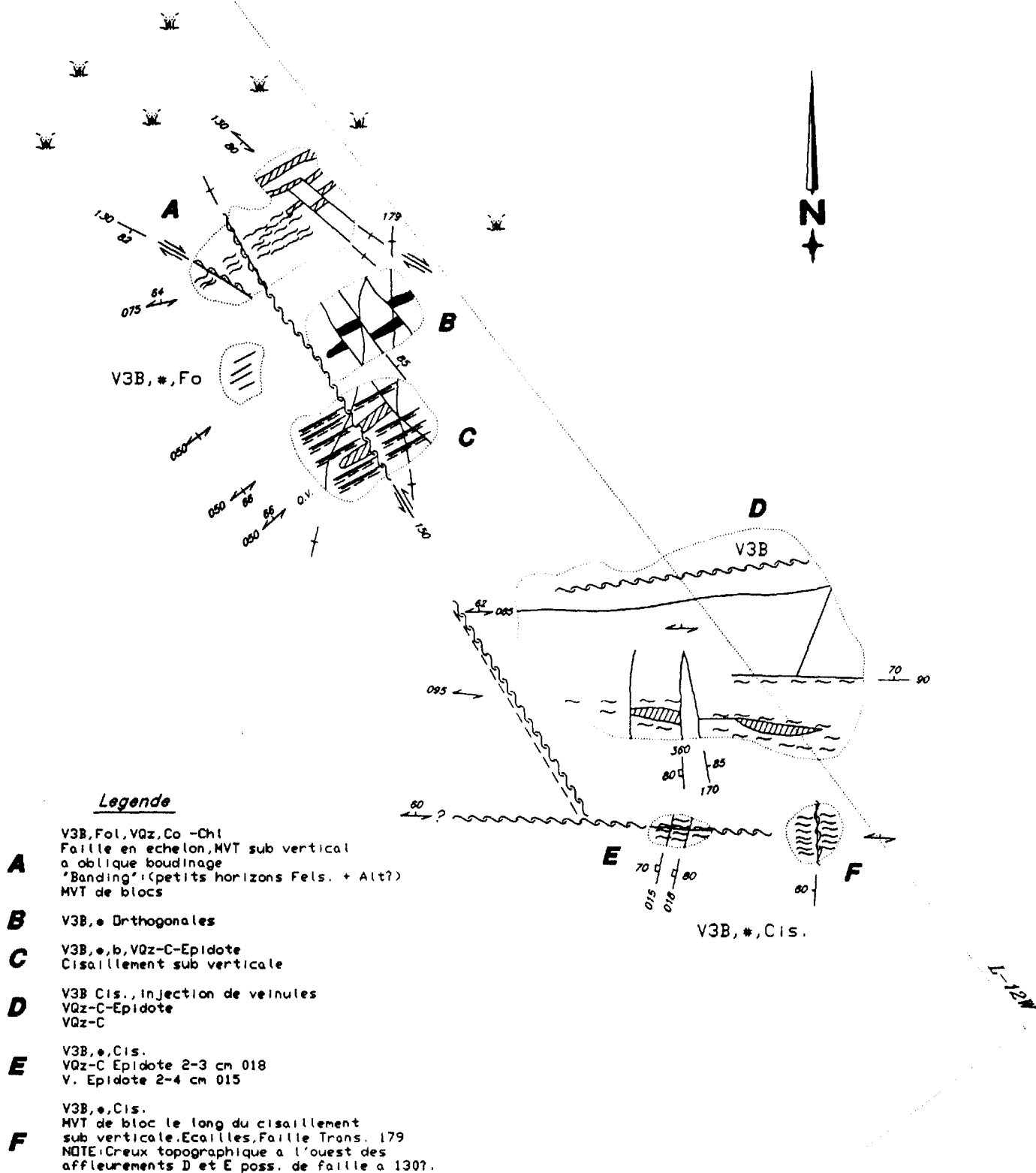
A environ 80 mètres au sud-est de l'indice GL, une série de blocs erratiques conducteurs alignés dans une direction NE (050°) ont été mis à jour sur une distance d'environ 175 mètres. Une zone felsique fortement minéralisée en pyrite affleure à l'extrémité NE de ce champ de blocs. Une valeur anormale de 934 ppm Zn a été obtenue dans un de ces blocs.

A environ 100 mètres au sud-est, une zone conductrice coïncidant avec l'anomalie de polarisation provoquée (PP-14) a été mise à jour et correspond à des veines de Quartz-Pyrite-Pyrrhotine injectées dans un basalte fracturé et folié et alternant avec des horizons ultramafiques. Aucune valeur significative n'a été obtenue.

Une série de blocs erratiques conducteurs décelés à environ 300 mètres au nord-ouest de l'indice ont retourné des valeurs anormales de 143 ppb Au et 1.6 ppm Ag ainsi que 226 ppb Au et 3.1 ppm Ag, associées à des veines de Quartz-Pyrite-Pyrrhotine injectées dans des granites.

Secteur Lac Rond

Une aire d'affleurement située à environ 650 mètres au nord du lac Rond, L12W, expose un basalte fracturé, cisailé et injecté de veines de quartz, et recoupé d'une multitude de failles (Figure 8). Ces failles sont orientées dans trois directions principales: NS (360° 60SO-90), E-O (090° 60-70N) et NO (130° 80SO à 150° 90). Les



GeoNova Explorations Inc.

1:500

Figure 8: Geologie et Structures
L-12W (Nord du Lac Rond)

anomalies de polarisation provoquée (PP-3, 4, 6, 7, 8 et 10) qui s'étendent au sud-ouest, se terminent sur ces failles tandis que les anomalies PP-12 et 18 représentent les extensions vers le NE de ces conducteurs, et déplacées de façon dextre d'environ 400 mètres.

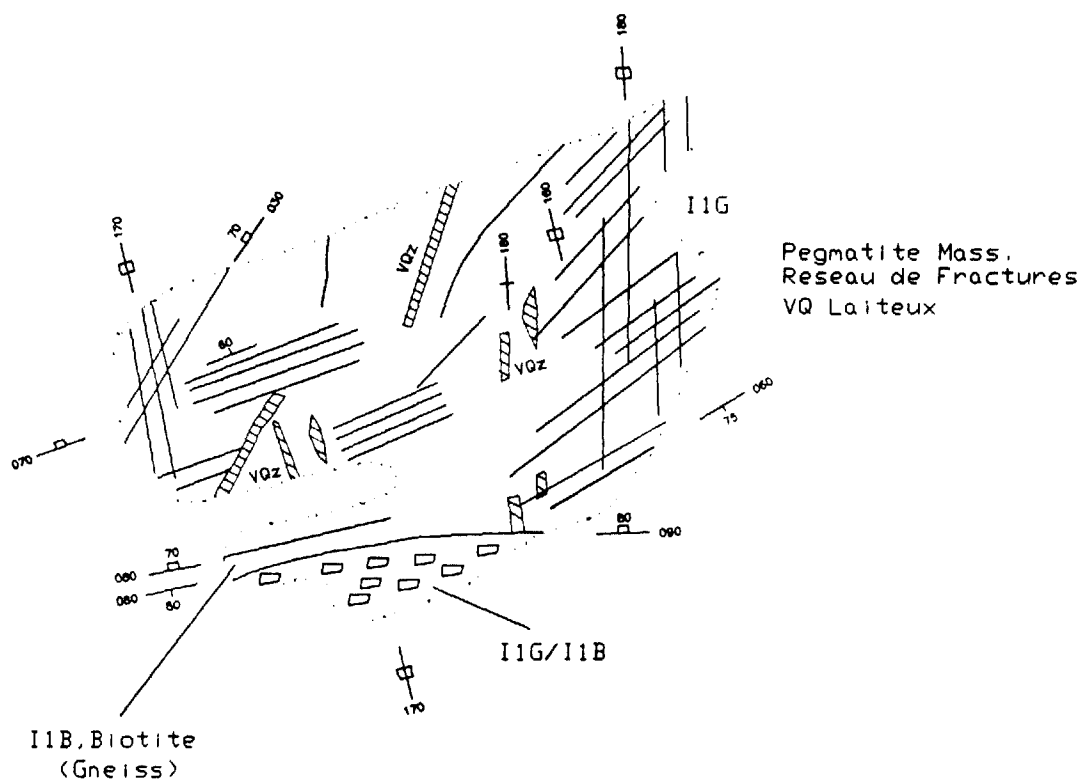
Un bloc de basalte magnétique injecté de veines de Quartz-Pyrite-Pyrrhotine décelé à 1 km au nord du lac, a retourné une valeur anormale de 134 ppb Au.

Un affleurement de gneiss granitique et de pegmatite situé à 200 mètres à l'est du lac Rond, montre un patron de fractures orthogonales serrées et orientées NE (060-070°) et NS (360°). Quelques veines de quartz segmentées sont associées au système de fractures NS et à un système intermédiaire à 020-040 (Figure 9).

Les affleurements au nord-ouest du lac Rond ont permis d'exposer des veines de Quartz-Pyrite-Pyrrhotine orientées au NE (060°) et associées aux fractures concordantes développées dans le basalte et de petits horizons felsiques et ultramafiques. Ces zones minéralisées coïncident avec les anomalies de polarisation provoquée (PP-7 et PP-10). Aucune valeur significative n'a été obtenue dans les échantillons prélevés dans ces unités. Quatre blocs détachés ou blocs erratiques minéralisés coïncidant avec les anomalies PP-7, PP-9 et PP-10 ont retourné des valeurs de 13-32 ppb Au, 10-30 ppm Ag, 333-1117 ppm Cu et 265-2666 ppm Zn.

Secteur Lac Sandwich

Une zone minéralisée orientée ENE passe au sud-est du Lac Sandwich et coïncide avec l'anomalie de polarisation provoquée PP-10. Elle est associée à une



GeoNova Explorations Inc.

1:250

Figure 9: Geologie et Structures
Affleurements a l'Est du Lac Rond

alternance de roches felsiques à ultramafiques au contact avec le granite et injectée de veines de quartz le long des fractures concordantes. Trois (3) anomalies sub-parallèles (PP-9, PP-7 et PP-5, 6) se retrouvent au sud-est de cette dernière et, sur une épaisseur d'environ 150 mètres. Ces zones minéralisées mises en place le long de structures concordantes, sont segmentées en plusieurs endroits mettant en évidence des failles discordantes, principalement orientées est-ouest, avec un espacement de 200 à 600 mètres.

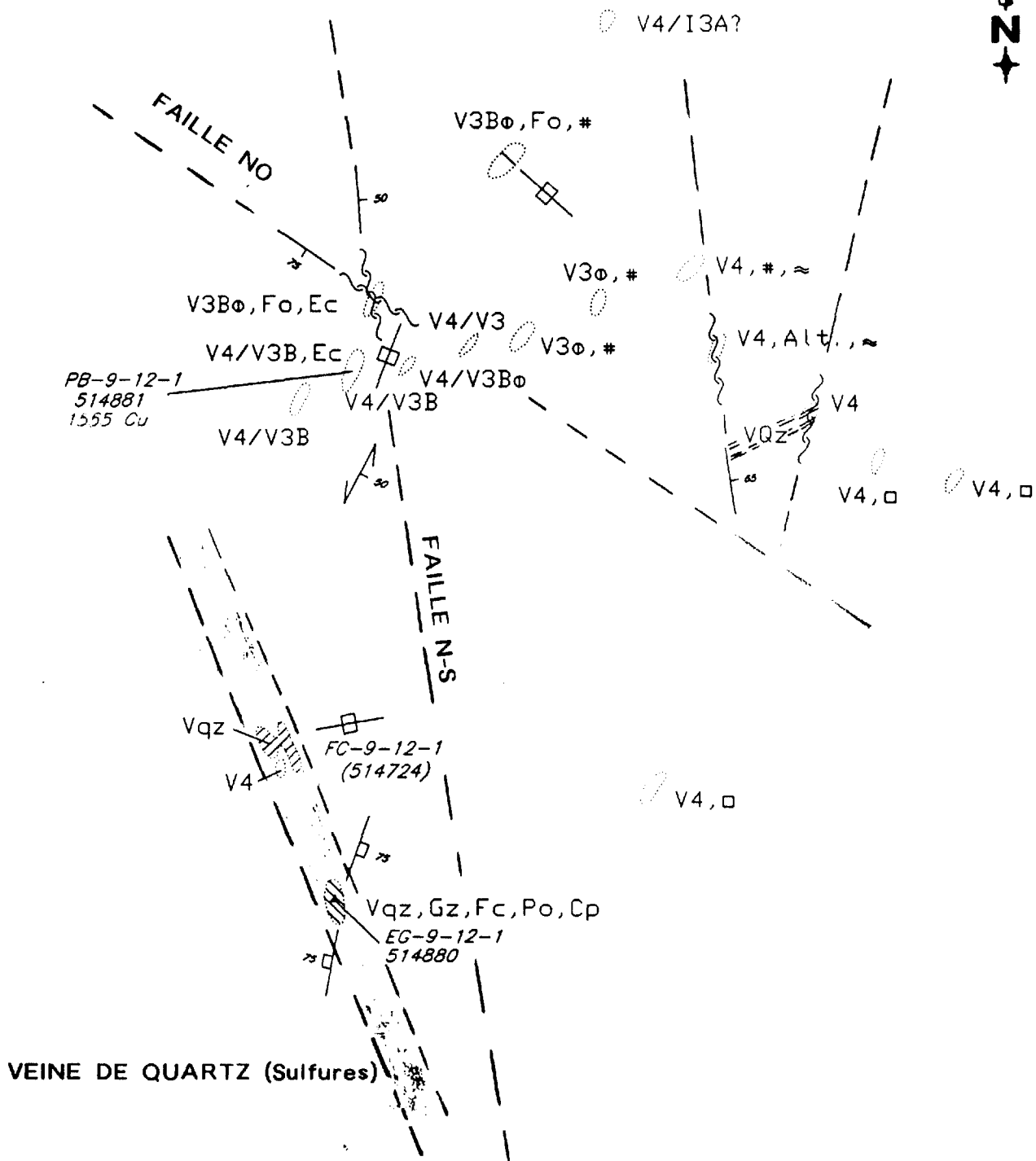
Des blocs erratiques et blocs détachés le long de ces zones minéralisées ont retourné entre 17–32 ppb Au, 1.5–3.0 ppm Ag, 513–1117 ppm Cu et 265–2666 ppm Zn. Ces valeurs correspondent aux types de valeurs obtenues dans les sondages exécutés en 1990 le long de la zone minéralisée du nord.

Secteur Bloc B

Lors de levés géophysiques précédants, une série d'anomalies PP orientées au NE (020) avec coïncidence EM et magnétique, ont été décelées dans la partie ouest de ce secteur et une série d'anomalies PP orientées au NE (030) s'étend à environ 300 mètres plus à l'est. Aucun affleurement n'a été mis à jour dans ce secteur recouvert d'une épaisse couche de mort-terrain. Deux blocs erratiques décelés au nord-ouest des anomalies PP ont retourné 280 ppb Au et 371 ppb Au respectivement. Un bloc retrouvé dans le prolongement sud de ces dernières a retourné 1546 ppm Cu.

Secteur Colline Brulée

A environ 2 km au nord-ouest du Bloc Main, la séquence de roches volcaniques mafiques à ultramafiques a été retracée sur la Colline Brulée (Figure 10).



Geonova Explorations Inc.

1:2000

Figure 10: Geologie
Colline Brule

Les lithologies sont orientées au NNE (020°) avec un pendage suivant la schistosité à 50° SE. Les failles sont concordantes et orientées au NE (020°) avec pendage de 46° SE, ou discordantes et orientées E-O à ESE (115°) avec des pendages de 75° SO et NS (350°) avec pendage variant de 50 à 65° NE. Une zone minéralisée NNE associée à une fracture concordante dans la séquence volcanique mafique-ultramafique a retourné 1555 ppm Cu et 760 ppm Mo. Une large veine de quartz recoupe les unités volcaniques dans une direction NNO (340°) et n'a retourné en surface que de faibles valeurs d'or et 3.2 ppm Ag. Un schiste à actinote minéralisé exposé à environ 1.2 km au NE a retourné 55 ppb Au, 1.9 ppm Ag et 3372 ppm Cu.

6.7.3 Bloc Dejour

Indice Exko

Les affleurements dans l'entourage de l'indice Exko ont été cartographiés et échantillonnés lors des travaux effectués durant l'été 1994 (Figure 11 Tableau 5). Dans la partie nord de l'indice, une veine de quartz bizautée, et traversée de veinules de pyrite et de pyrrhotine massives, est coincée entre une fracture à 080° 45NO au nord, et une fracture à 060° 60NO au sud. Des échantillons prélevés dans cette veine ont retourné 181–866 ppb Au, 1.0–3.4 ppm Ag et 1134–7051 ppm As. Au sud, les roches sont de composition mafique à ultramafique, fracturées et traversées de veinules de Quartz-Pyrrhotine-Pyrite. Un échantillon a retourné 214 ppb Au, au centre de la zone, où l'échantillonnage de 1989 avait permis de révéler jusqu'à 3550 ppb Au, 1251 ppm Cu, 609 ppm As et 17.0 ppm Ag. Un échantillon prélevé à l'extrémité sud, dans une roche ultramafique altérée, fracturée a retourné 1548 ppb Au (1.65 g/t Au) et 2.5 ppm Ag.

TABLEAU 5

**Meilleurs résultats d'analyses
Dejour NE**

| No | Au ppb | Ag ppm | Cu ppm | Zn ppm | As ppm | Cd ppm | Autres ppm | Loc. | Remarque |
|------------|-----------|-----------|-----------|-----------|-----------|-----------|----------------|------------|-----------------|
| P 514429 | 171 | .8 | 166 | 82 | <5 | -- | | EX(80m NE) | |
| P 514430 | 193 | 1.1 | 581 | 131 | <5 | .5 | | EX(80m NE) | V3, Qz |
| P 514431 | 1550 | 1.8 | 474 | 357 | 1288 | 2.3 | | EX(50m SW) | V3, Qz |
| P 514432 | 258 | 0.5 | 505. | 50 | <5 | -- | | EX(130m W) | S4, Qz |
| P 514436 | 467 | 1.5 | 354 | 70 | 2407 | 1.9 | | EX (Exko) | Py,Po, Aspy |
| P 514451 | 2897 | 1.4 | 705 | 85 | 2466 | 2.8 | | EX(40m SW) | VQz,Aspy |
| P 514647 * | 310 | .8 | 250 | 55 | <5 | .3 | SR:175 | EX-SE | V4, Po |
| G 514400 | 672 | 3.4 | 299 | 82 | 1920 | -- | | EX | Py massive |
| G 514502 | 181 | 1.0 | 329 | 66 | 1424 | -- | | EX | Qz, Cp- Aspy |
| G 514503 | 378 | 1.3 | 218 | 52 | 1193 | -- | | EX | V Po |
| G 514504 | 346 | 1.4 | 286 | 109 | 1134 | -- | | EX | Mix |
| G 514505 | 866 | 2.1 | 185 | 51 | 7051 | -- | | EX | d,Qz-Aspy |
| G 514506 | 571 | 2.2 | 305 | 95 | 4933 | -- | | EX | d,Po,Qz |
| P 514507 | 214 | 1.1 | 135 | 356 | 381 | .6 | | EX | V3B, #, Po |
| P 514508 | 1548 | 2.5 | 130 | 462 | 400 | .7 | 1.65 g/t Au | EX | V3B, #, Po |
| P 514509 | 3467 | 1.1 | 240 | 74 | 2481 | -- | 3.84 g/t Au | EX(40m SW) | VQz-Aspy |
| P 514510 | 659 | 2.5 | 1918 | 270 | 1444 | -- | | EX(50m SW) | VQz-Aspy |
| P 514395 | 544 | 3.5 | 369 | 848 | 224 | 1.9 | | EX(50m SW) | VQz-Aspy |
| P 514511 | 185 | .8 | 733 | 46 | 30 | -- | | EX(130m W) | V3B, #, Po |
| P 514396 | 220 | 1.4 | 498 | 41 | <5 | -- | | EX(130m W) | V3B, #, Po |
| P 514397 | 278 | 1.6 | 1925 | 48 | <5 | .3 | | EX(130m W) | Po, mass. |
| P 514398 | 74 | 1.8 | 254 | 167 | 443 | .7 | | EX(70m W) | V3B,Qz-Py |
| P 514424 | 521 | 1.5 | 1190 | 95 | 3160 | -- | | EX(40m SW) | VQz-Aspy |
| P 514425 | 1372 | .6 | 661 | 30 | 2350 | -- | 2.10 g/t | EX(50m SW) | VQz-Aspy |
| P 514554 | | | | | | | | | |
| P 514588 | | | | | | | | | |
| P 514641 | 75 | 1.3 | 153 | 868 | <5 | 3.5 | | EX-N | V4-SF |

TABLEAU 5 (suite)

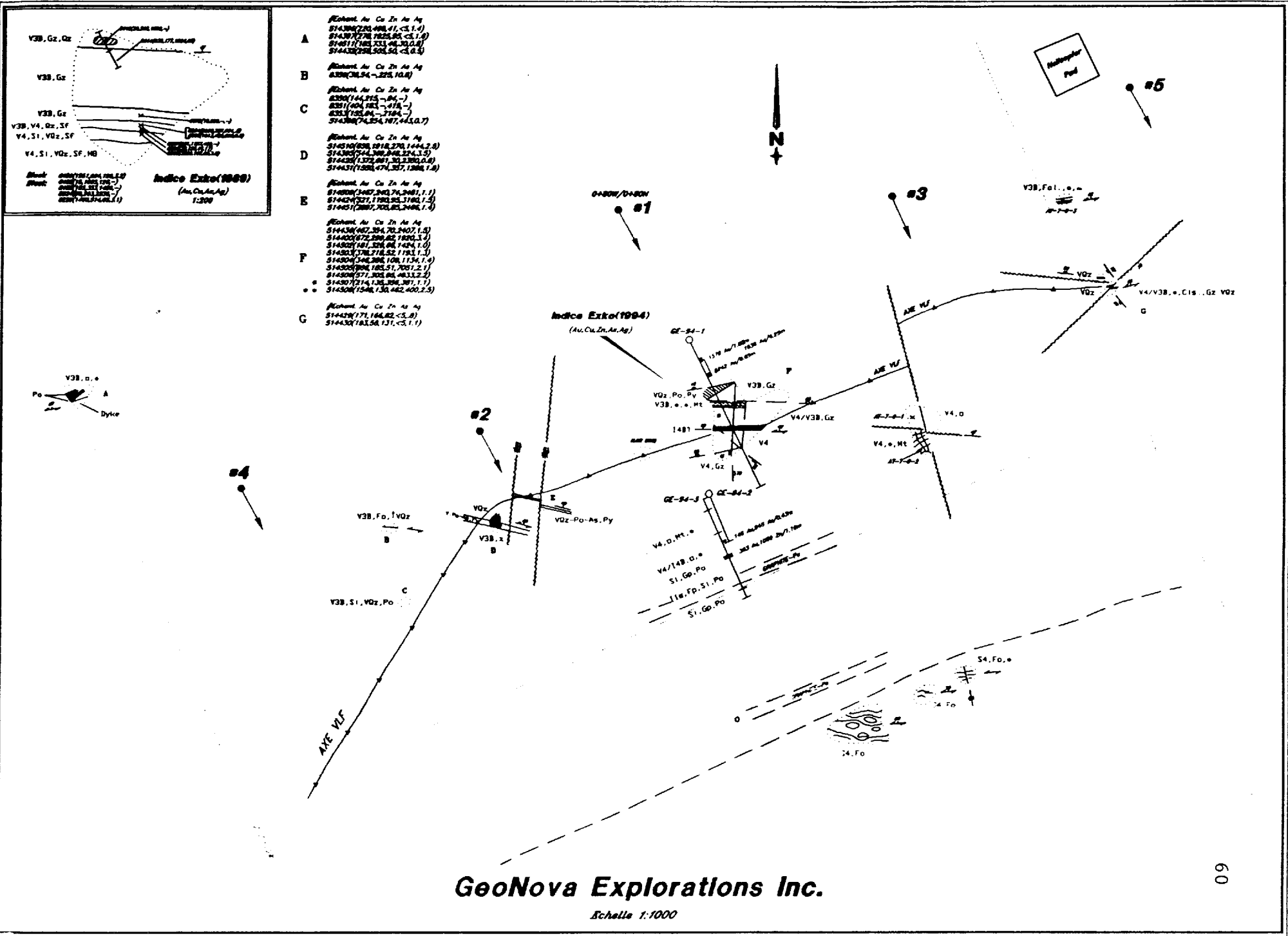
Meilleurs résultats d'analyses
Dejour NE

| No | Au ppb | Ag ppm | Cu ppm | Zn ppm | As ppm | Cd ppm | Autre | Loc. | Remarque |
|------------|-----------|-----------|-----------|-----------|-----------|-----------|--------|--------|------------|
| P 514554 | <5 | 1.2 | 203 | 1129 | <5 | 6.1 | La:154 | EX (N) | Po massive |
| P 514588 | 219 | <.2 | 17 | 27 | 6 | -- | | EX-E | |
| P 514462 | 37 | .8 | 1454 | 33 | 6 | -- | | QP | VQZ-Py |
| P 514471 | 63 | 1.7 | 4465 | 83 | <5 | -- | | QP | VQZ-Py |
| P 514464 | 134 | 7.9 | 8749 | 57 | <5 | -- | | NE | V3B, #, Po |
| P 514465 | 36 | 1.3 | 2691 | 72 | 6 | -- | | NE | V3B, #, Po |
| P 514467 | 34 | .7 | 4941 | 50 | <5 | -- | | NE | V3B, #, Po |
| P 514468 * | 55 | .3 | 390 | 1798 | 9 | 1.1 | | NE-S | V3B, #, Po |
| P 514473 | 48 | 1.9 | 2167 | 38 | 12 | -- | | NE | V3B, #, Po |
| P 514475 | 75 | 1.4 | 872 | 47 | <5 | -- | | NE | V3B, #, Po |
| P 514873 | 68 | 4.5 | 4084 | 38 | <5 | -- | | NE | V3B, #, Po |
| P 514874 | 60 | 4.2 | 4910 | 41 | <5 | -- | | NE | V3B, #, Po |
| P 514875 | 42 | 2.6 | 2510 | 28 | <5 | -- | | NE | V3B, #, Po |
| P 514876 | 75 | 4.4 | 4851 | 36 | 9 | -- | | NE | V3B, #, Po |
| P 514878 | 39 | 3.8 | 3075 | 35 | <5 | -- | Co:371 | NE | V3B, #, Po |
| P 514623 | 9 | -- | 146 | 38 | 415 | -- | | B Line | V3B, #, Po |
| P 514643 | 152 | .3 | 458 | 33 | <5 | -- | | B Line | V3B, #, Po |
| P 514603 | 201 | .7 | 496 | 42 | 10 | -- | | B Line | V3B, #, Po |
| P 514605 | 60 | 2.8 | 2578 | 152 | 1531 | -- | | B Line | V3B, #, Po |
| P 514615 | 5 | 1.4 | 808 | 85 | <5 | -- | | B Line | V3B, #, Po |
| P 514617 | <5 | 0.4 | 1416 | 44 | 10 | .6 | | B Line | VQZ, Po |
| P 514621 * | 7 | 1.4 | 1501 | 39 | 11 | -- | | B Line | V3B, # |
| P 514526 | 51 | 2.1 | 1102 | 70 | 2221 | -- | | B Line | S4/I4, SF |

TABLEAU 5 (suite)

**Meilleurs résultats d'analyses
Dejour NE**

| No | Au ppb | Ag ppm | Cu ppm | Zn ppm | As ppm | Cd ppm | Autre | Loc. | Remarque |
|------------|-----------|-----------|-----------|-----------|-----------|-----------|------------------|-------|------------------|
| P 514607 | 30 | .7 | 387 | 1971 | <5 | 5.6 | | G-H | VQZ-Po |
| P 514613 * | 5 | 3.0 | 3308 | 61 | <5 | -- | | G-H | VQZ-Po |
| G 514524 | 9 | 3.3 | 360 | 1523 | <5 | 5.7 | | G-H | VR, V4/V1, QZ-SF |
| G 514567 | <5 | .2 | 52 | 142 | 441 | .8 | | G-H | V1 |
| G 514530 | 6 | 2.3 | 456 | 313 | <5 | 1.2 | LA:105 N:1152 | E | V4, Cis, Po |
| G 514531 | <5 | 1.4 | 337 | 340 | <5 | 1.4 | LA: 84 Ni:907 | E | V3B, Alt, Po. |
| G 514541 | <5 | .5 | 235 | 1394 | <5 | 8.2 | | E | V1, ≈, Py |
| P 514578 | <5 | .7 | 66 | 3940 | <5 | 16.6 | | E | Gz, Po |
| P 514579 | <5 | 1.1 | 67 | 907 | <5 | 3.9 | | E | Gz, Po |
| P 514625 * | 11 | 3.2 | 749 | 361 | 36 | 1.0 | | E-F | |
| P 514626 | <5 | .9 | 945 | 103 | 59 | -- | | E | |
| P 514629 | <5 | .5 | 999 | 33 | <5 | -- | | EF-S | |
| P 514630 * | <5 | 1.4 | 2942 | 111 | <5 | -- | | EF-S | |
| P 514633 | <5 | .3 | 1348 | 26 | <5 | -- | | F-S | |
| P 514635 * | <5 | 7.5 | 2543 | 350 | 74 | 2.0 | | F-S | |
| P 514636 * | 25 | 1.1 | 2807 | 63 | <5 | -- | | EF-S | V4, SF |
| P 514637 * | <5 | 1.4 | 360 | 797 | <5 | 5.1 | | EF-S | V4, SF |
| P 514638 * | 23 | 3.0 | 939 | 233 | <5 | .6 | | EF-S | |
| P 514639 | 9 | 1.2 | 968 | 147 | <5 | .6 | | F (W) | V4,SF |
| P 514675 | <5 | 1.7 | 227 | 713 | <5 | 4.3 | | PPL | V4, Si, SF |
| P 514679 | 10 | .4 | 945 | 991 | <5 | 10.4 | | PPL | V4, QZ, Py |



GeoNova Explorations Inc.

Échelle 1:1000

Figure 11: Geologie et Structures

Indices Exo

Un affleurement mis à jour à 40 mètres à l'OSO de l'indice, a permis d'exposer une veine de quartz-pyrrhotine-arsénopyrite orientée à 105° et avec pendage à 60° vers le NE. Une faille sub-verticale à 005° déplace cette veine d'environ 1 mètre et de façon dextre. Les valeurs obtenues lors de l'échantillonnage ont atteint 3467 ppb Au (3.84 g/t Au), 1190 ppm Cu, 3160 ppm As et 1.5 ppm Ag.

Un affleurement mis à jour 10 mètres plus à l'ouest, montre une veine de pyrrhotine-arsénopyrite orientée à 105° 68NE et au contact au nord avec une veine de quartz. Cette veine semble déplacée d'environ 6 mètres de façon senestre par une faille N-S. Les échantillons prélevés sur cette veine ont retourné jusqu'à 1550 ppb Au (2.06 g/t Au), 1918 ppm Cu, 848 ppm Zn, 2350 ppm As et 3.5 ppm Ag.

A l'ouest de cet affleurement, un levé EM-VLF restreint indique que le conducteur, de direction ENE entre les lignes 0 et 1+30E, tourne et prend une direction NNE plus à l'ouest. Un affleurement situé à environ 20 mètres plus à l'ouest avait retourné 10.8 ppm Ag lors de l'échantillonnage de 1989. Environ 15 mètres plus au sud et coïncidant avec l'axe VLF, des échantillons prélevés en 1989 sur un affleurement traversé de veines de quartz-pyrrhotine avaient retourné 144-404 ppb Au et jusqu'à 2184 ppm As.

Un affleurement mis à jour à la station 0+90N/L2+00W, et situé à environ 130 mètres à l'ouest de l'indice principal, a permis d'exposer des veinules de pyrrhotine orientées à 070° 57NO et recoupant un basalte fracturé. Les échantillons prélevés sur cette zone ont retourné 185-278 ppb Au, 498-1925 ppm Cu, et jusqu'à 1.6 ppm Ag.

A environ 25 mètres à l'est de l'indice principal et près de la ligne 0+00E/0+65N, un affleurement de roches volcaniques mafiques à ultramafiques fracturées et cisillées, est traversé de veinules de quartz-sulfures (Po-Py). Les échantillons prélevés sur cette zone ont retourné 171 et 193 ppb Au. Une faille à 045° 70SE déplace légèrement de façon senestre une veine de quartz. Une faille à 095° 50NE traverse l'extrémité nord de l'affleurement.

Plus à l'est, entre les lignes 0+00 et 4+00E, quelques affleurements de basalte coussiné, massif et fracturé n'ont montré aucune minéralisation intéressante. Aucun affleurement n'a été mis à jour entre les lignes 4+00E et 11+00E. Entre les lignes 11+00E et 14+00E des affleurements de basalte fracturé, injectés de veines de quartz ont été cartographiés et des valeurs entre 145 ppb Au et 796 ppb Au ont été obtenues.

La zone EM conductrice avec coïncidence magnétique révélée dans l'entourage de l'indice Exko est expliquée par la présence de deux horizons de graphite-pyrrhotine dans l'unité de komatiite altérée. Cette zone conductrice s'étend le long de la ligne de base jusqu'à la ligne 5+00E et est déplacée au sud le long de son extension NE. L'horizon de komatiite à magnétite cause l'anomalie magnétique coïncidante. La zone minéralisée de l'indice Exko coïncide avec une petite zone conductrice située au contact basalte-komatiite et causant une anomalie EM (MM-3) situé sur l'épaule nord du conducteur principal, entre les lignes 1+50W et L0. Un creux magnétique apparaît dans le prolongement de l'anomalie magnétique à l'ouest de la ligne 2+00W (faille ?). Vers le nord-est, la zone semble déplacée vers le sud-est, mais la zone minéralisée mise à jour dans ce secteur est associée aux basaltes fracturés et aucune évidence de l'unité de

komatiite n'a été retrouvée. L'interprétation du levé aéroporté suggère que cet horizon se retrouve au sud de la propriété et à l'extérieur de la zone levée.

Secteur Grid F et E

La zone minéralisée principale, qui coïncide avec le conducteur nord, est déplacée vers le nord d'environ 200m et de façon dextre au sud-ouest du dyke de diabase. Une faille ONO (120°) à pendage 82° NE a été cartographiée sur la rive sud du lac Dolent. Plusieurs structures sub-parallèles et injectées de veines de quartz-sulfures (Py-Po), recoupent l'horizon de basalte dans une direction NE (060 60NO). Des échantillons prélevés le long de ces structures ont retourné des valeurs anormales atteignant 3940 ppm Zn et 2578 ppm Cu (Tableau 5 et cartes, en pochette). Plusieurs failles NS à NNE recoupent les horizons de ce secteur.

Secteur Ligne de base – sud

De nombreux blocs erratiques ont retourné des valeurs anormales atteignant 7.5 ppm Ag et 2588 ppm Cu au sud de la ligne de base, station 43E. Un affleurement minéralisé décelé à 400m au sud de la ligne de base, station 45E, a retourné une valeur de 150 ppb d'or. Cette zone minéralisée d'orientation ENE se trouve dans l'horizon conglomératique et est située à environ 1.5 km au NE de la zone minéralisée Exko NE.

A environ 2 km plus au NE, et à 600m au sud de la ligne de base, station 58E, un échantillon prélevé dans un conglomérat à fragments volcaniques minéralisés à foliation est-ouest a retourné une valeur anormale de 415 ppm As.

A 1 km plus au nord-est, et à 400m au sud de la ligne de base, station

68E, un échantillon prélevé dans une zone de contact basalte/conglomérat, orienté ENE (N70E 45NO) a retourné une valeur de 2578 ppm Cu et 1531 ppm As (Tableau 5 et cartes, en pochette).

Secteur du lac Jim (Grid G et H)

La zone minéralisée de ce secteur comprend une large veine de quartz-pyrite alternant avec des zones de pyrite massive (Figure 12 et Tableau 5). Cette zone a été étendue vers le nord-est et forée lors de cette campagne (voir section sur sondage GE-94-4). Des valeurs anormales atteignant 1971 ppm Zn ont été obtenues le long de la zone mais aucune des valeurs d'or obtenues lors des campagnes précédentes n'a été reproduite.

Cette zone minéralisée qui coïncide avec le conducteur aéroporté du nord a été décelée au sol et correspond à l'anomalie électromagnétique MM-7 coïncidant avec l'anomalie magnétique MG-10. Elle est située au contact entre les granites au nord et une alternance de basaltes et d'horizons felsiques à ultramafiques au sud. Les failles NE (060) à pendages 40-65° NO ont été observées ainsi qu'une faille NS (340°) à pendage 76°SO à l'extrémité SE du lac.

Extrémité NE

Une zone minéralisée d'orientation NE (060) a été mise à jour sur la colline à l'extrémité NE du bloc Dejour. Une zone de cisaillement et de fractures injectées de minces veinules de quartz-pyrite-pyrrhotine est située près du contact entre l'unité de basalte et le conglomérat. Cette zone coïncide avec l'axe magnétique MG-6 qui s'étend entre les lignes 80E et 90E. Un court axe électromagnétique (MM-10) a aussi été décelé

Microfilm

PAGE DE DIMENSION HORS STANDARD

MICROFILMÉE SUR 35 MM ET

POSITIONNÉE À LA SUITE DES

PRÉSENTES PAGES STANDARDS

Numérique

PAGE DE DIMENSION HORS STANDARD

NUMÉRISÉE ET POSITIONNÉE À LA

SUITE DES PRÉSENTES PAGES STANDARDS

sur la ligne 92E et dans le prolongement de cet axe magnétique. Une minéralisation ayant retourné des valeurs variant de 2691 ppm Cu et 8749 ppm Cu a été exposée sur une distance d'environ 600m le long de cet axe. Un échantillon prélevé sur la ligne 84E a retourné une valeur de 134 ppb Au et 7.9 ppm Ag.

A environ 40m au nord-ouest, un axe magnétique (MG-8), orienté au NE, et décelé entre les lignes 76E et 82E, a été prospecté et coïncide avec une zone de fractures injectées de veines de quartz-sulfure (pyrite-pyrrhotine) qui ont retourné entre 1454 ppm Cu et 4465 ppm Cu.

Les structures principales qui ont été observées dans ce secteur incluent une large zone de cisaillement NE (060 68°NO) qui longe la ligne de base, ainsi que de nombreuses failles discordantes orientées EO (090 65-70° N) à NNO (120° 70-90 NE). Une de ces failles semble recouper la zone de cisaillement principale à la ligne 86E et la déplace de façon dextre d'environ 500 mètres.

Deux aires magnétiques pouvant coïncider avec des horizons de komatiite ont été décelées au sud-est du bloc Dejour, lignes 80 et 82E. La première zone (MG-5) s'étend dans une direction ENE (050) sur une largeur de 250m et coïncide avec la série du lac au SE de la montagne. La deuxième aire magnétique (MG-6) est située à environ 500 mètres plus au sud et s'étend sur une largeur d'environ 75m dans une direction ENE (075°). Cette dernière coïncide aussi avec une série de lacs allongés. Aucun affleurement n'a été mis à jour dans les secteurs couvrant ces anomalies.

Secteur du Grid D

Les structures (failles et zones de cisaillement) qui recoupent les roches de ce secteur, situé à environ 2 km au sud-ouest de l'indice Exko, sont multiples. La foliation et la schistosité sont généralement orientées au NE (065°–080°) avec un pendage moyen à 50°NO. Des failles concordantes NE (065° 45–60NO) recoupent la foliation avec un angle faible. Les failles recoupantes sont d'orientation multiples: NO (125–145°, 50–70 NE), EO (100° 50NE) et NS (010 90). Les horizons minéralisés sont constitués de veines de quartz-sulfures (Po–Py) et sont associés à des fractures développées dans des horizons felsiques-ultramafiques au nord du contact avec l'unité conglomératique. Ces veines sont segmentées par les failles recoupantes qui déplacent de plusieurs mètres le contact unités volcaniques/conglomérat. Le patron de fractures développées dans l'unité de basalte, plus au nord, reflète ce système de contraintes avec des fractures orthogonales majeures à N35E et N65W et un système mineur NS (350°–015°). Aucune valeur aurifère n'a été obtenue dans ce secteur.

Secteur Petit Lac Long (conducteur nord)

La minéralisation en sulfure (Po–Py) est associée à des veines de quartz dans des fractures le long d'horizons felsiques, mafiques et ultramafiques et qui recoupent localement le granite. Les meilleures valeurs obtenues furent 945 ppm Cu, 991 ppm Zn, 139 ppm As et 303 ppm Co (Tableau 6). Cette zone coïncide avec la zone de contact entre le granite au nord, et une alternance de roches volcaniques mafiques-ultramafiques avec horizons felsiques au sud. Les roches sont recoupées par des failles NE (040°–060°) avec pendages de 50°–60° SE et des failles NO (120°) avec pendages sub-verticaux.

Zone de brèche – Tranchée 1

Une tranchée orientée à 115° et ouverte de façon discontinue sur une distance de 50 mètres a permis d'exposer une large zone minéralisée associée à l'unité de roche volcanique ultramafique altérée et bréchifiée (Figure 13 et Tableau 6). Les lithologies sont orientées au NE (060 60-70° NO). Du nord vers le sud, la zone minéralisée comprend: une zone silicifiée contenant entre 3-10% pyrite et jusqu'à 15-20% de pyrrhotine sur une épaisseur de près de 20 mètres; une veine de quartz-pyrrhotine-graphite localement bréchifiée sur une largeur de 5 mètres; une zone de brèche à pyrrhotine-pyrite-quartz-graphite; une zone ultramafique silicifiée contenant 5-7% pyrite. L'extrémité nord de la tranchée est occupée par une zone de failles NE (060). Au nord-est de la tranchée, la zone minéralisée est en contact avec une zone ultramafique silicifiée et fracturée dont le contact est orienté à l'ENE (080 60° SE). Un échantillon prélevé au nord de la tranchée a retourné une valeur anormale de 1118 ppm Zn. Près du contact sud de la zone silicifiée, une valeur anormale de 80 ppb Au a été obtenue dans une zone chertreuse. La veine de quartz a retourné des valeurs de 1334 ppm Zn et 1606 ppm Zn. Aucune valeur n'a été obtenue dans la zone de brèche au sud.

Zone de brèche – Tranchée 2

A environ 2 km au sud-ouest de la tranchée 1, une deuxième tranchée nord-sud a été ouverte de façon continue sur une largeur de 18 mètres (Figure 14 et Tableau 6). Du nord vers le sud, cette tranchée recoupe:

- 1) une zone mafique à ultramafique minéralisée contenant 25-30% pyrrhotine et 15% pyrite (2.5m);
- 2) une brèche à sulfures où les fragments de roches volcaniques et de quartz

TABLEAU 6

Meilleurs résultats d'analyses
Dejour SW

69

| No | Au ppb | Ag ppm | Cu ppm | Zn ppm | As ppm | Cd ppm | Autre | Loc. | Remarque |
|------------|-----------|-----------|-----------|-----------|-----------|-----------|-----------------|---------|----------------|
| P 514675 | <5 | 1.7 | 227 | 713 | <5 | 4.3 | | PLL | V3, Si, SF |
| P 514679 | 10 | .4 | 945 | 991 | <5 | 10.4 | | PLL | V4, Qz, Py |
| P 514858 | 10 | 1.7 | 167 | 353 | 139 | 0.9 | Co:303 | PLL | SF, |
| P 514686 | 42 | 1.0 | 1188 | 1742 | <5 | 5.9 | | T1-NE | V4, GP, SF |
| P 514687 | 10 | 3.5 | 372 | 1445 | 18 | 6.2 | Pb:74 | T1 | V4, Si, BN |
| P 514798 | 9 | 1.7 | 165 | 1118 | 8 | 5.0 | | T1 | V4, Si, Py |
| P 514799 | 80 | 3.9 | 762 | 385 | 41 | 1.4 | | T1 | SL, Py |
| P 514800 | 6 | 3.1 | 268 | 365 | 23 | 1.1 | Pb:177 | T1 | SL, SF |
| P 514851 | 12 | 3.8 | 630 | 186 | 52 | 0.3 | | T1 | SL, SF |
| P 514852 | <5 | 0.6 | 41 | 1334 | <5 | 5.5 | | T1 | VOZ |
| P 514853 | 9 | 5.3 | 405 | 230 | 11 | 0.7 | Pb:175 | T1 | BR, Qz, Po |
| P 514854 | <5 | .6 | 42 | 1606 | <5 | 7.5 | | T1 | VOZ, GP |
| P 514855 | 12 | 3.2 | 248 | 290 | 11 | 0.9 | | T1 | V4, Si, Po, GP |
| P 514697 | 7 | 2.7 | 684 | 1386 | <5 | 5.8 | | T2W | V3, |
| P 514698 | <5 | 1.1 | 661 | 979 | <5 | 4.6 | | T2W | V4, SF |
| P 514700 | 9 | 2.4 | 1132 | 1881 | <5 | 5.5 | | T2W | |
| P 514871 | <5 | 2.3 | 1396 | 197 | 22 | .3 | Ni:1020 | T2W | S1 |
| P 514764 | 11 | 1.1 | 272 | 2673 | <5 | 10.8 | | T2W | V4, S1, SF |
| P 514672 | 455 | 1.6 | 569 | 243 | <5 | .7 | | GR-D | V4, VOZ |
| G 514711 | 373 | 1.1 | 116 | 64 | >10,000 | .8 | | GR-D | V4, #, AsPy |
| P 514664 | 8 | .7 | 133 | 542 | <5 | 1.6 | | GR-A,C | V4, Po |
| P 514666 | 6 | -- | 50 | 28 | 27 | -- | Cr:1286-Ni:959 | GR-A | V4, SF |
| P 514693 | 155 | .2 | 126 | 38 | <5 | .2 | | GR-A-SW | V3, S1 |
| P 514862 | 41 | 1.1 | 324 | 2862 | <5 | 7.7 | | GR-A-SW | V4, Qz |
| P 514775 | 115 | .5 | 162 | 84 | 51 | .2 | | GR-B | VOZ, SF |
| P 514776 | 461 | 1.1 | 606 | 1100 | 37 | 6.2 | Pb:49 | GR-B | VOZ, SF |
| P 514752 * | 17 | 1.4 | 600 | 2220 | 23 | 5.3 | Pb:87 | GR-B | V4, SF |
| P 514753 * | 17 | 1.0 | 207 | 2612 | <5 | 12.4 | | GR-B | V4, VOZ |
| P 514755 * | 79 | 2.0 | 1466 | 3033 | <5 | 7.3 | | GR-B | V4, SF |
| P 514756 * | 176 | .8 | 260 | 341 | 618 | .9 | | GR-B | V4, S1, SF |
| P 514757 | 17 | 1.2 | 338 | 5075 | <5 | 12.9 | | GR-B | V4, SF |
| P 514759 | 346 | 2.2 | 890 | 191 | 132 | .7 | | GR-B | SL, SF |
| P 514770 | <5 | 1.0 | 181 | 3301 | <5 | 8.2 | Mo:440 | GR-B(W) | V4, S1, SF |
| P 514782 | <5 | -- | 39 | 47 | 6 | -- | Ni:1098-Cr:1313 | SW-EXT | V4, Po, MT |
| P 514783 | 94 | .8 | 455 | 485 | 21 | 1.8 | | SW-EXT | SL, Ci, Po |
| P 514784 | 12 | .6 | 1115 | 199 | <5 | .7 | | SW-EXT | V4, S1 |

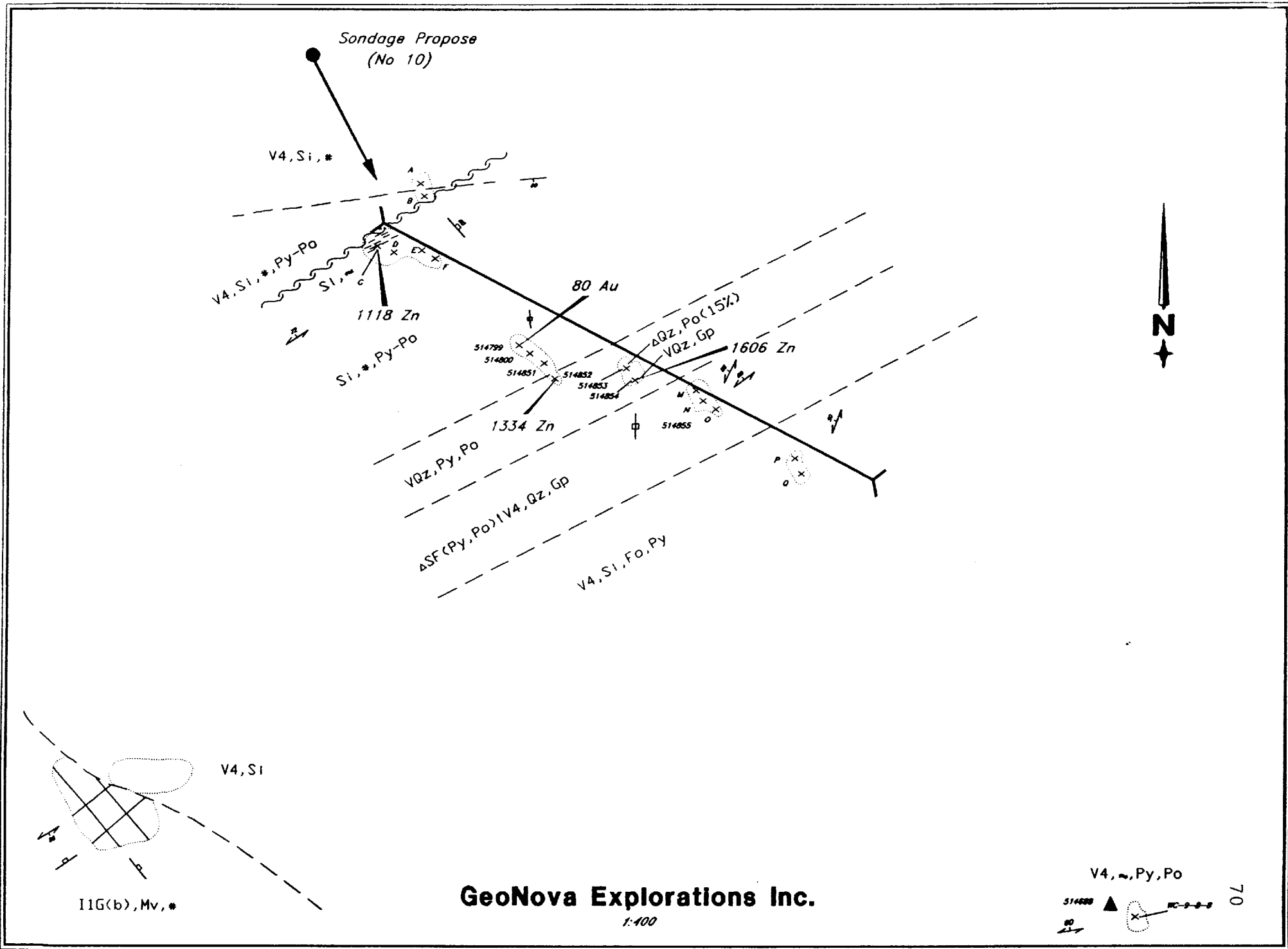
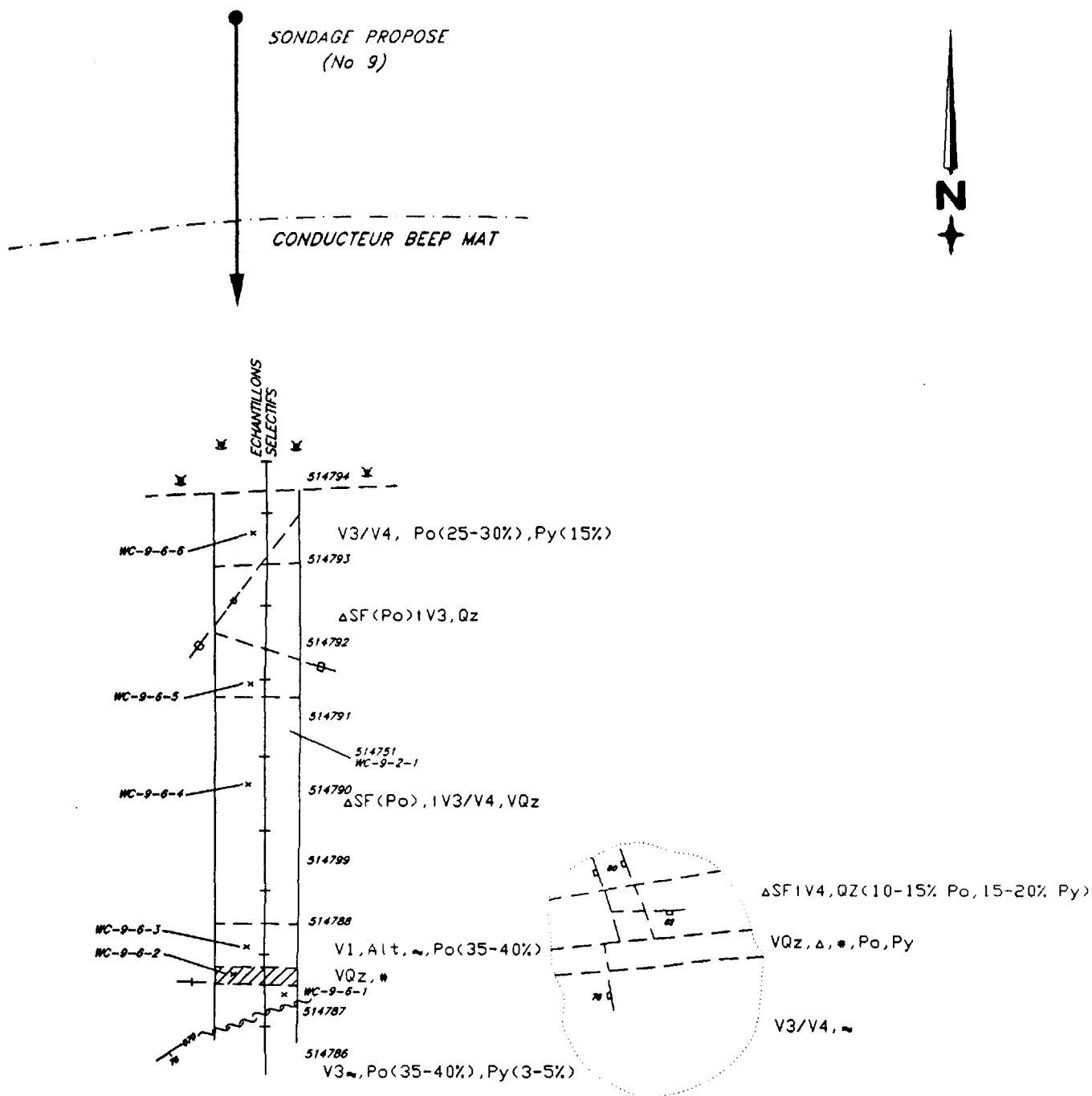


Figure 13: Bloc Dejour S-0
 Breche de Sulfures-Tranchee 1



GeoNova Explorations Inc.

1:200

Figure 14: Dejour S-O-Breche de Sulfures
Tranchee No 2

- baignent dans une zone de pyrrhotine massive (12m);
- 3) une bande felsique contenant 35–40% Pyrrhotine (1.5m);
 - 4) une veine de quartz (0.5 mètre); et
 - 5) une zone de basalte cisailé minéralisé contenant 35–40% Pyrrhotine, 3–5% Pyrite et recoupé au sud par une faille NE (070 76° SE).

La zone minéralisée disparaît sous une zone marécageuse au nord et l'utilisation du Beep Mat a permis d'étendre la zone conductrice sur presque 10 mètres. Aucune valeur anormale en Zn et Au n'ont été obtenues le long de cette tranchée mais, dans la tranchée 1, les valeurs anormales se retrouvent au nord de la zone de brèche.

La brèche a été retracée à environ 50 mètres au nord-est de la tranchée 2, où des fractures tardives contiennent des placages de chalcopyrite. Cet affleurement est bordé au nord par une faille EW (095 82SO) qui déplace la zone minéralisée de façon dextre d'environ 200 mètres.

Jusqu'à 2 km à l'ouest de la tranchée 2, des valeurs anormales en métaux de base atteignant 2873 ppm Zn et 1396 ppm Cu ont été obtenues.

Grid A

L'horizon de komatiite altéré avec alternance de zones felsiques a été retracé au sud-ouest du grid A. Ces horizons fortement déformés et recoupés de nombreuses failles, sont traversés de veines et veinules de quartz-sulfures (Po-Py) qui ont retourné jusqu'à 2062 ppm Zn. Une zone silicifiée minéralisée (Py-Po) mise à jour avec le Beep Mat à environ 750 au sud-ouest du grid A, a retourné une valeur anormale de 155 ppb Au.

Les principales structures qui recoupent ce secteur sont soit concordantes et orientées au NE (065 70° NO) où recoupent les lithologies avec des orientations NO (120 50NE) et NS (350-020 90). Des failles E-O (080-100°) à pendage de 50-75° N recoupent les basaltes et gabbros au nord du grid A.

Grid B

Une zone conductrice orientée approximativement est-ouest a été mise à jour dans le secteur du grid B (Figure 15). Cette zone minéralisée coïncide avec un conducteur EM-VLF décelé en 1989. Elle est associée avec un horizon ultramafique à actinote injecté de bandes felsiques et de veines de quartz-sulfure en bandes parallèles à la schistosité, et à pendage de 45-50° vers le nord. Une valeur de 16.8 ppm Ag avait été obtenue le long de cette bande lors de l'échantillonnage de 1989. En 1994, des valeurs de 115 ppb Au et 346 ppb Au ont été obtenues 400 mètres à l'ouest et 451 ppb Au à 200 mètres plus à l'ouest.

A 60 mètres au sud de cette zone minéralisée, une zone de failles ENE (080 35-40° NO) sépare l'unité ultramafique du nord d'une large veine de quartz-pyrite injectée au contact d'une zone felsique. Une valeur de 5075 ppm Zn a été obtenue dans la veine de quartz et un bloc détaché de komatiite fracturé et situé au sud de cette zone à retourné 2220 ppm Zn. Les unités situées au sud de la faille ENE sont recoupées par des failles NE (045 60-70 NO) et des failles NO à pendage sub-vertical.

Deux (2) blocs erratiques de roches ultramafiques altérées, fracturées et minéralisées en Py-Po ont retourné 176 ppb Au, à 700 mètres au sud-ouest du grid B,

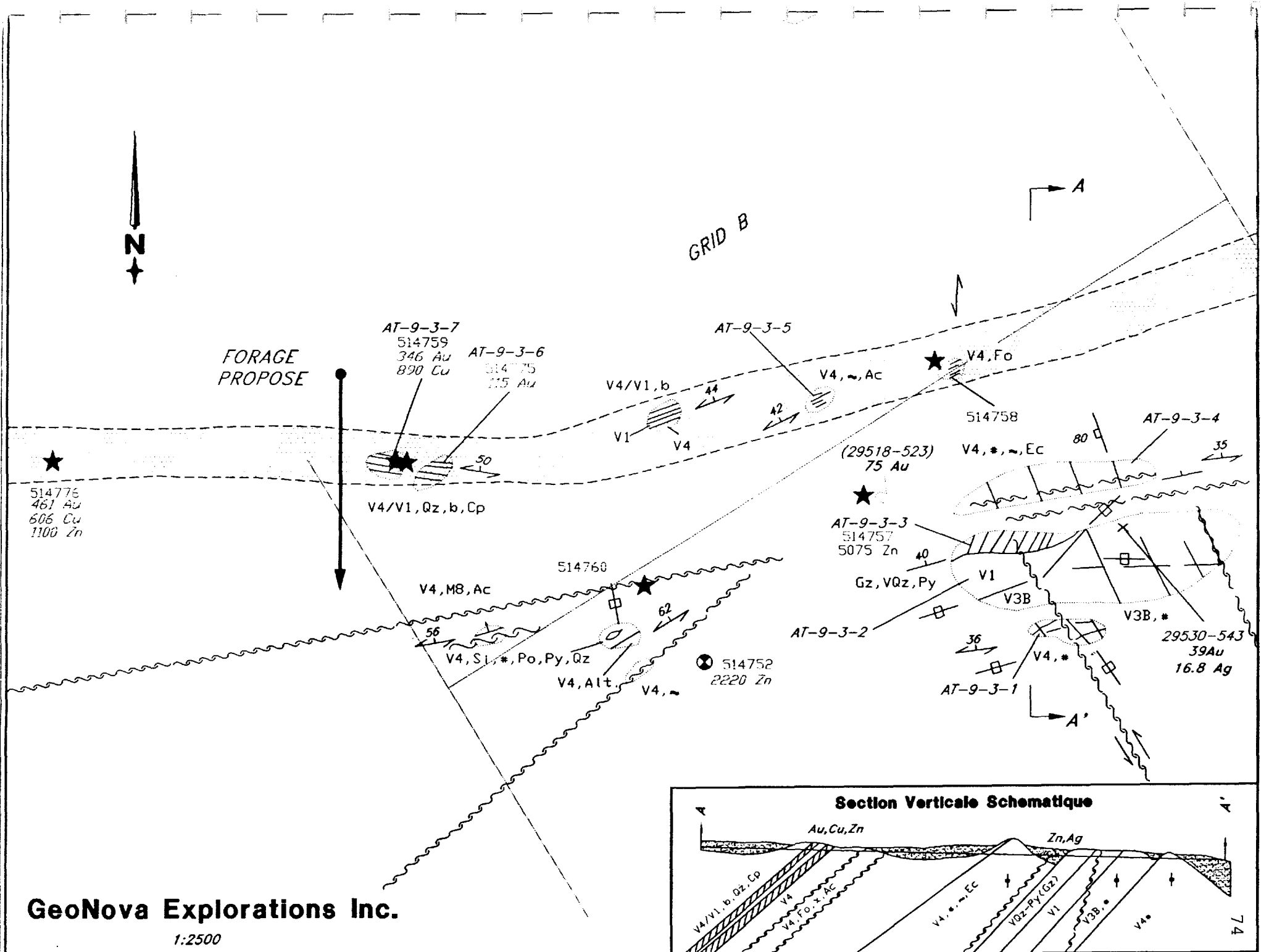


Figure 15: Geologie et Structure-Grid B

et 79 ppb Au, 1466 ppm Cu et 3033 ppm Zn à 850 mètres au SSO du grid B.

Extrémité sud-ouest

Les unités qui affleurent dans cette partie de la propriété comprennent l'unité de komatiite, des basaltes fracturés, des bandes felsiques, quelques intrusions granitiques et des injections de quartz-sulfures associées aux zones de failles. L'unité de komatiite passe de massive avec texture spinifex, à foliée, fracturée et très altérée. Une séquence de komatiite litée alternant avec des bandes de volcanites felsiques et d'intrusions granitiques se retrouvent au sud près du contact avec le granite.

Les nombreuses failles qui recoupent les unités du secteur reflètent la segmentation des diverses unités. Les failles concordantes d'orientation NE (045–060°) avec pendage de 50–70° NO sont bien développées le long des unités cisillées ou au contact entre les unités. Les zones de dilatation le long de ces failles sont injectées de veines de quartz-sulfures, en bandes. Les failles discordantes sont principalement orientées NNO à NNE (340–025°) avec pendages variant de 60° est à 80° ouest, et ENE à ESE (075–100°) avec pendages de 45–60° nord.

La meilleure valeur d'or obtenue dans ce secteur très déformé a été de 94 ppb Au associée à une zone silicifiée. A 30 mètres au sud, une zone ultramafique altérée–fracturée a retourné des valeurs anormales de 1098 ppm Ni et 1313 ppm Cr. A environ 200 mètres au nord, un échantillon prélevé dans une autre zone de faille injectée de quartz-sulfures à retourné 1115 ppm Cu.

6.8 Sondages

A l'automne 1994, une campagne de six (6) sondages courts (GE-94-1 à GE-94-6) totalisant 240.2 mètres a été exécutée sur la propriété Eastmain, par Forage Benoit de Val d'Or. Cinq de ces sondages ont été effectués sur l'indice Exko (GE-94-1 à 3) et l'indice du lac Jim Grid G (GE-94-4 et 5) du bloc Dejour, et 1 sondage (GE-94-6) a investigué une anomalie PP sur le bloc Main. Les paramètres des sondages sont résumés au Tableau 7. La mobilisation de la foreuse et les déplacements entre les sites de forage ont été rendu possible grâce à l'utilisation de l'hélicoptère.

Sondage GE-94-1

Ce sondage a été implanté sur le bloc Dejour NE à 10 mètres au nord du contact nord de l'indice Exko et foré à 160° avec une plongée de 46° pour un total de 48.16 mètres (Figure 11 et Figure 16). Il a investigué la zone aurifère de l'indice Exko à faible profondeur. Ce sondage a recoupé les unités suivantes:

- 2.95 – 7.18m: Basalte folié fracturé
- * 7.18 – 10.45m: Contact basalte/roche ultramafique minéralisé
- * 10.45 – 13.32m: Pyroxénite silicifiée minéralisée
- 13.32 – 14.20m: Pyroxénite massive
- 14.20 – 32.00m: Komatiite massive (magnétite)
- 32.00 – 39.50m: Komatiite altérée (talc)
- 39.50 – 42.67m: Zone silicifiée
- 42.67 – 43.72m: Zone graphiteuse-minéralisée (conducteur)
- 43.72 – 48.16m: Porphyre de feldspath folié, minéralisé

La minéralisation est constituée principalement de pyrrhotine-pyrite associée à des

TABLEAU 7

PROJET EASTMAIN - PARAMETRES TECHNIQUES DES SONDAGES 1994

| Sondage # | Localisation | Claim # | Direction | Pendage | Mort-terrain | Longueur |
|-----------|-----------------------|----------|-----------|---------|--------------|-------------------------------|
| GE-94-1 | Exko L0+70W/0+47N | 469921-3 | 160° | -46° | 2.95m | 48.16 |
| GE-94-2 | Exko L0+75W/0+20N | 469921-3 | 160° | -47° | 6.71m | 15.24 |
| GE-94-3 | Exko L0+75W/0+20N | 469921-3 | 160° | -60° | 5.49m | 44.20 |
| GE-94-4 | Grid H L73+55E/5++35N | 469948-2 | 142° | -47° | 3.66m | 44.20 |
| GE-94-5 | Grid H 73+67E/4+88N | 469948-2 | 142° | -47° | 6.10m | 44.20 |
| GE-94-6 | Lac GL | 5067323 | 145° | -47° | 10.36m | 44.20 |
| | | | | | | Total 240.2m (787.9 pieds) |

Microfilm

PAGE DE DIMENSION HORS STANDARD

MICROFILMÉE SUR 35 MM ET

POSITIONNÉE À LA SUITE DES

PRÉSENTES PAGES STANDARDS

Numérique

PAGE DE DIMENSION HORS STANDARD

NUMÉRISÉE ET POSITIONNÉE À LA

SUITE DES PRÉSENTES PAGES STANDARDS

veinules de quartz-carbonate, comme remplissage de fractures. Il y a des quantités variables de magnétite (1-5%) et des quantités mineures de chalcopryrite et d'arsénopyrite. Dans la zone minéralisée, de 7.18 à 13.32m, il y a jusqu'à 20-25% de veinules sulfureuses avec des veinules de pyrrhotine massive variant de 1 à 8 cm d'épaisseur et de petits lits riches en graphite qui définissent une structure en bandes. Une intersection minéralisée titrant 1638 ppb Au/4.25m a été obtenue de 7.60 à 11.85m incluant une intersection titrant 5.25 g/t Au sur 0.65 mètre. Le détail des analyses s'établit comme suit:

| De (m) | A(m) | Largeur (m) | Au ppb | Au g/t | Ag ppm | As ppm |
|---------|-------|-------------|-----------|-----------|-----------|-----------|
| 7.18 | 7.60 | .42 | 286 | | 0.7 | 1696 |
| 7.60 | 8.20 | .60 | 1462 | 1.10 | 1.2 | 1496 |
| 8.20 | 8.88 | .68 | 217 | | 0.8 | 217 |
| 8.88 | 9.25 | .37 | 1677 | 1.54 | 0.9 | 85 |
| 9.25 | 9.64 | .39 | 892 | | 1.2 | 141 |
| 9.64 | 10.45 | .81 | 551 | | 1.3 | 47 |
| 10.45 | 10.80 | .35 | 959 | | 1.3 | <5 |
| * 10.80 | 11.45 | .65 | 5242 | 5.25 | 0.9 | 131 |
| 11.45 | 11.85 | .40 | 1951 | 0.55 | 0.7 | 370 |
| 11.85 | 13.00 | 1.15 | 217 | | 0.4 | 10 |

Sur le contact nord de la zone minéralisée, la veine de quartz-sulfures contient une faible quantité d'arsénopyrite et a retourné 1598 ppm As sur une épaisseur de 1.02 mètre. Cette zone à arsénopyrite a été retracée en affleurement jusqu'à 25-30m au sud-ouest de l'indice principal. La zone aurifère devrait se retrouver au sud de cette dernière sous une couverture de mort-terrain plus épaisse.

La zone silicifiée recoupée sur une épaisseur de 3.17 mètres (39.5 à 42.67m), contient jusqu'à 5-7% de veinules de quartz-pyrite ou chlorite-pyrite ayant retourné

jusqu'à 60 ppb Au sur 0.40 mètre. La zone graphiteuse qui suit, (42.67 à 43.72m), est très silicifiée et contient jusqu'à 10% de pyrrhotine dans les fractures, et retourna une intersection titrant 351 ppb Au, 1114 ppm Zn sur 0.65 mètre. Plus au sud, cette zone est en contact avec un large porphyre de feldspath folié contenant jusqu'à 3–5% de pyrite dans les fractures. Une valeur anormale de 72 ppb Au sur 0.48 mètre a été obtenue au contact et associée à une zone contenant environ 5% de pyrite disséminée. Ce sondage a été arrêté à 48.16 mètres dû à un manque de tiges de sondage disponible.

Sondage GE-94-2

Ce sondage a été implanté à environ 20 mètres au SSE du sondage GE-94-1, à la ligne 0+75W/0+20N, et foré à 160° avec une plongée de 47° (Figure 11 et Figure 16). Le sondage a été arrêté à 15.24m après avoir recoupé une zone de sable sur environ 3 mètres. Ce trou avait pour but d'investiguer une anomalie MaxMin décelée au sud de l'indice Exko. Il recoupa successivement une komatiite massive à magnétite (6.71 à 12.5m), une zone altérée grise-verdâtre à talc-carbonate-magnétite (12.5 à 13.11m) et une pyroxénite grise (13.11 à 15.24m).

Sondage GE-94-3

Ce sondage a été implanté au même site que le sondage GE-94-2, sur la ligne 0+75W/station 0+20N, et a été foré à 160° avec une plongée de 60° (Figure 11 et Figure 16). Ce forage qui a investigué une anomalie MaxMin orientée ENE et centrée au sud de l'indice Exko, a totalisé 44.20 mètres. Ce sondage a recoupé les unités suivantes:

5.49 – 16.00m: Komatiite à magnétite

16.00 – 25.70m: Pyroxénite massive

- * 25.70 – 26.80m: Zone minéralisée graphiteuse (GP-Po) – Conducteur fort
- 26.80 – 41.50m: Porphyre de feldspath silicifié
- * 41.50 – 44.20m: Zone minéralisée graphiteuse (GP-Po) – Conducteur fort

L'unité de pyroxénite est localement fracturée et traversée de veinules de quartz-carbonate-pyrite-pyrrhotine, variant de 1 à 3mm, et où des valeurs anormales en chrome (Cr) et en Arsenic (As) indiquent la présence de faible quantité de fuschite et d'arsénopyrite. Une intersection titrant 17 ppb Au, 163 ppm As et 1307 ppm Cr/1.55 mètre a été obtenue de 15.26 à 16.81m et une intersection titrant 146 ppb Au, 945 ppm As et 1235 ppm Cr/0.43 mètre a été recoupée de 19.50 à 19.93m.

La zone conductrice (MaxMin) qui s'étend dans une direction ENE, immédiatement au sud de l'indice Exko est causée par 2 bandes riches en graphite-pyrrhotine espacées d'environ 14 mètres. La première bande (25.7 – 26.80m) d'une épaisseur de 1.1 mètre est constituée de fragments de chert et de fragments graphiteux baignant dans la pyrrhotine massive. Cette zone a retourné 383 ppb Au, 1.2 ppm Ag, 1060 ppm Zn/sur 1.10 mètre.

Le porphyre de feldspath est occasionnellement plus fracturé et silicifié, et traversé de veinules de quartz-pyrite-pyrrhotine, mais aucune valeur significative n'a été obtenue.

La deuxième zone conductrice a été recoupée sur 2.7 mètres (41.5 à 44.20m) et est constituée d'une alternance de zones de brèche à sulfure (Po) où la pyrrhotine entoure les fragments graphiteux, avec des bandes cherteuses. Cette zone est recoupée par des veinules de quartz-pyrite-pyrrhotine, de 5mm à 3cm d'épaisseur. Cette zone minéralisée a retourné une intersection avec des valeurs anormales de 876 ppm Zn/1.96m

(41.50 à 42.46m), suivie d'une intersection avec des valeurs anormales de 85 ppb Au, 763 ppm As/.68m (42.46 à 43.14m). Ce sondage a été arrêté dans cette zone minéralisée par manque de tiges de sondage.

Ces deux zones minéralisées sont constituées de zones de brèche recoupant l'horizon de komatiite avec un pendage de 40–45° vers le nord. Un sondage plus long devrait investiguer l'extension en profondeur de la zone minéralisée aurifère (Exko), l'extension en profondeur de ces 2 brèches à sulfures et le contact sud de la 2e zone de brèche.

Sondage GE-94-4

Ce sondage a été foré sur le bloc Dejour NE, indice du lac Jim, dans le but d'investiguer sur toute sa largeur une zone minéralisée en pyrite orientée ENE, et qui coïncide avec une anomalie MaxMin (MM-7) avec coïncidence magnétique (MG-10). Un creux magnétique s'étend entre les lignes 72E et L76E du côté sud de l'indice. La zone minéralisée exposée dans une ancienne tranchée, a été étendue au nord-est lors du levé au Beep Mat. A environ 20 mètres au nord-est de cette dernière, l'ouverture d'une tranchée a permis d'exposer une alternance de bandes de pyrite massive et de bandes de quartz-pyrite en contact de faille au nord.

Le sondage GE-94-4 a été implanté à la station 73+55E/5+35N et foré à 142° avec une plongée de 47°, pour une longueur totale de 44.20 mètres (Figure 12 et Figure 17). Le sondage a recoupé les unités suivantes:

3.66 – 9.76m: Porphyre de feldspath folié

Microfilm

PAGE DE DIMENSION HORS STANDARD

MICROFILMÉE SUR 35 MM ET

POSITIONNÉE À LA SUITE DES

PRÉSENTES PAGES STANDARDS

Numérique

PAGE DE DIMENSION HORS STANDARD

NUMÉRISÉE ET POSITIONNÉE À LA

SUITE DES PRÉSENTES PAGES STANDARDS

- * 9.76 – 14.37m: Pyrite massive/quartz-pyrite/V4, silicifié
- 14.37 – 16.82m: Basalte minéralisé
- 16.82 – 31.60m: Basalte massif, altéré
- 31.60 – 41.35m: Tonalite
- 41.35 – 44.20m: Basalte massif

La zone minéralisée principale a été recoupée sur une largeur de 4.61 mètres (9.76 et 14.37m) le long du trou, et consiste en une alternance de bandes de pyrite massive, de bandes noires (graphiteuses ?) silicifiées et chloritisées. La pyrite est à granulométrie grossière, bréchifiée et remplacée par la pyrrhotine. Les bandes riches en pyrite sont injectées de veines de quartz-pyrite variant de 1 à 50 cm d'épaisseur. Aucune valeur aurifère n'a été obtenue. Des valeurs anormales en argent (<1.7 ppm), lantane (<129 ppm) et tungstène (<181 ppm) sont associées aux zones de pyrite massive. Les veinules tardives de Quartz-Pyrite-Pyrrhotine ont retourné uniquement des valeurs anormales en argent. Une petite zone minéralisée au contact entre le basalte et l'intrusif tonalitique a retourné une intersection avec valeurs anormales de 1861 ppm Zn, 2.3 ppm Ag, 10.5 ppm Cd, 37 ppm La, 149 ppm W sur une épaisseur de 1.35 mètre. Au contact sud de l'intrusif, une intersection titrant 61 ppb Au, 731 ppm Zn, 1.9 ppm Ag sur 0.35m, a été obtenue dans une zone de basalte altéré recoupé de veinules de quartz-carbonate-pyrite-pyrrhotine.

Sondage GE-94-5

Ce sondage a été implanté à la station 73+67E/4+88N, et foré à 142° avec une plongée à 47° sur une longueur totale de 44.20 mètres (Figure 12 et Figure 17). Ce sondage a été foré à 50 mètres au SSE du sondage GE-94-4 et a investigué l'extension

NE d'une zone de cisaillement minéralisée d'orientation ENE observée en affleurement à environ 60 mètres au sud-ouest. Cette zone de cisaillement s'étend dans une direction ENE à environ 25 mètres au sud de l'indice principal, et disparaît sous une zone marécageuse. Les unités recoupées dans ce sondage sont:

- 6.1 – 31.5m: Basalte massif injecté d'intrusion porphyrique et de veines de quartz-sulfures
- 31.5 – 38.20m: Pyroxénite massive
- 38.2 – 44.20m: Gabbro massif

La minéralisation recoupée dans ce sondage consiste en de minces veinules de Quartz-Pyrrhotine-Pyrite jusqu'à 20 cm d'épaisseur, recoupant le basalte. Aucune valeur aurifère n'a été obtenue.

Sondage GE-94-6

Le sondage GE-94-6 a été foré sur le bloc Main, au nord-est du lac GL, et a investigué une anomalie de polarisation provoquée (PP-12) qui s'étend entre la ligne 11+00W et l'extrémité NE de la grille de lignes en passant par l'indice GL à la ligne 18E.

Ce sondage a été implanté à la station 1+50N/L4+00E et foré à 145° avec une plongée de 47° pour une longueur totale de 44.20 mètres (Figure 7 et Figure 18). Il a recoupé les unités suivantes:

- 10.50 – 23.0m: Basalte/zone felsique laminée (chert) – zone minéralisée
- 23.0 – 24.60m: Porphyre feldspathique folié
- 24.60 – 44.20m: Basalte massif

La minéralisation est constituée de veinules de quartz-pyrite associée à des

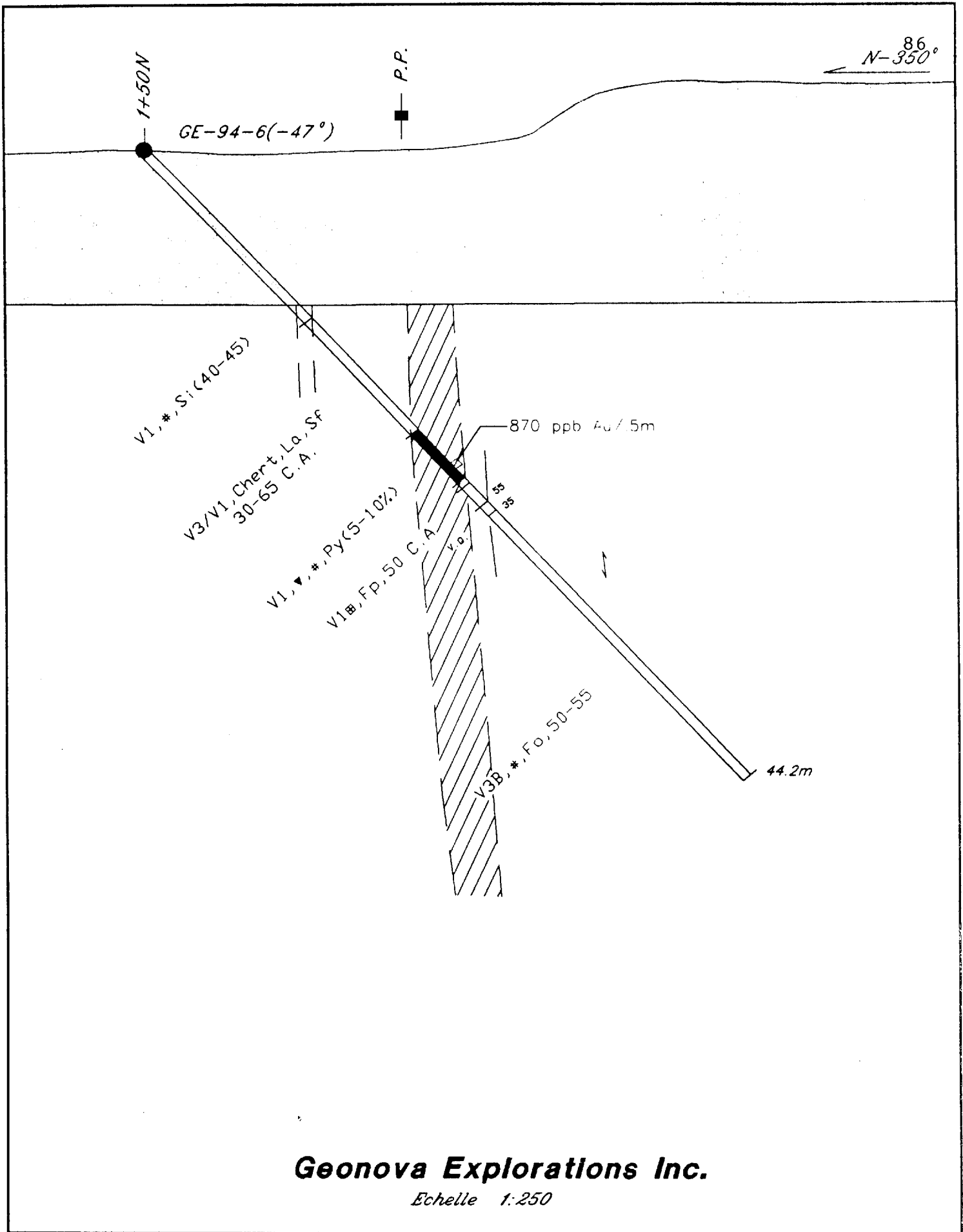


Figure 18: Section de Sondage Lac GL-Bloc MAIN

injections felsiques dans l'unité basaltique. Elle comprend principalement de la pyrite qui est généralement concentrée aux bordures des veines et veinules de quartz ou autour de fragments de veines dans des zones de brèche. La zone minéralisée principale a été recoupée sur une épaisseur de 3.26 mètres (19.74–23.00m) et des valeurs anormales de 50–870 ppb Au ont été obtenues, incluant une intersection ayant titré 870 ppb Au/.50 mètres.

7.0 CONCLUSIONS

Les travaux effectués par GéoNova Explorations inc. sur la propriété Eastmain en 1994 incluent 1) une fusion et réinterprétation par Aérodat de deux levés aéroportés adjacents exécutés en 1989 et 1990 et couvrant les blocs Dejour et Main; 2) une étude des linéaments par MIR Télédétection; 3) une compilation des données disponibles; 4) l'établissement d'une ligne de base continue sur les blocs Dejour et Main et de trois (3) grilles de lignes couvrant les indices Exko, Dejour NE et Colline Noire pour un total de 183 km; 5) un levé électromagnétique (MaxMin) couvrant les grilles Exko et Colline Noire, un levé de polarisation provoquée sur la grille Main, accompagnés d'un levé magnétique sur l'ensemble des grilles; 6) la prospection auBeep Mat sur l'ensemble de la propriété suivie d'un levé géologique de détail; 7) une campagne de six (6) sondages courts (GE-94-1 à GE-94-6) totalisant 240.20 mètres, et ayant investigué l'indice Exko et l'indice du lac Jim du bloc Dejour et l'anomalie de polarisation provoquée (PP-12) du bloc Main.

Colline Noire

Deux zones conductrices (EM-Mag) sub-parallèles et espacées de 600 à 800 mètres s'étendent dans une direction NE sur ce bloc de claims. Elles correspondent à

deux zones minéralisées en pyrrhotine-pyrite associées à des veines de quartz et mise en place dans des fractures d'horizons volcaniques felsiques à ultramafiques aux contacts entre la séquence volcanique et les sédiments, au sud. Les zones minéralisées ont des pendages variant de 30 à 50° vers le sud-est pour la zone nord, et variant de 50 à 75° sud-est pour la zone sud.

Les unités sont recoupées par trois (3) orientations majeures de failles qui définissent des blocs triangulaires limités par des failles NE, concordantes, et à pendages SE, et des failles discordantes de direction EW, à pendages variant de 70° nord à 75° sud et des failles NS à pendage de 60° est à sub-verticales. Des évidences de déplacements sub-verticaux ont été observés le long de ces failles.

Lors de l'échantillonnage de la zone minéralisée du nord les meilleures valeurs ont été obtenues sur le segment entre les lignes 4N et 20N et atteignent 50 ppb Au, 3.9 ppm Ag, 2467 ppm Cu, 6231 ppm Zn, 384 ppm W. Elles sont regroupées principalement entre les lignes 12N et 16N où les unités sont recoupées par de nombreuses failles dans plusieurs directions et où il y a évidence de pli sur un court segment de la zone minéralisée.

Un conducteur magnétique associé sporadiquement à de courts segments de conducteurs EM traverse le centre du bloc en passant par le sommet de la montagne où il coïncide avec une unité de roche ultramafique. Un pli-faille à la ligne 24N indique du sectionnement et glissement de l'unité ultramafique le long de failles NE. Un conducteur EM (MM-19) d'orientation NE a été décelé à 450 mètres au sud de la zone minéralisée du sud.

Une faille est-ouest avec déplacement senestre de 400 mètres de la zone minéralisée est mise en évidence dans la partie nord du bloc. Une large zone à creux magnétique est présente au sud de cette structure. Au nord de ce secteur la couche de mort-terrain est plus épaisse et une investigation par forage de cette zone sera nécessaire.

Bloc Main

Une série de zones minéralisées associées à des structures concordantes d'orientation NE au contact d'horizons felsiques et ultramafiques injectés de veines de quartz passe au sud des lacs Sandwich et GL et coïncide avec des anomalies PP. Ces zones minéralisées principalement constituées de quartz-pyrrhotine-pyrite sont présentes sur une largeur de 350 à 800 mètres et pendent vers le nord dans les secteurs sud-ouest et vers le sud à partir de l'indice GL. Quatre (4) orientations de failles suivant 2 systèmes orthogonaux ont été déterminés. Les failles NE sont concordantes et pendent vers le nord, au sud du lac GL et vers le sud dans la partie nord. Des failles discordantes EO et à pendage de 60-70° nord segmentent les zones minéralisées conductrices. Les failles NS à pendage sub-vertical définissent avec les 2 premiers types de failles, des blocs triangulaires. Une faille ONO (120°) à pendage sud produit un déplacement dextre de 300 mètres des zones conductrices au nord du lac Rond. Ces failles peuvent être le site de minéralisations aurifères.

Les meilleures valeurs aurifères obtenues lors de l'échantillonnage proviennent de blocs erratiques situés au nord-ouest et sud-est des zones minéralisées. Suivant la direction glaciaire, la source de ces blocs pourrait être au NE du bloc de claims.

Une valeur anormale en or (315 ppb) a été obtenue dans une zone felsique au sud-est du lac GL. Des blocs erratiques, à 200–300m au nord-ouest des zones conductrices et correspondant à des blocs de basaltes injectés de veines de quartz-sulfures (Py–Po), ont retourné des valeurs anormales en or (112–371 ppb), entre la ligne 8W et jusque dans le bloc B. Des valeurs de 148 ppb Au et 267 ppb Au et des valeurs de 1270 ppm Cu et 601 ppm W ont été obtenues dans un champs de blocs dans la partie sud-est du bloc de claims. Au sud-est du lac GL, 5.2 ppm Ag et 152 ppm W ont été obtenus dans un bloc de basaltes. Les blocs prélevés dans l'entourage des zones minéralisées au NE du lac Sandwich ont retourné 17–32 ppb Au, 1.5–3.0 ppm Ag, 513–1117 ppm Cu et 265–2666 ppm Zn, correspondant aux valeurs obtenues dans les sondages.

Un sondage (GE–94–6) a investigué l'anomalie PP–12 sur la ligne 4E et recoupe une alternance de zones felsiques localement bréchiques et minéralisées qui a retourné une intersection de 870 ppb Au/0.5m.

Dejour

Les deux zones minéralisées s'étendant au nord et au sud du bloc Dejour ont été suivies et échantillonnées lors des travaux de prospection au Beep Mat et de cartographie géologique et structurale. Des valeurs anormales atteignant 3300 ppm Cu, ^{0.33% Cu} 3940 ppm Zn, ^{0.39% Zn} 441 ppm As, 7.5 ppm Ag ont été obtenues dans les échantillons prélevés le long de la zone minéralisée du nord. Des valeurs atteignant 16.6 ppm Cd sont associées aux valeurs anormales en zinc et dont les quantités sont directement proportionnelles. Localement, les valeurs ont atteint 1152 ppm Ni, 371 ppm Mo et 154

ppm La. Une zone de brèche à sulfure a été mise à jour à l'extrémité ouest de cette bande, où deux (2) tranchées ont permis d'exposer une zone silicifiée, minéralisée et localement bréchifiée sur des épaisseurs de 50 mètres. La meilleure valeur aurifère obtenue au nord de la brèche, dans la tranchée 1 fut de 80 ppb Au.

La zone minéralisée du sud a retourné des valeurs anormales en or et or-arsenic sur une distance d'environ 18 km, entre le grid B et une zone mise à jour au sud-ouest de la Colline NE. Sur le grid B, au sud-ouest, un conducteur VLF coïncide avec une zone de failles est-ouest qui a retourné des valeurs anormales de 176 ppb Au-461 ppb Au sur une distance d'environ 200 mètres. Une zone de fractures minéralisées de direction EW située environ 100 mètres au sud a retourné jusqu'à 1466 ppm Cu, 5075 ppm Zn, 618 ppm As, et une valeur de 16.8 ppm Ag.

Les meilleures valeurs d'or-arsenic ont été obtenues sur l'indice Exko où un échantillon avait titré 3550 ppb Au en 1989. La zone minéralisée a été retracée jusqu'à 50 mètres au sud-ouest où une veine de quartz-pyrrhotine-arsénopyrite a retourné jusqu'à 3.84 g/t Au et 3160 ppm As. Des valeurs anormales de 185-258 ppb Au et 1925 ppm As ont été obtenues jusqu'à 130 mètre à l'ouest de l'indice principal, dans une zone sub-parallèle. La zone a été retracée jusqu'à 80 mètres au NE où des valeurs de 171-193 ppb Au et 1288 ppm As ont été obtenues. Le sondage GE-94-1 a investigué l'indice Exko à 7 mètres sous la surface et recoupa une intersection minéralisée ayant titré 1638 ppb Au sur une largeur de 4.25 mètres, incluant une intersection de 5.25 g/t Au/0.65 mètre. Une veine de quartz-pyrrhotine-arsénopyrite sur le contact nord a titré 1598 ppm As sur 1.02 mètre. Cette zone minéralisée coïncide avec une faible anomalie

MaxMin située sur l'épaule nord d'une anomalie forte s'étendant dans une direction NNE au sud de l'indice Exko. Cette zone conductrice a été expliquée avec le sondage GE-94-3 qui recoupa deux zones de graphite-pyrrhotine dans l'unité de komatite altérée longeant le contact avec le conglomérat au sud. Des intersections titrant 146 ppb Au, 945 ppm As et 1235 ppm Cr/0.43 mètre et 383 ppb Au, 1.2 ppm Ag, 1060 ppm Zn/1.10 mètre ont été obtenues dans la première et la seconde zone respectivement. Cette zone conductrice n'a pas été traversée complètement par le sondage.

A 3.5 km au NE de l'indice Exko, et le long de son extension NE, une zone de fractures minéralisées dans le basalte a retourné 152 ppb Au et 201 ppb Au. A 7.0 km au NE des valeurs atteignant 60 ppb Au, 2221 ppm As, 2578 ppm Cu et 2.8 ppm Ag ont été obtenues dans des fractures NE recoupant le basalte et l'unité de conglomérat.

Sur la colline à l'extrémité NE du bloc de claim, une zone de faille et de fractures d'orientation NE, coïncidant avec un conducteur MaxMin, a été mise à jour et retourna jusqu'à 134 ppb Au, 7.9 ppb Ag, 8749 ppm Cu et 1798 ppm Zn. Cette zone est déplacée d'environ 250 mètres au nord-ouest.

8.0 RECOMMANDATIONS

Suite aux résultats obtenus lors de la campagne d'exploration menée par GéoNova Explorations en 1994, il est recommandé de poursuivre les travaux par une campagne de sondage sur le bloc Dejour où les meilleurs résultats aurifères ont été obtenus.

Cible 1: Indice Exko

Cinq (5) sondages (#1 à #5) totalisant 625m sont proposés dans l'entourage de

l'indice Exko afin d'investiguer la zone minéralisée sur une distance d'environ 200 mètres et à faible profondeur (25–50m). Des valeurs atteignant 3.5 g/t Au, 17.0 ppm Ag, 1251 ppm Cu, 7051 ppm As ont été obtenues par échantillonnage de surface et une intersection titrant 1638 ppb Au/4.25m incluant 5.25 g/t Au/.65m fut recoupé en sondage à moins de 10 mètres sous la surface. Deux sondages (#6 et #7), totalisant 400m devront investiguer l'extension sud-ouest et l'extension nord-est de cette zone minéralisée.

Cible 2: Grid B

Un sondage (#8), totalisant approximativement 225m est proposé pour investiguer une large zone de failles minéralisées de direction est-ouest dans la partie sud-ouest du bloc. Cette zone a retourné lors de l'échantillonnage de surface 115–346 ppb Au, 16.8 ppm Ag et 5075 ppm Zn.

Cible 3: Zone de brèche

Deux tranchées creusées au nord du bloc Dejour ont permis d'exposer une large zone de brèche riche en pyrrhotine et contenant des placages de chalcopyrite. Deux (2) sondages (#9 et #10) totalisant 250 mètres sont proposés pour investiguer cette zone située au contact entre les granites au nord et la zone minéralisée conductrice du nord.

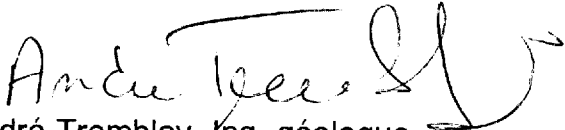
Cible 4: Grille NE

Une anomalie EM de direction est-ouest a été délimitée à l'extrémité nord de la grille NE. Cette zone conductrice correspond à une zone de faille ou de pli-faille le long de la zone minéralisée principale et peut comporter des zones de dilatation importantes pouvant contenir une minéralisation aurifère d'intérêt. Un sondage (#11) totalisant

environ 200 mètres est proposé pour investiguer cette anomalie MaxMin.

Dépendant des résultats obtenus lors de cette campagne de sondages qui permettra de recueillir des informations additionnelles concernant le potentiel des structures investigués, des structures similaires présentes sur les blocs Main et Colline Noire devront être vérifiées par sondages.

Décembre 1994


André Tremblay, Ing. géologue

PROGRAMME DE SONDAGES

BUDGET

| | | |
|-------------------------------|---------|----------------|
| Forages | | |
| Mobilisation-Démobilisation | 9,500 | |
| Contrat (1,500m @ \$68.40) | 102,600 | |
| Hébergement et nourriture | 18,700 | 130,800 |
| Transport hélicopté | | |
| Contrat (95 hrs @ \$575./hr) | 54,625 | |
| Hébergement et nourriture | 6,250 | |
| Transport de carburant | 2,000 | |
| Carburant (70 barils @ \$118) | 8,265 | 71,140 |
| Supervision | | |
| Géologie | 12,000 | |
| Hébergement et nourriture | 2,200 | |
| Achat et location | 4,000 | 18,200 |
| Analyses | | |
| 450 échantillons @ \$15/éch. | 6,750 | |
| Transport | 750 | 7,500 |
| Rapport et dessin | | 8,210 |
| Sous-total | | 235,850 |
| Administration 10% | | 23,600 |
| TOTAL | | 259,450 |

ANNEXE 1

LISTE DES ECHANTILLONS ANALYSES (Géologie)

LISTE DES ECHANTILLONS ANALYSES - GEOLOGIE

| # Analyse | # Echantillon | Bloc | Au ppb | Ag ppm | As ppm | Cu ppm | Zn ppm | Autres ppm | Remarques |
|-----------|---------------|------------|--------|--------|--------|--------|--------|-----------------------|----------------------|
| 514705 | AT-8-21-1 | DNE-GDN | <5 | <0.2 | 6 | 34 | 42 | | I3A |
| 514706 | AT-8-21-2 | DNE-GDN | <5 | <0.2 | <5 | 35 | 33 | | I3A, #, = |
| 514707 | AT-8-21-3 | DNE-GDN | <5 | <0.2 | <5 | 6 | 24 | | V3B/IIG/dl1 |
| 514708 | AT-8-21-4 | DNE-GDN | <5 | <0.2 | <5 | 186 | 29 | | I3A, =, #, VQz Py |
| 514709 | AT-8-21-5 | DNE-GDN | <5 | <0.2 | 30 | 26 | 28 | | V3B, =, Qz |
| 514710 | AT-8-21-6 | DNE-GDN | <5 | <0.2 | 19 | 70 | 30 | | V3B, I3A |
| 514711 | AT-8-21-7 | DNE-GDN | 373 | 1.1 | >10000 | 116 | 64 | >10000 As | V4, =, #, Fu, Py 3% |
| 514712 | FC-8-23-1 | M-LS | 24 | 1.0 | 31 | 537 | 1854 | | V4, Po-Py |
| 514713 | FC-8-27-1 | D-E | 7 | 0.5 | 26 | 14 | 26 | | V4, Po-Py |
| 514714 | WC-8-27-1 | DNE-GE | <5 | 0.4 | 58 | 32 | 94 | 2440 ppm (Cr) | V4, Po-Py |
| 514715 | WC-8-27-1A | DNE-GE | 8 | 0.8 | <5 | 164 | 79 | | V4, Po-Py |
| 514716 | WC-8-27-1B | DNE-GE | <5 | 0.2 | 13 | 57 | 90 | 783 ppm Cr-778 ppm Ni | V3B, #, S1, Fe Py-Po |
| 514717 | WC-8-27-1C | DNE-GE | <5 | 0.2 | <5 | 13 | 52 | | VQz, Po |
| 514718 | WC-8-27-2A | DNE-GE | 36 | 2.1 | 129 | 260 | 605 | | Po-Py |
| 514719 | WC-8-27-2B | DNE-GE | 16 | 1.1 | <5 | 223 | 694 | | V4, Py-Po |
| 514720 | WC-8-31-3 | DNE-EX | <5 | <0.2 | <5 | 222 | 48 | | V4, Py-Po |
| 514721 | WC-9-1-3A | DSO-GA | <5 | <0.2 | <5 | 115 | 28 | | V4, Alt, Po-Py |
| 514722 | WC-9-1-3B | DSO-GA | <5 | <0.2 | <5 | 45 | 21 | | V4, Alt, Po-Py |
| 514723 | WC-9-1-3C | DSO-GA | 6 | <0.2 | <5 | 51 | 17 | | VQz, Po-Py |
| 514724 | FC-9-12-1 | Col. Brulé | <5 | 3.2 | <5 | 533 | 92 | | VQz |

LISTE DES ECHANTILLONS ANALYSES - GEOLOGIE

| # Analyse | # Echantillon | Bloc | Au ppb | Ag ppm | As ppm | Cu ppm | Zn ppm | Autres ppm | Remarques |
|-----------|---------------|---------|--------|--------|--------|--------|--------|------------|---------------------------------|
| 514361 | MD-7-11-3A | CN (NO) | <5 | 0.5 | <5 | 221 | 98 | | V3B, . py (5%) |
| 514362 | MD-7-11-3B | CN (NO) | <5 | 1.7 | <5 | 1837 | 480 | | V3B, . py (3%), cp |
| 514363 | MD-7-11-3C | CN (NO) | 34 | 0.5 | <5 | 234 | 51 | | V4A, po-py (2-5) |
| 514364 | MD-7-11-4 | CN (NO) | <5 | 3.1 | 32 | 500 | 79 | | V4A, po massive-py |
| 514365 | MD-7-11-5 | CN (NO) | <5 | 2.2 | <5 | 208 | 182 | | V4A, py massive |
| 514366 | MD-7-11-6 | CN (NO) | <5 | 0.5 | 7 | 44 | 65 | | V3B, cis/V1 |
| 514367 | FC-7-12-2 | CN (NO) | <5 | 1.9 | <5 | 1250 | 6231 | cd:21.3 | V4/V3B, py, grenat |
| 514368 | FC-7-13-2 | CN (NO) | <5 | 0.3 | 12 | 117 | 50 | | V3B, py |
| 514369 | FC-7-13-3 | CN (NO) | <5 | 0.9 | 8 | 383 | 62 | | V1, cis, GZ, py |
| 514370 | FC-7-13-4 | CN (NO) | <5 | 0.2 | 10 | 143 | 46 | | V1, GZ |
| 514371 | MD-7-13-1B | CN (NO) | <5 | 0.7 | 15 | 607 | 52 | | V4, Alt, GZ, py |
| 514372 | MD-7-13-2 | CN (NO) | <5 | 0.5 | <5 | 449 | 95 | | V1, GZ, py |
| 514373 | MD-7-13-3B | CN-NO | 5 | 0.7 | 8 | 319 | 110 | | V1, cis, GZ |
| 514374 | MD-7-14-1A | CN-NO | <5 | 1.1 | <5 | 849 | 136 | | V4, Alt, py-po |
| 514375 | MD-7-14-1B | CN-NO | <5 | 1.1 | <5 | 452 | 2699 | cd:9.2 | V1, Alt, GZ, py (2%) |
| 514376 | MD-7-14-1C | CN-NO | 15 | 1.2 | <5 | 385 | 191 | | V4, Alt, py, po Str |
| 514377 | MD-7-14-2B | CN-NO | <5 | 1.2 | <5 | 486 | 2944 | cd:8.0 | V3B, GZ, sil |
| 514378 | MD-7-14-3A | CN-NO | <5 | 0.9 | <5 | 384 | 196 | | V4, cis, py (V1, MT) |
| 514379 | MD-7-14-3B | CN-NO | <5 | 2.5 | 112 | 223 | 314 | | I3A, sil, py, po (5%) |
| 514380 | MD-7-14-5 | CN-NO | 29 | 1.0 | 8 | 249 | 811 | | I3A, sil |
| 514381 | MD-7-14-6 | CN-NO | <5 | 0.3 | 13 | 39 | 55 | | I3A, sil, Fol, py |
| 514382 | FC-7-14-1 | CN-NO | 5 | 2.0 | <5 | 931 | 795 | | |
| 514383 | FC-7-14-2 | CN-NO | <5 | 1.4 | <5 | 344 | 1460 | cd:6.2 | |
| 514384 | FC-7-14-3 | CN-NO | 8 | 3.5 | 10 | 145 | 91 | | |
| 514385 | FC-7-14-4 | CN-NO | <5 | 1.5 | <5 | 135 | 26 | | V1 |
| 513386 | FC-7-14-5 | CN-NO | <5 | 0.3 | 12 | 49 | 63 | | I3A, fol, py |
| 514387 | FC-7-14-6 | CN-NO | 55 | 0.6 | <5 | 61 | 49 | | V1/V4, Alt, GZ |
| 514388 | MD-7-15-2 | CN-NO | <5 | 1.2 | <5 | 465 | 71 | | V1/V4, Alt, GZ |
| 514389 | FC-7-15-1 | CN-NO | 14 | 0.7 | 5 | 121 | 112 | | I3A, cis, GZ |
| 514390 | FC-7-15-2 | CN-NO | 10 | 1.1 | <5 | 434 | 693 | | V4, cis, GZ |
| 514391 | FC-7-15-3 | CN-NO | 27 | 3.9 | <5 | 2467 | 298 | | I3A, cis, GZ, py |
| 514392 | FC-7-15-4 | CN-NO | 35 | 1.8 | <5 | 776 | 107 | | I3A, cis, po (40%), py, (cp/tr) |
| 514393 | MD-7-7-1 | M-SGL | 315 | 0.7 | 72 | 19 | 12 | | V1 ? |
| 514394 * | MD-7-6-1 | M-SGL | 30 | 1.5 | 5 | 582 | 145 | | GZ, po-cp |
| 514395 | MD-7-10-1 | DNE-EX | 544 | 3.5 | 224 | 369 | 848 | | |
| 514396 | MD-7-10-2A | DNE-EX | 220 | 1.4 | <5 | 498 | 41 | | |

LISTE DES ECHANTILLONS ANALYSES - GEOLOGIE

| # Analyse | # Echantillon | Bloc | Au ppb | Ag ppm | As ppm | Cu ppm | Zn ppm | Autres ppm | Remarques |
|-----------|---------------|-----------|--------|--------|--------|--------|--------|---------------|----------------------------|
| 514397 | MD-7-10-2B | DNE-EX | 278 | 1.6 | <5 | 1925 | 48 | | |
| 514398 | MD-7-10-3 | DNE-EX | 74 | 1.8 | 443 | 254 | 167 | | |
| 514399 | MD-7-10-4 | DNE-EX | 22 | 0.2 | 13 | 104 | 30 | | |
| 514400 | AT-7-10-1 | DNE-EX | 672 | 3.4 | 1920 | 299 | 82 | | V, py |
| 514501 | MD-7-17-3 | M-GL | 28 | 0.9 | 14 | 145 | 633 | | V4, VQz-py |
| 514502 | AT-7-10-2 | DNE-EX | 181 | 1.0 | 1424 | 329 | 66 | | Vcp |
| 514503 | AT-7-10-3 | DNE-EX | 378 | 1.3 | 1193 | 218 | 52 | | Vpo |
| 514504 | AT-7-10-4 | DNE-EX | 346 | 1.4 | 1134 | 286 | 109 | | Hasard |
| 514505 | AT-7-10-5 | DNE-EX | 866 | 2.1 | 7051 | 185 | 51 | | Dyke + veine |
| 514506 | AT-7-10-6 | DNE-EX | 571 | 2.2 | 4933 | 305 | 95 | | V. po dans le dyke |
| 514507 | AT-7-10-7 | DNE-EX | 214 | 1.1 | 381 | 135 | 356 | | GZ |
| 514508 | AT-7-10-8 | DNE-EX | 1548 | 2.5 | 400 | 130 | 462 | 1.65 g/t | |
| 514509 | AT-7-10-9 | DNE-EX | 3467 | 1.1 | 2481 | 240 | 74 | 3.84 g/t | Qtz-Po-Aspy |
| 514510 | AT-7-10-10 | DNE-EX | 658 | 2.5 | 1444 | 1918 | 270 | | Qtz-Po-Aspy |
| 514511 | AT-7-10-11 | DNE-EX | 185 | 0.8 | 30 | 733 | 46 | | Po (LG showing) |
| 514512 | MD-7-17-4 | M-GL | 29 | <0.2 | 29 | 183 | 130 | | V3B, Po-Py |
| 514513 | MD-7-11-5 | CN-NO | <5 | | | | | | Placer |
| 514514 | MD-7-17-8B | DNE-ME | 10 | 1.1 | <5 | 674 | 10 | | VQZ-Py (semi-massive) |
| 514515 | MD-7-18-2 | M-LS | <5 | <0.2 | <5 | 141 | 55 | | V4, GZ |
| 514516 | MD-7-18-4 | CN-NO | <5 | 3.7 | <5 | 1027 | 388 | | S3, Cgl, Po massive, Py |
| 514517 | MD-7-20-3B | DNE-ME | <5 | <0.2 | <5 | 60 | 8 | | V. Qtz |
| 514518 | MD-7-20-4A | DNE-ME | <5 | <0.2 | <5 | 135 | 42 | | V3B, Py |
| 514519 | MD-7-20-4C | DNE-ME | <5 | 0.7 | <5 | 492 | 30 | | V3B, Fol, cis, tr Py |
| 514520 | MD-7-20-5 | DNE-ME | 7 | <0.2 | <5 | 84 | 33 | | V3/V4, S3, tr Py |
| 514521 | MD-7-20-5B | DNE-ME | <5 | <0.2 | <5 | 37 | 22 | | V. Qtz |
| 514522 | MD-7-21-1A | DNE-LJ-G | 7 | 1.7 | 32 | 82 | 413 | | V4, Alt, Fu, Py-Po-Cp |
| 514523 | MD-7-21-1B | DNE-LJ-G | <5 | 0.2 | <5 | 12 | 12 | | VQz, Py-Po |
| 514524 | MD-7-21-1C | DNE-LJ-G | 9 | 3.3 | <5 | 360 | 1523 | | Brèche V4/V1, Qz, Py-Po-Cp |
| 514525 | MD-7-21-1D | DNE-LJ-G | <5 | 1.2 | <5 | 23 | 25 | | V1, Alt, Py |
| 514526 | MD-7-22-4 | DNE-BL-60 | 51 | 2.1 | 2221 | 1102 | 70 | | S3, l4 matrice, Po-Py |
| 514527 | MD-7-23-6A | DNE-GE | <5 | <0.2 | 152 | 16 | 27 | | I4B, Alt, Fu |
| 514528 | MD-7-23-6B | DNE-GE | <5 | <0.2 | <5 | 6 | 18 | | V3B, Alt |
| 514529 | MD-7-23-6C | DNE-GE | <5 | 0.4 | 26 | 45 | 51 | 886 ppm (Cr) | V4, Alt, Fu, Py, Gz |
| 514530 | MD-7-23-6D | DNE-GE | 6 | 2.3 | <5 | 456 | 313 | 1152 ppm (Ni) | V4, Alt, Cis, Gz, Po m |
| 514531 | MD-7-23-6E | DNE-GE | <5 | 1.4 | <5 | 337 | 340 | 907 ppm (Ni) | V3B, Alt, Gz, Po m |
| 514532 | MD-7-23-6F | DNE-GE | <5 | 1.1 | <5 | 144 | 178 | | V3B, cis, Gz, Py-Po |
| 514533 | MD-7-23-6G | DNE-GE | <5 | | | | | | |

LISTE DES ECHANTILLONS ANALYSES - GEOLOGIE

| # Analyse | # Echantillon | Bloc | Au ppb | Ag ppm | As ppm | Cu ppm | Zn ppm | Autres ppm | Remarques |
|-----------|---------------|---------|--------|--------|--------|--------|--------|------------|----------------------|
| 514534 | MD-7-23-6H | DNE-GE | <5 | 0.6 | <5 | 48 | 53 | | VQz, Py, Fu |
| 514535 | MD-7-23-7 | DNE-GE | <5 | 1.4 | <5 | 807 | 136 | | S3 (V4 matrice), Py |
| 514536 | MD-7-25-5B | DNE-GE | <5 | <0.2 | <5 | 34 | 61 | | V2, Frg, Faille |
| 514537 | MD-7-25-6 | DNE-GE | <5 | <0.2 | <5 | 62 | 19 | | V3B, |
| 514538 | MD-7-25-8A | DNE-GE | <5 | 1.2 | <5 | 154 | 24 | | |
| 514539 | MD-7-25-8B | DNE-GE | <5 | <0.2 | <5 | 3 | 2 | | VQz, Lens. |
| 514540 | MD-7-25-9A | DNE-GE | <5 | <0.2 | <5 | 233 | 552 | | I4, Gz, tr Py |
| 514541 | MD-7-25-9B | DNE-GE | <5 | 0.5 | <5 | 235 | 1394 | | V1, Cis, Gz (V4), Py |
| 514542 | MD-7-26-2B | DNE-EXN | <5 | <0.2 | <5 | 3 | 4 | | VQz |
| 514543 | MD-7-26-4 | DNE-EXN | <5 | 0.2 | <5 | 8 | 7 | | I1B, VQz |
| 514544 | MD-7-26-5A | DNE-EXN | <5 | 1.3 | <5 | 257 | 65 | | S4, Gz, Po-Py |
| 514545 | MD-7-26-5B | DNE-EXN | <5 | 0.5 | <5 | 14 | 19 | | S4, VQz |
| 514546 | MD-7-27-1A | DNE-EXN | <5 | 1.2 | <5 | 144 | 529 | | S4, Po mas Gz |
| 514547 | MD-7-27-1B | DNE-EXN | <5 | 1.1 | <5 | 118 | 149 | | V1, Alt, Py |
| 514548 | MD-7-27-3A | DNE-EXN | <5 | 2.1 | <5 | 80 | 75 | | S3, Cis, VQz, Po m |
| 514549 | MD-7-27-3B | DNE-EXN | <5 | <0.2 | <5 | 13 | 9 | | VQz |
| 514550 | MD-7-27-3C | DNE-EXN | <5 | 0.6 | <5 | 28 | 70 | | S3, Cis, Gz |
| 514551 | MD-7-27-3D | DNE-EXN | <5 | 1.2 | <5 | 19 | 50 | | V1, Alt, Gz |
| 514552 | MD-7-28-2 | DNE-EXN | <5 | 0.8 | <5 | 77 | 437 | | S3 |
| 514553 | MD-7-28-3A | DNE-EXN | <5 | 0.6 | <5 | 17 | 230 | | S3 (V3B matrice), Py |
| 514554 | MD-7-28-3B | DNE-EXN | <5 | 1.2 | <5 | 203 | 1129 | | Po massive |
| 514555 | MD-7-28-3C | DNE-EXN | <5 | <0.2 | <5 | 12 | 24 | | V1, Alt, Gz, cis, Py |
| 514556 | AT-7-20-4B | D-E LJ | <5 | 0.8 | <5 | 10 | 69 | | |
| 514557 | AT-7-20-4A | D-E LJ | 8 | 2.5 | <5 | 187 | 190 | | |
| 514558 | AT-7-20-5A | D-E LJ | <5 | 2.2 | <5 | 125 | 86 | | |
| 514559 | AT-7-20-5B | D-E LJ | <5 | 0.6 | <5 | 28 | 192 | | |
| 514560 | AT-7-21-1 | DNE-LJ | <5 | 1.5 | <5 | 81 | 210 | | Pyrite massive |
| 514561 | AT-7-21-2 | DNE-LJ | <5 | 1.3 | <5 | 76 | 295 | | Veine Qtz-Pyrite |
| 514562 | AT-7-21-3 | DNE-LJ | <5 | 1.5 | <5 | 72 | 258 | | VQz-Py |
| 514563 | AT-7-21-4A | DNE-LJ | <5 | <0.2 | <5 | 13 | 30 | | V |
| 514564 | AT-7-21-4B | DNE-LJ | <5 | 0.2 | <5 | 37 | 43 | | V1, # |
| 514565 | AT-7-21-5A | DNE-LJ | <5 | <0.2 | 7 | 27 | 28 | | V3 |
| 514566 | AT-7-21-5B | DNE-LJ | <5 | 0.3 | <5 | 74 | 33 | | Gz, Py (V1) |
| 514567 | AT-7-21-5C | DNE-LJ | <5 | 0.2 | 441 | 52 | 142 | | V1 |
| 514568 | AT-7-26-1A | DNE-EXN | <5 | 0.3 | <5 | 5 | 55 | | V1, Fo |
| 514569 | AT-7-26-1B | DNE-EXN | <5 | 1.2 | 37 | 203 | 24 | | |

LISTE DES ECHANTILLONS ANALYSES - GEOLOGIE

| # Analyse | # Echantillon | Bloc | Au ppb | Ag ppm | As ppm | Cu ppm | Zn ppm | Autres ppm | Remarques |
|-----------|---------------|---------|--------|--------|--------|--------|--------|------------|-----------------------------|
| 514570 | AT-7-26-2A | DNE-EXN | <5 | 0.9 | <5 | 35 | 133 | | V1, Fo, #, Py |
| 514571 | AT-7-26-2B | DNE-EXN | <5 | 0.9 | <5 | 75 | 266 | | V1 |
| 514572 | AT-7-26-3A | DNE-EXN | <5 | <0.2 | <5 | 5 | 52 | | V1, |
| 514573 | AT-7-26-3B | DNE-EXN | <5 | 0.3 | <5 | 3 | 2 | | VQz/V1 |
| 514574 | AT-7-26-3C | DNE-EXN | <5 | <0.2 | <5 | 6 | 6 | | VQz/V1 |
| 514575 | AT-7-23-1 | M-GL | <5 | 1.2 | <5 | 237 | 582 | | |
| 514576 | AT-7-23-2A | M-S | <5 | 0.6 | <5 | 468 | 1167 | | |
| 514577 | AT-7-23-2B | M-S | <5 | 2.5 | <5 | 442 | 79 | | |
| 514578 | AT-7-23-3 | D-E | <5 | 0.7 | <5 | 66 | 3940 | | |
| 514579 | AT-7-23-4 | D-E | <5 | 1.1 | <5 | 67 | 907 | | |
| 514580 | WC-8-18-1 | DNE-EXN | 9 | | 85 | 109 | 187 | | V3/14A/14B, Py mass, Po-Cp |
| 514581 | WC-8-19-2 | DNE-EXN | <5 | 18 | <5 | 63 | 18 | | VQz, Po-Cy |
| 514582 | WC-8-19-3 | DNE-EXN | 6 | 42 | <5 | 76 | 42 | | d11/V3B, S, Po |
| 514583 | WC-8-19-4 | DNE-EXN | <5 | 36 | <5 | 10 | 36 | | ??? Po |
| 514584 | WC-8-20-1 | DNE-EXE | 50 | 43 | 28 | 30 | 43 | | V3B, S1, , VQ |
| 514585 | WC-8-20-2 | DNE-EXE | 29 | 72 | <5 | 164 | 72 | | V3B, #, Py-Po |
| 514586 | WC-8-20-3 | DNE-EXE | <5 | 14 | <5 | 26 | 14 | | VQz, #, Py (4%) |
| 514587 | WC-8-20-4 | DNE-EXE | 77 | 44 | 32 | 76 | 44 | | V3B, #, . |
| 514588 | WC-8-20-5 | DNE-EXE | 219 | 27 | 6 | 17 | 27 | | V3B, #, Ep, S1, Py (5%) |
| 514589 | WC-8-21-1 | DNE-PLL | 13 | 96 | <5 | 133 | 96 | | V3B, #, Py (5-7%) |
| 514590 | WC-8-21-2 | DNE-PLL | 6 | 23 | <5 | 90 | 23 | | V3B, #, = |
| 514591 | WC-8-21-3 | DNE-PLL | <5 | 32 | <5 | 52 | 32 | | V3B, S1, #, Po-Py (3-5%) |
| 514592 | WC-8-21-4 | DNE-PLL | 7 | 110 | <5 | 36 | 110 | | V3B, #, =, Py-Po (5%) |
| 514593 | WC-8-21-5A | DNE-PLL | <5 | 94 | <5 | 15 | 94 | | VQz, #, Py (5%) |
| 514594 | WC-8-21-5B | DNE-PLL | 7 | 51 | <5 | 88 | 51 | | VQz, Sil |
| 514595 | WC-8-21-5C | DNE-PLL | <5 | 38 | <5 | 6 | 38 | | VQz/V3B, sil, Py (1-3%) |
| 514596 | WC-8-21-5D | DNE-PLL | 6 | 136 | <5 | 102 | 136 | | V3B/V1, #, =, Py 5% |
| 514597 | WC-8-21-6A | DNE-PLL | 8 | 149 | <5 | 276 | 149 | | V4, =, Gp, Py (5-7%) |
| 514598 | WC-8-21-6B | DNE-PLL | <5 | 0.3 | 7 | 34 | 101 | | V1, m, Ep, Py-Po (3-5%) |
| 514599 | WC-8-21-7A | DNE-PLL | <5 | 1.0 | 6 | 119 | 123 | | V3B, S1, =, |
| 514600 | WC-8-21-7B | DNE-PLL | <5 | 0.4 | <5 | 29 | 27 | | VQz, Py (1-3%) |
| 514701 | WC-8-21-8A | DNE-PLL | <5 | <0.2 | <5 | 8 | 27 | | V1, , Py |
| 514702 | WC-8-21-8B | DNE-PLL | 13 | 1.4 | 55 | 121 | 526 | | V4, =, #, Gp, Py-Po (5-10%) |
| 514703 | WC-8-21-9 | DNE-PLL | <5 | <0.2 | 11 | 15 | 40 | | VQz, Py (1%) |
| 514704 | WC-8-21-10 | DNE-PLL | <5 | 1.7 | <5 | 218 | 107 | | V3/V4, =, S1, Po-Py (10%) |

ANNEXE 2
JOURNAUX DE SONDAGES
GE-94-1 à GE-94-6

Géonova Explorations Inc.

| | | | | |
|--|---------------------------------------|-------------------|-------------------------|--|
| COMPAGNIE : GEONOVA EXPLORATIONS INC. | | CANTON : | LOT : | IMPRIME LE : 21 mars 1995 |
| PROJET : DEJOUR | | RANG : | ZONE : 018 | |
| SONDAGE : GE-94-01 | | CLAIM : 469921-3 | NO. RÉF. : | SNRC : |
| <u>COORDONNÉES AU COLLET</u> | | LIGNE : 00+70M | LATITUDE : 0.000 | LATITUDE : 0.000 |
| | | STATION : 00+47N | LONGITUDE : 0.000 | LONGITUDE : 0.000 |
| | | ÉLEVATION : 0.000 | ÉLEVATION : 0.000 | ÉLEVATION : 0.000 |
| <u>ECHANTILLONNAGE</u> | MÉTAUX DE BASE : | | | <u>DATE</u> DATE DU JOURNAL : 29 août 1994 DATE D'ARPENTAGE : DATE DE CIMENTAGE : |
| | LITHOLOGIE : | | | |
| <u>INTERVENANTS</u> | GÉOLOGUE : A. TREMBLAY | | | FORAGE DÉBUTÉ LE : 22 août 1994 |
| | CONTRACTEUR : LES FORAGES BENOIT LTÉE | | | FORAGE TERMINÉ LE : 28 août 1994 |
| | RECOMPILATION : | | | |
| <u>PROFONDEUR</u> | AU COLLET : 0.00 | FINALE : 48.16 | Longueur totale : 48.16 | |
| <u>CAROTTES</u> | LOCATION : | | DIMENSION : A0 | TUBAGE LAISSÉ : Non |
| BUT : | | | | |
| CIBLE : INDICE EXKO. | | | | |
| REMARQUES : Trou arrêté par manque de tige de sondage. | | | | |
| <u>DONNÉES D'ORIENTATION</u> | AZIMUT : 160° 0' | PLONGÉE : -46° 0' | | |

Géonova Explorations Inc.

| DE (m) | A (m) | DESCRIPTION | NO ECHAN. | DE (m) | A (m) | LONG. (m) | Cu ppm | Zn ppm | Ag ppm | Au ppb | As |
|-----------|----------|--|-----------|-----------|----------|--------------|-----------|-----------|-----------|-----------|------|
| 0.00 | 2.95 | MT | | | | | | | | | |
| | | TUBAGE - MORT-TERRAIN | | | | | | | | | |
| 2.95 | 7.18 | V3B, Fo | | | | | | | | | |
| | | BASALTE FOLIÉ | | | | | | | | | |
| | | Roche grise verdâtre à grains fins à moyens, altérée et foliée à 60-65°/A.C.. Il y a 3-5% de fines veinules de quartz-carbonate, 1-5mm, à 55-70°/A.C. et sub-parallèles à la foliation et localement à 30°/A.C. et recoupant cette dernière. La roche montre un "banding", alternance de bandes claires (quartz-carbonate) et de bandes foncées (chlorite-magnétite) par endroits; le "banding" est à 50-65°/A.C.. Il y a quelques veinules de quartz-carbonate (calcite) - pyrrhotine - pyrite - chalcopryrite, associées aux zones de fractures. | | | | | | | | | |
| | | 2.95 - 3.70 VEI O2, CB, PY-PO | 514801 | 2.95 | 3.60 | 0.65 | 150 | 52 | n.d. | 26 | 55 |
| | | Occurrence de quelques veinules fines de quartz, carbonate, pyrite - pyrrhotine, <5mm, à 60°/A.C.. | 514802 | 3.60 | 4.05 | 0.45 | 156 | 43 | 0.2 | 13 | 35 |
| | | A 3,60m: Veinule de quartz-carbonate-pyrrhotine-chalcopryrite à 65°/A.C.. | | | | | | | | | |
| | | 3.70 - 4.40 b, CL, VEI O2-CB; PO-PY | | | | | | | | | |
| | | Zones en bandes, chloritisées, avec 5-7% de fines veinules de quartz-carbonate-pyrrhotine-pyrite-chalcopryrite à 65°/A.C., 5-7% Mt. | | | | | | | | | |
| | | 3.70 - 3.76 | | | | | | | | | |
| | | 5-7% de pyrite-pyrrhotine dans veinules fines à 60-65°/A.C.. | | | | | | | | | |
| | | 4.00 - 4.05 | | | | | | | | | |
| | | Veine de quartz-carbonate-pyrite-pyrrhotine à 65°/A.C.. | | | | | | | | | |
| | | | 514803 | 4.05 | 4.40 | 0.35 | 105 | 61 | n.d. | 18 | 61 |
| | | | 514804 | 4.40 | 5.20 | 0.80 | 79 | 42 | n.d. | 13 | 10 |
| | | | 514805 | 5.20 | 6.10 | 0.90 | 107 | 28 | n.d. | 11 | n.d. |
| | | | 514806 | 6.10 | 7.18 | 1.08 | 134 | 35 | 0.5 | 16 | 50 |
| 7.18 | 9.64 | V3B/14B, PY, PO | | | | | | | | | |
| | | BASALTE/PYROXENITE (U.M.) Zone de contact minéralisée. | | | | | | | | | |
| | | Roche massive, avec bandes vert foncé, chloritisée, alternant avec bandes noires et introduites de veinules de quartz-Co3-sulfures. La roche est siliciée par endroits. Il y a des "spots" rosâtres de leucoxène? par endroits, associés aux bandes chloritisées. Il y a environ 10% de veinules de quartz-carbonate-pyrrhotine-(pyrite)-chalcopryrite 2mm - 10cm à 50-70°/A.C.. La roche est très altérée mais on est au contact entre basalte et U.M. (K ou pyroxénite). | | | | | | | | | |
| | | 7.18 - 7.52 VEI O2, PO AS, PY | 514807 | 7.18 | 7.60 | 0.42 | 78 | 113 | 0.7 | 286 | 1696 |
| | | 15% de veinules de pyrrhotine, 2-4mm, et de quartz-carbonate-pyrrhotine jusqu'à 60m, à 60-65°/A.C.. | | | | | | | | | |

Géonova Explorations Inc.

| DE (m) | A (m) | DESCRIPTION | NO ÉCHAN. | DE (m) | A (m) | LONG. (m) | Cu ppm | Zn ppm | Ag ppm | Au ppb | As |
|-----------|----------|--|-----------|-----------|----------|--------------|-----------|-----------|-----------|-----------|------|
| | | 7.60 - 8.88 VEI QZ, EP-CB-PO | 514808 | 7.60 | 8.20 | 0.60 | 261 | 182 | 1.2 | 1462 | 1496 |
| | | 20-25% de veinules de quartz, épidote, carbonate, pyrrhotine, pyrite, chalcopryrite, 1-5cm à 65°/A.C.. Ces veinules sont exposées de 3 à 12cm et semblent occuper des bordures de coussins. Entre les veinules, la roche est altérée, massive, "spotly" avec 3-5% de pyrrhotine disséminée. Il y a 1-5% de chalcopryrite associée aux veinules et jusqu'à 15% dans certaines fines micro-fractures. | 514809 | 8.20 | 8.88 | 0.68 | 222 | 121 | 0.8 | 217 | 217 |
| | | 9.13 - 9.14 VEI QZ - CB - PO | 514810 | 8.88 | 9.25 | 0.37 | 76 | 134 | 0.9 | 1677 | 85 |
| | | Idem veinule de pyrrhotine, quartz, carbonate à 70°/A.C.. | | | | | | | | | |
| | | 9.25 - 9.64 VEI QZ, PO, MAS | 514811 | 9.25 | 9.64 | 0.39 | 310 | 282 | 1.2 | 892 | 141 |
| | | 25% de veinules de pyrrhotine massive et quartz, carbonate, pyrrhotine 1-8cm, à 65°/A.C., 1% chalcopryrite disséminée. | | | | | | | | | |
| 9.64 | 10.45 | SI+, GP, PO | 514812 | 9.64 | 10.45 | 0.81 | 94 | 528 | 1.3 | 551 | 47 |
| | | ZONE SILICIFIÉE - MINÉRALISÉE | | | | | | | | | |
| | | Roche grise massive, à grains fins, dure, parfois noire (GP) et traversée de nombreuses veinules de quartz-carbonate, 3-5mm à 8cm à 65°/A.C.. De minces veinules de pyrrhotine massive sont associées et sub-parallèles à ces veines ("graphite beds"). | | | | | | | | | |
| 10.45 | 13.32 | I4B, SI, QZ, PO | | | | | | | | | |
| | | PYROXÉNITE ALTÉRÉE - MINÉRALISÉE (silicifiée) | | | | | | | | | |
| | | Alternance de bandes vertes altérées (PYR) avec des veines de quartz. Ces dernières varient de 1cm à 1.5m, à 50-65°/A.C.. Cette alternance définit un "banding" généralement à 60-65°/A.C.. Il y a 5% de veinules de pyrrhotine associées aux veines de quartz ou dans les micro-fractures. Les zones de pyroxénite, entre les veinules de quartz, sont introduites de quartz et très silicifiées. Il y a 5-7% de pyrrhotine disséminée. | | | | | | | | | |
| | | 10.45 - 10.80 | 514813 | 10.45 | 10.80 | 0.35 | 164 | 354 | 1.3 | 959 | n.d. |
| | | 5-7% de PO-Q-V à 65° C.N. | | | | | | | | | |
| | | 10.80 - 11.45 | 514814 | 10.80 | 11.45 | 0.65 | 382 | 176 | 0.9 | 5242 | 131 |
| | | 70-75% Q-C-PO V à 65° C.N., PO Sta 1-5mm. | | | | | | | | | |
| | | 11.45 - 11.85 | 514815 | 11.45 | 11.85 | 0.40 | 169 | 171 | 0.7 | 1951 | 370 |
| | | 10% PO disséminée dans pyrox + quartz. | | | | | | | | | |

Géonova Explorations Inc.

| DE (m) | A (m) | DESCRIPTION | NO ÉCHAN. | DE (m) | A (m) | LONG. (m) | Cu ppm | Zn ppm | Ag ppm | Au ppb | As |
|--------|-------|--|-----------|--------|-------|-----------|--------|--------|--------|--------|------|
| | | 11.85 - 13.00 15% Q.V. avec PO (5%) occasionnel 5mm-3cm à 65° C.N.. A 12,50m: 1mm cross fc à 20°/A.C. perpendiculaire aux V.Q.. A 12,80m: 1mm cross fc à 10° 3A.C. perpendiculaire et recoupant V.Q.. | 514816 | 11.85 | 13.00 | 1.15 | 46 | 56 | 0.4 | 217 | 10 |
| | | 13.00 - 13.32 Semi-massive PO V. à 60°/A.C.. | 514817 | 13.00 | 13.32 | 0.32 | 214 | 30 | 1.3 | 129 | n.d. |
| 13.32 | 14.20 | 14B, MAS, FRA, PO PYROXÉNITE MASSIVE Roche verte, massive, grains moyens, non fracturée, avec 3-5% pyrrhotine disséminée ou en veinules. Peu magnétique. | 514818 | 13.32 | 14.20 | 0.88 | 27 | 51 | 0.2 | 19 | 226 |
| 14.20 | 32.00 | V4C, MG KOMATIITE (PÉRIDOTITIQUE) Roche gris-noir, massive, à grains fins à moyens avec 5-15% de magnétique, disséminée ou en veinules discontinues. Présence de micro-brèches par endroits. Il y a 3-5% de veinules de serpentine, 1-3mm à 15 et 75°/A.C. Texture plus "spotly" (mag) dans une matrice serpentinisée (olivine + pyroxène) altéré => serpentine + talc. | | | | | | | | | |
| | | 14.20 15.00 FRA, CIS Zone fracturée, faiblement cisailée à 60°/A.C. | | | | | | | | | |
| | | 16.85 - 19.50 TC, MG Roche plus grise, talceuse, moins magnétique. | | | | | | | | | |
| | | 22.95 23.00 FRA, CIS, VEI ST Zone fracturée, cisailée avec veinules de serpentine à 35°/A.C.. | | | | | | | | | |
| | | 23.00 - 23.30 PO "Patches" de pyrrhotine. | | | | | | | | | |
| | | 29.00 - 32.00 FRA, CIS Roche plus altérée, fracturée, avec développement de schistosité à 75°/A.C.. | | | | | | | | | |
| 32.00 | 39.50 | V4C, TC, MG KOMATIITE ALTÉRÉE Roche grise, plus altérée, talceuse, avec moins de magnétite (7-5%) disséminée. Roche molle et traversée de veinules de serpentine à 0,55,65°/A.C.. La magnétite est absente de 38,5 à 39,5m. Présence de zone riche en actinote grossière dans le dernier mètre. | | | | | | | | | |

Géonova Explorations Inc.

| DE (m) | A (m) | DESCRIPTION | NO ÉCHAN. | DE (m) | A (m) | LONG. (m) | Cu ppm | Zn ppm | Ag ppm | Au ppb | As |
|--------|-------|--|-----------|--------|-------|-----------|--------|--------|--------|--------|----|
| 39.50 | 42.67 | DY, SI, MAS DYKE GRIS / ZONE SILICIFIÉE Roche massive gris foncé à grains fins, très dure et silicifiée. Contact supérieur brisé. Roche peu fracturée avec veinules de quartz - pyrrhotine - pyrite occasionnelles. A 40,80m: Veine de quartz à 45°/A.C.. A 40,35m: Placage de pyrite dans fractures à 65°/A.C.. 40.15 - 40.20 Zone chloritisée avec 5% de pyrite à 65°/A.C.. 40.20 - 42.40 | 514819 | 40.00 | 40.25 | 0.25 | 54 | 656 | 0.4 | 28 | |
| | | Veine de quartz - pyrite, 2-4mm à 70°/A.C.. 42.67 | 514820 | 42.20 | 42.67 | 0.47 | 106 | 204 | 0.5 | 60 | |
| 42.67 | 43.72 | GP, PD, SI (conducteur fort) ZONE GRAPHITEUSE MINERALISÉE (CONDUCTEUR MAXMIN) Roche noire, massive, dure, graphiteuse, silicifiée avec 5-10% de pyrrhotine dans les fractures, localement plissée. Contact supérieur dans veinule de pyrrhotine à 80°/A.C.. Contact inférieur dans une fracture à 40°/A.C.. 42.75 - 42.90 Dyke gris / Zone silicifiée. Contacts nets. Contact supérieur à 30°/A.C. et contact inférieur à 80°/A.C.. Petite faille à 50°/A.C. à 42,80m. 43.30 - 43.63 | 514821 | 42.67 | 43.32 | 0.65 | 237 | 1114 | 1.4 | 351 | |
| | | Dyke felsique, comme 42,75 à 42,90m. 43.72 | 514822 | 43.32 | 43.72 | 0.40 | 47 | 387 | 0.4 | 56 | |
| 43.72 | 48.16 | I1 POR FP; PY, PO PORPHYRE DE FELDSPATH Roche grise massive avec 15% de phénocristaux de feldspath allongé suivant la foliation à 65-70°/A.C.. Il y a 3-5% de pyrite disséminée dans les fractures près du contact supérieur. Contact supérieur à 35°/A.C.. 5% de fractures, pyrite-pyrrhotine, parallèle au contact entre 43,72 et 44,20m. Note: Il y a 1-5% de pyrite-pyrrhotine disséminées. | 514823 | 43.72 | 44.20 | 0.48 | 16 | 49 | 0.3 | 72 | |
| | | | 514824 | 44.20 | 45.20 | 1.00 | 7 | 18 | n.d. | 6 | |
| | | | 514825 | 45.20 | 46.20 | 1.00 | 9 | 16 | n.d. | 12 | |
| | | | 514826 | 46.20 | 47.20 | 1.00 | 8 | 16 | n.d. | 9 | |
| | | | 514827 | 47.20 | 48.16 | 0.96 | 8 | 17 | n.d. | 9 | |
| | 48.16 | FIN DU TROU | | | | | | | | | |

Géonova Explorations Inc.

| DE (m) | A (m) | DESCRIPTION | NO ÉCHAN. | LONG. (m) | Cu ppm | Zn ppm | Ag ppm | Au ppb | Au-1 g/t | Cr ppm | As | La | W |
|--------|-------|-------------|-----------|-----------|--------|--------|--------|--------|----------|--------|------|----|---|
| 2.95 | 3.60 | | 514801 | 0.65 | 150 | 52 | n.d. | 26 | | | 55 | | |
| 3.60 | 4.05 | | 514802 | 0.45 | 156 | 43 | 0.2 | 13 | | | 35 | | |
| 4.05 | 4.40 | | 514803 | 0.35 | 105 | 61 | n.d. | 18 | | | 61 | | |
| 4.40 | 5.20 | | 514804 | 0.80 | 79 | 42 | n.d. | 13 | | | 10 | | |
| 5.20 | 6.10 | | 514805 | 0.90 | 107 | 28 | n.d. | 11 | | | n.d. | | |
| 6.10 | 7.18 | | 514806 | 1.08 | 134 | 35 | 0.3 | 16 | | | 50 | | |
| 7.18 | 7.60 | | 514807 | 0.42 | 78 | 113 | 0.7 | 286 | | | 1696 | | |
| 7.60 | 8.20 | | 514808 | 0.60 | 261 | 182 | 1.2 | 1462 | 1.10 | | 1496 | | |
| 8.20 | 8.88 | | 514809 | 0.68 | 222 | 121 | 0.8 | 217 | | | 217 | | |
| 8.88 | 9.25 | | 514810 | 0.37 | 76 | 134 | 0.9 | 1677 | 1.54 | | 85 | | |
| 9.25 | 9.64 | | 514811 | 0.39 | 310 | 282 | 1.2 | 892 | | | 141 | | |
| 9.64 | 10.45 | | 514812 | 0.81 | 94 | 528 | 1.3 | 551 | | | 47 | | |
| 10.45 | 10.80 | | 514813 | 0.35 | 164 | 354 | 1.3 | 959 | | | n.d. | | |
| 10.80 | 11.45 | | 514814 | 0.65 | 382 | 176 | 0.9 | 5242 | 5.25 | | 131 | | |
| 11.45 | 11.85 | | 514815 | 0.40 | 169 | 171 | 0.7 | 1951 | 0.55 | | 370 | | |
| 11.85 | 13.00 | | 514816 | 1.15 | 46 | 56 | 0.4 | 217 | | | 10 | | |
| 13.00 | 13.32 | | 514817 | 0.32 | 214 | 30 | 1.3 | 129 | | | n.d. | | |
| 13.32 | 14.20 | | 514818 | 0.88 | 27 | 51 | 0.2 | 19 | | 1345 | 226 | | |
| 40.00 | 40.25 | | 514819 | 0.25 | 54 | 656 | 0.4 | 28 | | | | | |
| 42.20 | 42.67 | | 514820 | 0.47 | 106 | 204 | 0.5 | 60 | | | | | |
| 42.67 | 43.32 | | 514821 | 0.65 | 237 | 1114 | 1.4 | 351 | | | | | |
| 43.32 | 43.72 | | 514822 | 0.40 | 47 | 387 | 0.4 | 56 | | | | | |
| 43.72 | 44.20 | | 514823 | 0.48 | 16 | 49 | 0.3 | 72 | | | | | |
| 44.20 | 45.20 | | 514824 | 1.00 | 7 | 18 | n.d. | 6 | | | | | |
| 45.20 | 46.20 | | 514825 | 1.00 | 9 | 16 | n.d. | 12 | | | | | |
| 46.20 | 47.20 | | 514826 | 1.00 | 8 | 16 | n.d. | 9 | | | | | |
| 47.20 | 48.16 | | 514827 | 0.96 | 8 | 17 | n.d. | 9 | | | | | |
| | 48.16 | FIN DU TROU | | | | | | | | | | | |

Géonova Explorations Inc.

| | | | | |
|--|--|-------------------|----------------------------------|---------------------------|
| COMPAGNIE : GÉONOVA EXPLORATIONS INC. | | CANTON : | LOT : | IMPRIMÉ LE : 21 mars 1995 |
| PROJET : DEJOUR | | RANG : | ZONE : 018 | |
| SONDAGE : GE-94-02 | | CLAIM : 469921-3 | NO. RÉF. : | SNRC : |
| <u>COORDONNÉES AU COLLET</u> | | | | |
| LIGNE : 00+75W | | LIGNE : 00+00E | LATITUDE : 0.000 | LATITUDE : 0.000 |
| STATION : 00+20N | | STATION : 00+00N | LONGITUDE : 0.000 | LONGITUDE : 0.000 |
| ÉLEVATION : 0.000 | | ÉLEVATION : 0.000 | ÉLEVATION : 0.000 | ÉLEVATION : 0.000 |
| <u>ECHANTILLONNAGE</u> | | | <u>DATE</u> | |
| MÉTAUX DE BASE : | | | DATE DU JOURNAL : 31 août 1994 | |
| LITHOLOGIE : | | | DATE D'ARPENTAGE : | |
| <u>INTERVENANTS</u> | | | DATE DE CIMENTAGE : | |
| GÉOLOGUE : A. TREMBLAY | | | FORAGE DÉBUTÉ LE : 29 août 1994 | |
| CONTRACTEUR : LES FORAGES BENOIT LTÉE | | | FORAGE TERMINÉ LE : 30 août 1994 | |
| RECOMPILATION : | | | | |
| <u>PROFONDEUR</u> | | | | |
| AU COLLET : 0.00 | | FINALE : 15.24 | Longueur totale : 15.24 | |
| <u>CAROTTES</u> | | | | |
| LOCATION : | | DIMENSION : A0 | | TUBAGE LAISSÉ : Non |
| <u>BUT :</u> | | | | |
| CIBLE : ANOMALIE MAXMIN. | | | | |
| REMARQUES : Le trou a été arrêté à 50 pieds car une zone de sable de 10 pieds fut recoupée de 50-60 pieds. | | | | |
| <u>DONNÉES D'ORIENTATION</u> | | | | |
| AZIMUT : 160° 0' | | PLONGÉE : 47° 0' | | |

Géonova Explorations Inc.

| DE (m) | A (m) | DESCRIPTION | NO ÉCHAN. | DE (m) | A (m) | LONG. (m) | Cu ppm | Zn ppm | Ag ppm | Au ppb | As |
|-----------|----------|--|-----------|-----------|----------|--------------|-----------|-----------|-----------|-----------|----|
| 0.00 | 6.71 | NT TUBAGE - MORT-TERRAIN | | | | | | | | | |
| 6.71 | 12.50 | V4A, MG KOMATIITE Roche verte avec 5-15% de magnétite disséminée, en "spots" ou en veinules, plus ou moins continues, de 1-3mm. Les veinules de magnétite et les "patches" allongées sont à 80°/A.C.. Quelques veinules de serpentine + talc sont orientées parallèlement à la carotte à 0-20°/A.C., ou à 75°/A.C.. Micro-fractures à 60-80°/A.C. et espacées de 2-15cm. 9.40 - 9.43 VEI ST, TC Veine de serpentine à 75°/A.C., micro-fracturée et traversée d'une veinule tardive de carbonate au centre. 9.90 - 9.91 VEI ST 1cm veine de serpentine à 0-20°/A.C.. | | | | | | | | | |
| 12.50 | 13.11 | V4A, TC, ST, Fo, CIS + KOMATIITE ALIEREE - DISAILLEE Roche gris-verdâtre avec de moins en moins de veinules de mag, altérée en talc-carbonate, foliée, à faiblement cisailée à 70-90°/A.C.. Contact supérieur net à 50-55°/A.C.. Fines micro-fractures de serpentine-talc à 75°/A.C., et espacées de 5mm à 1cm. Il y a 3-5% mag.. | | | | | | | | | |
| 13.11 | 15.24 | I4B, Fo PYROXENITE GRISE Roche massive grise, à grains fins à moyens, non magnétique, foliée par endroits, à 30-35°/A.C. et fracturée à 45°/A.C.. 13.20 - 14.83 Carotte broyée et perdue. | | | | | | | | | |
| | 15.24 | FIN DU TROU | | | | | | | | | |

Géonova Explorations Inc.

| | | | | |
|---------------------------------------|--|-------------------|---------------------------------------|---------------------------|
| COMPAGNIE : GÉONOVA EXPLORATIONS INC. | | CANTON : | LOT : | IMPRIMÉ LE : 21 mars 1995 |
| PROJET : DEJOUR | | RANG : | ZONE : 018 | |
| SONDAGE : GE-94-03 | | CLAIM : 469921-3 | NO. RÉF. : | SNRC : |
| <u>COORDONNÉES AU COLLET</u> | | | | |
| LIGNE : 00+75W | | LIGNE : 00+00E | LATITUDE : 0.000 | LATITUDE : 0.000 |
| STATION : 00+20N | | STATION : 00+00N | LONGITUDE : 0.000 | LONGITUDE : 0.000 |
| ÉLEVATION : 0.000 | | ÉLEVATION : 0.000 | ÉLEVATION : 0.000 | ÉLEVATION : 0.000 |
| <u>ÉCHANTILLONNAGE</u> | | | <u>DATE</u> | |
| MÉTAUX DE BASE : | | | DATE DU JOURNAL : 03 septembre 1994 | |
| LITHOLOGIE : | | | DATE D'ARPENTAGE : | |
| | | | DATE DE CIMENTAGE : | |
| <u>INTERVENANTS</u> | | | FORAGE DÉBUTÉ LE : 31 août 1994 | |
| GÉOLOGUE : A. TREMBLAY | | | FORAGE TERMINÉ LE : 02 septembre 1994 | |
| CONTRACTEUR : LES FORAGES BENOIT LTÉE | | | | |
| RECOMPILATION : | | | | |
| <u>PROFONDEUR</u> | | | | |
| AU COLLET : 0.00 | | FINALE : 44.20 | Longueur totale : 44.20 | |
| <u>CAROTTES</u> | | | | |
| LOCATION : | | DIMENSION : A0 | | TUBAGE LAISSE : Oui |
| BUT : | | | | |
| CIBLE : ANOMALIE MAXHIN. | | | | |
| REMARQUES : | | | | |
| <u>DONNÉES D'ORIENTATION</u> | | | | |
| AZIMUT : 160° 0' | | PLONGÉE : -60° 0' | | |

Géonova Explorations Inc.

| DE (m) | A (m) | DESCRIPTION | NO ÉCHAN. | DE (m) | A (m) | LONG. (m) | Cu ppm | Zn ppm | Ag ppm | Au ppb | As |
|--------|-------|---|-----------|--------|-------|-----------|--------|--------|--------|--------|------|
| 0.00 | 5.49 | MT TUBAGE - MORT-TERRAIN Tubage laissé en place. | | | | | | | | | |
| 5.49 | 16.00 | V4A, MG KOMATIITE (MAGNÉTITE) Roche massive vert foncé à noir avec 15% de taches ou veinules de magnétite, 1-3mm, à 60-70°/A.C.. Roche foliée à 60-80°/A.C. due à l'allongement des taches de magnétite et montre un rubanement parallèle où il y a alternance de bandes noires et de bandes claires de komatiite altérée. Il y a présence d'olivine (komatiite péridotitique). La roche est recoupée de veinules de serpentine-talc jusqu'à 3cm à 40-80°/A.C.. 15.26 - 16.81 VEI OZ, PY PO 3-5% de "patches" ou veinules de PY, PO-O-Co3, 1mm-3mm, parallèles à la foliation à 30-45°/A.C. ou recoupant à 35°/A.C.. 15.26 - 16.81 VEI ST, TC Veinules de talc-serpentine à 40-80°/A.C., 1-3cm. | 514828 | 15.26 | 16.81 | 1.55 | 75 | 39 | n.d. | 17 | 163 |
| 16.00 | 25.70 | 14B, FRA PYROXENITE Roche massive, grise verdâtre, altérée, fracturée par endroits, avec blocs de komatiite localement. La roche est traversée de quelques veinules minéralisées (PY-PO) associée aux micro-fractures de zones plus déformées et altérées. Contact supérieur dans la carotte brisée et suivie d'une zone foliée-fracturée à 20°/A.C., avec micro-fractures et veinules de PY-PO-CB (CC). Contact inférieur dans la roche brisée dans la roche foliée - fracturée à 40-45°/A.C.. 19.50 - 19.93 VEI OZ-CB-PY-PO Zone altérée lessivée avec 10% de veinules de PY PO-O-Co3 dans les micro-fractures. Contact supérieur 80-85°/A.C., contact inférieur à 75-80°/A.C.. 23.45 - 25.77 BRE, FRA, PY Zone altérée - foliée à 45-50°/A.C., avec brechification et fracturation locale. 2-3% de "patches" de pyrite ou en micro-veinules. | 514829 | 19.50 | 19.93 | 0.43 | 15 | 141 | n.d. | 146 | 965 |
| 25.70 | 26.80 | SI++, GP, PO (conducteur fort) ZONE SILICIFIÉE - MINÉRALISÉE (conducteur fort, graphite, pyrrhotine) Roche noire massive, très dure et silicifiée, brechifiée avec introduction de pyrrhotine sous forme de veinule ou entre les fragments. Il y a aussi présence de fragments de chert provenant de l'encaissant inférieur et de fragments de veine de quartz. Contacts supérieur et inférieur à 70-80°/A.C.. | 514830 | 25.70 | 26.80 | 1.10 | 357 | 1060 | 1.2 | 383 | n.d. |

Géonova Explorations Inc.

| DE (m) | A (m) | DESCRIPTION | NO ECHAN. | DE (m) | A (m) | LONG. (m) | Cu ppm | Zn ppm | Ag ppm | Au ppb | As |
|--------|-------|--|------------------|----------------|----------------|--------------|--------|----------|--------------|---------|------|
| 26.80 | 41.50 | 26.27 - 26.45 I4, SI Bloc d'U.M., silicifié à 70°/A.C.. I1 POR FP, SI+ | | | | | | | | | |
| | | PORPHYRE DE FELDSPATH SILICIFIÉ (FOLIÉ) Roche massive, grise pâle avec 10-20% de phénocristaux de feldspath, 1-2mm, dans une matrice à grains fins de quartz-feldspath (mica). La roche est foliée à 55-70°/A.C.. Les contacts supérieur et inférieur sont fortement silicifiés et fracturés et traversés de veinules de PY-PO, <1mm, parallèle à la foliation. Il y a quelques veinules fines d'épidote recoupant la foliation dans des fractures à 10-15°/A.C.. Il y a 1-3% de PY-PO disséminées. | | | | | | | | | |
| | | 26.80 - 27.58 SI+, FRA, VEI PY-PO Zone silicifiée - fracturée avec 7-10% de veinules fines à PY-PO. | 514831 | 26.80 | 27.58 | 0.78 | 16 | 25 | n.d. | 10 | |
| | | 39.95 - 41.50 SI+, VEI QZ Zone silicifiée avec veinules de quartz (chert) 3mm-1cm de 41,2 à 41,5m à 50-60°/A.C.. | 514832 514833 | 39.95 40.95 | 40.95 41.50 | 1.00 0.55 | 9 8 | 15 20 | n.d. n.d. | 7 32 | |
| 41.50 | 44.20 | SI++, GP, PO (conducteur fort) ZONE MINERALISEE (conducteur) GRAPHITE + PYRRHOTINE Alternance de bandes grises à grains fins, de bandes noires bréchitiques à sulfures (PO) et de zones chertueuses. | | | | | | | | | |
| | | 41.50 - 41.76 V4, MI, PO Zone de contact, massive-grise, avec texture en nids d'abeilles, avec micas et 5-10% de pyrrhotine. | 514834 | 41.50 | 41.76 | 0.26 | 93 | 954 | 0.4 | 33 | 28 |
| | | 41.76 - 42.46 BRE GP, PO (conducteur fort) Brèche de sulfure (PO). Il y a 25% de pyrrhotine entourant les fragments noirs graphitiques. Veine de pyrite, 1cm, à 41,82m. (Conducteur fort). | 514835 | 41.76 | 42.46 | 0.70 | 328 | 847 | 0.7 | 41 | n.d. |
| | | 42.46 - 43.14 V1, CH, QZ, PY Zone de contact (comme 41,5 - 41,76m). Avec 5-7% de pyrrhotine disséminée et 1cm veine massive de pyrite suivie d'une bande chertueuse à 42,63 à 42,67m. 3cm veine de quartz à 60°/A.C. à 42,96 à 43,00m. | 514836 | 42.46 | 43.14 | 0.68 | 47 | 80 | 0.3 | 85 | 763 |
| | | 43.14 - 43.95 I1, Fo, VEI PY Bande felsique foliée à 55-60°/A.C., chertueuse avec veinule de pyrite massive, 5mm, à 44,00m. | 514837 | 43.14 | 43.95 | 0.81 | 79 | 357 | n.d. | 23 | n.d. |

Géonova Explorations Inc.

| DE (m) | A (m) | DESCRIPTION | NO ÉCHAN. | DE (m) | A (m) | LONG. (m) | Cu ppm | Zn ppm | Ag ppm | Au ppb | As |
|-----------|----------|---|-----------|-----------|----------|--------------|-----------|-----------|-----------|-----------|------|
| | | 43.95 - 44.20 BRE, i VEI OZ, PY, PO Zone bréchique minéralisée en bande avec injections de veinules de pyrite et veinules de pyrrhotine et veines de quartz. | 514838 | 43.95 | 44.20 | 0.25 | 68 | 89 | 0.2 | 18 | n.d. |
| | 44.20 | FIN DU TROU | | | | | | | | | |

Géonova Explorations Inc.

| DE (m) | A (m) | DESCRIPTION | NO ECHAN. | LONG. (m) | Cu ppm | Zn ppm | Ag ppm | Au ppb | Au-1 g/t | Cr ppm | As | La | W |
|-----------|----------|-------------|-----------|--------------|-----------|-----------|-----------|-----------|-------------|-----------|------|----|---|
| 15.26 | 16.81 | | 514828 | 1.55 | 75 | 39 | n.d. | 17 | | 1307 | 163 | | |
| 19.50 | 19.93 | | 514829 | 0.43 | 15 | 141 | n.d. | 146 | | 1235 | 945 | | |
| 25.70 | 26.80 | | 514830 | 1.10 | 357 | 1060 | 1.2 | 383 | | | n.d. | | |
| 26.80 | 27.58 | | 514831 | 0.78 | 16 | 25 | n.d. | 10 | | | | | |
| 39.95 | 40.95 | | 514832 | 1.00 | 9 | 15 | n.d. | 7 | | | | | |
| 40.95 | 41.50 | | 514833 | 0.55 | 8 | 20 | n.d. | 32 | | | | | |
| 41.50 | 41.76 | | 514834 | 0.26 | 93 | 954 | 0.4 | 33 | | | 28 | | |
| 41.76 | 42.46 | | 514835 | 0.70 | 328 | 847 | 0.7 | 41 | | | n.d. | | |
| 42.46 | 43.14 | | 514836 | 0.68 | 47 | 80 | 0.3 | 85 | | | 763 | | |
| 43.14 | 43.95 | | 514837 | 0.81 | 79 | 357 | n.d. | 23 | | | n.d. | | |
| 43.95 | 44.20 | | 514838 | 0.25 | 68 | 89 | 0.2 | 18 | | | n.d. | | |
| | 44.20 | FIN DU TROU | | | | | | | | | | | |

Géonova Explorations Inc.

| | | | | |
|--|--|-------------------|---------------------------------------|---------------------------|
| COMPAGNIE : GÉONOVA EXPLORATIONS INC. | | CANTON : | LOT : | IMPRIMÉ LE : 21 mars 1995 |
| PROJET : DEJOUR | | RANG : | ZONE : 018 | |
| SONDAGE : GE-94-04 | | CLAIM : 469948-2 | NO. RÉF. : | SNRC : |
| <u>COORDONNÉES AU COLLET</u> | | | | |
| LIGNE : 73+50E | | LIGNE : 00+00E | LATITUDE : 0.000 | LATITUDE : 0.000 |
| STATION : 05+58M | | STATION : 00+00M | LONGITUDE : 0.000 | LONGITUDE : 0.000 |
| ÉLEVATION : 0.000 | | ÉLEVATION : 0.000 | ÉLEVATION : 0.000 | ÉLEVATION : 0.000 |
| <u>ECHANTILLONNAGE</u> | | | <u>DATE</u> | |
| MÉTAUX DE BASE : | | | DATE DU JOURNAL : 06 septembre 1994 | |
| LITHOLOGIE : | | | DATE D'ARPENTAGE : | |
| | | | DATE DE CIMENTAGE : | |
| <u>INTERVENANTS</u> | | | FORAGE DÉBUTÉ LE : 03 septembre 1994 | |
| GÉOLOGUE : A. TREMBLAY | | | FORAGE TERMINÉ LE : 05 septembre 1994 | |
| CONTRACTEUR : LES FORAGES BENOIT LTÉE | | | | |
| RECOMPILATION : | | | | |
| <u>PROFONDEUR</u> | | | | |
| AU COLLET : 0.00 | | FINALE : 44.20 | Longueur totale : 44.20 | |
| <u>CAROTTES</u> | | | | |
| LOCATION : | | | DIMENSION : A0 | |
| TUBAGE LAISSÉ : Non | | | | |
| BUT : | | | | |
| CIBLE : INDICE LAC JIM. | | | | |
| REMARQUES : Propriété Eastmain, Dejour Lac Jim | | | | |
| <u>DONNÉES D'ORIENTATION</u> | | | | |
| AZIMUT : 142° 0' | | PLONGÉE : -47° 0' | | |

Géonova Explorations Inc.

| DE (m) | A (m) | DESCRIPTION | NO ÉCHAN. | DE (m) | A (m) | LONG. (m) | Cu ppm | Zn ppm | Ag ppm | Au ppb | As |
|-----------|----------|--|-----------|-----------|----------|--------------|-----------|-----------|-----------|-----------|----|
| 0.00 | 3.66 | MT TUBAGE - MORT-TERRAIN | | | | | | | | | |
| 3.66 | 9.76 | I1 POR FP, Fo PORPHYRE FELDSPATHIQUE FOLIÉ Roche massive à grains moyens, gris verdâtre avec 10-20% de phénocristaux de feldspath, 1-3mm, dans une matrice quartzo-feldspathique à grains fins. La roche est généralement foliée avec texture complètement oblitérée. La foliation est à 65-80°/A.C.. La roche est traversée de quelques veines de quartz et zones de sulfures (PY-PO). 3.95 - 4.04 I4I, S1 Zone silicifiée, gris verdâtre avec texture en nids d'abeilles (péridotite?) remplacée par du quartz 5-7% de "patches" de pyrrhotine disséminée. Contact supérieur à 45°/A.C. et contact inférieur à 90°/A.C.. 4.11 - 4.17 VEI OZ PY Veine de quartz avec contact supérieur à 60°/A.C. et contact inférieur à 85°/A.C.. 1mm de pyrite au contact supérieur dans micro-fracture. 4.21 - 4.29 VEI OZ Veine de quartz. Contacts supérieur et inférieur à 50°/A.C., recoupant la foliation. Il y a 5% de pyrite dans les micro-fractures ou comme placage d'une fracture à 40°/A.C. et perpendiculaire aux contacts. 4.48 - 5.50 DIS, S1, VEI OZ PO Zone altérée, cisaillement faiblement, silicifiée avec 10-15% de veinules de quartz et pyrrhotine à 60°/A.C.. 7.24 - 7.30 VEI OZ 6cm veine de quartz à 60°/A.C.. 9.05 - 9.10 VEI OZ 3cm veine de quartz à 65°/A.C. avec micro-fractures remplies de pyrrhotine, <1mm, à 20-35°/A.C. et traversant dans la roche encaissante au-delà du contact. 9.18 - 9.26 VEI OZ, CL, EP 6cm veine de quartz à 50°/A.C. avec micro-fractures remplies de chlorite-épidote, 4mm, à 20°/A.C. et pénétrant la roche encaissante. | 514839 | 3.66 | 4.26 | 0.60 | 28 | 67 | 0.3 | 7 | |
| | | | 514840 | 4.26 | 5.00 | 0.74 | 11 | 48 | n.d. | 9 | |
| | | | 514841 | 5.00 | 5.50 | 0.50 | 49 | 33 | 0.6 | 11 | |
| | | | 514842 | 7.60 | 8.35 | 0.75 | 10 | 41 | n.d. | 10 | |
| | | | 514843 | 8.35 | 9.20 | 0.85 | 8 | 50 | n.d. | 6 | |
| | | | 514844 | 9.20 | 9.76 | 0.56 | 11 | 37 | n.d. | 6 | |

Géonova Explorations Inc.

| DE (m) | A (m) | DESCRIPTION | NO ECHAN. | DE (m) | A (m) | LONG. (m) | Cu ppm | Zn ppm | Ag ppm | Au ppb | As |
|-----------|----------|---|-----------|-----------|----------|--------------|-----------|-----------|-----------|-----------|----|
| 9.76 | 14.37 | V4, SI, CL, PY, BRE ZONE MINÉRALISÉE Alternance de veines ou bandes de pyrite massive et de bandes ultramafiques noires, silicifiées et plus loin avec des bandes de basalte chloritisé. Les bandes de pyrite montrent une pyrite grossière bréchifiée et sont injectées de veines de quartz variant de 1 à 50cm. Les micro-fractures des veines de quartz sont remplies de pyrite et d'épidote. Le contact supérieur est à 85°/A.C. et le contact inférieur à 75-80°/A.C.. La pyrrhotine remplace la pyrite fracturée, broyée. | | | | | | | | | |
| | | 9.76 - 10.30 VEI PY 20% de veinules de pyrite fracturée, <1mm à 1cm à 55-65°/A.C.. Pyrite très fine, broyée sur 4 à 5cm au contact supérieur. Horizon ultramafique? noir ou horizon graphitique. Veinules conductrices. | 514845 | 9.76 | 10.30 | 0.54 | 69 | 106 | 1.2 | 15 | |
| | | 9.80 - 9.87 I11B 7cm dyke granitique à 60°/A.C.. | | | | | | | | | |
| | | 10.30 - 10.86 VEI PY, BRE, PO (conducteur) Veine de pyrite massive, grossière où la pyrite est fracturée et broyée et injectée de pyrrhotine (conducteur fort). | 514846 | 10.30 | 10.86 | 0.56 | 90 | 245 | 0.8 | 22 | |
| | | 10.86 - 11.94 VEI OZ, PY Alternance de veine de quartz - quartz et pyrite et bloc de roche encaissante altérée. "Banding" à 65°/A.C.. La pyrite est fracturée avec pyrrhotine interstitielle et injectée de quartz. Micro-fractures à 30°/A.C.. | 514847 | 10.86 | 11.94 | 1.08 | 83 | 291 | 0.8 | 10 | |
| | | 11.94 - 12.65 VEI PO-PY (conducteur) Pyrite massive, grossière, fracturée et pyrrhotine inter fragment (conducteur fort) avec bloc de basalte - UM? Altère à 12,33 - 12,47m. Contacts supérieur et inférieur à 80-85°/A.C.. | 514848 | 11.94 | 12.65 | 0.71 | 87 | 225 | 1.7 | 16 | |
| | | 12.65 - 13.10 VEI OZ Veine de quartz gris enfumé avec micro-fractures fines à 10-30°/A.C., en réseau. | 514849 | 12.65 | 13.10 | 0.45 | 12 | 124 | n.d. | n.d. | |
| | | 13.10 - 14.37 VEI PY + PO 50% de bandes de pyrite massive broyée, fracturée avec pyrrhotine de remplacement, 2-25cm, alternant avec du basalte altéré. "Banding" à 55-65°/A.C.. Conducteur fort le long des bandes de pyrite-pyrrhotine. | 514850 | 13.10 | 14.37 | 1.27 | 115 | 174 | 1.5 | 15 | |
| 14.37 | 16.82 | V3B, SI, PY-PO BASALTE SILICIFIÉ MINÉRALISÉ Roche massive grise-verdâtre, à grains fins, très dure, fracturée et injectée de veinules de pyrite-pyrrhotine, <1mm à 2cm occasionnellement. | 514725 | 14.37 | 15.37 | 1.00 | 106 | 143 | 1.5 | 14 | |

Géonova Explorations Inc.

| DE (m) | A (m) | DESCRIPTION | NO ECHAN. | DE (m) | A (m) | LONG. (m) | Cu ppm | Zn ppm | Ag ppm | Au ppb | As |
|-----------|----------|--|-----------|-----------|----------|--------------|-----------|-----------|-----------|-----------|----|
| 16.82 | 31.60 | 15.26 - 15.45 VEI PY-PO Injection de pyrite, fracturée, remplacé par pyrrhotine et contenant bloc de roche encaissante. | 514726 | 15.37 | 16.25 | 0.88 | 106 | 115 | 1.3 | 8 | |
| | | 15.81 - 15.88 VEI PY-PO 30% de pyrite-pyrrhotine. | 514727 | 16.25 | 16.82 | 0.57 | 82 | 169 | 1.1 | 7 | |
| | | V38, CL, EP, FRA BASALTE ALTERÉ Roche gris-verdâtre, massive, à grains fins, altérée, chloritisée - épidotisée, fracturée par endroits ou les veinules d'épidote et pyrite-pyrrhotine définissent une foliation à 60-70°/A.C.. Il y a 2-5% de veinules ou brèches de pyrrhotine-pyrite (chalcopyrite). | 514728 | 16.82 | 17.50 | 0.68 | 56 | 95 | 1.1 | 8 | |
| | | 16.82 - 17.74 SI, CB, PY-PO 10-15% de zones silicifiées-carbonatées-sulfures 1cm à 10cm à 70-75°/A.C.. Ces zones contiennent 10-15% de pyrite-pyrrhotine. (16,9 à 17,0m; 17,25 à 17,28m; 17,37 à 17,45m; 17,52 à 17,56m et 17,64 à 17,73m). | 514729 | 17.50 | 18.30 | 0.80 | 95 | 134 | 0.9 | 12 | |
| | | 18.50 - 18.90 F, PZ Zone de faille plissotée à 30-40°/A.C., crenulation. A 18,60m: veinule de carbonate-pyrite recoupante à 50°/A.C.. | 514730 | 18.30 | 19.20 | 0.90 | 97 | 77 | 0.5 | 9 | |
| | | 19.80 - 20.30 Fo, FRA, PZ Zone fracturée, très foliée, plissotée à 50-55°/A.C., crenulation, veinules d'épidote. | 514731 | 23.30 | 23.90 | 0.60 | 116 | 136 | 1.0 | 12 | |
| | | 23.30 - 23.90 FRA, SI, PY Zone fracturée, silicifiée avec 5% de pyrite. | 514732 | 23.90 | 25.10 | 1.20 | 104 | 59 | 0.8 | 11 | |
| | | 25.10 - 27.61 V PO-PY (conducteur) Zone altérée - minéralisée grise-verdâtre avec 10% de veinules de pyrrhotine-pyrite-quartz avec traces de chalcopyrite à 55°/A.C.. Les veinules varient de <1mm à 4cm et sont recoupées de veines de quartz (conducteur faible à moyen). | 514733 | 25.10 | 25.75 | 0.65 | 150 | 145 | 1.3 | 15 | |
| | | | 514734 | 25.75 | 26.65 | 0.90 | 209 | 240 | 1.2 | 13 | |
| | | | 514735 | 26.65 | 27.65 | 1.00 | 182 | 136 | 0.9 | 11 | |
| | | 28.20 - 28.25 3cm de veinules de pyrrhotine-pyrite (chalcopyrite) à 45°/A.C. et débutant sur une petite faille à 25°/A.C.. | 514736 | 27.65 | 28.60 | 0.95 | 140 | 39 | 0.8 | 13 | |
| | | | 514737 | 28.60 | 29.55 | 0.95 | 83 | 50 | 0.4 | n.d. | |

Géonova Explorations Inc.

| DE (m) | A (m) | DESCRIPTION | NO ÉCHAN. | DE (m) | A (m) | LONG. (m) | Cu ppm | Zn ppm | Ag ppm | Au ppb | As |
|-----------|----------|--|-----------|-----------|----------|--------------|-----------|-----------|-----------|-----------|----|
| 31.60 | 41.35 | 29.55 - 31.60 V PO PY Zone altérée minéralisée. | 514738 | 29.55 | 30.90 | 1.35 | 203 | 1861 | 2.3 | 9 | |
| | | | 514739 | 30.90 | 31.60 | 0.70 | 332 | 293 | 1.3 | 10 | |
| 41.35 | 44.20 | I18, POR FP TONALITE (FP?) Roche grise pâle avec phénocristaux de feldspath dans une matrice à grains plus fins de quartz-feldspath-chlorite. La roche est micro-fracturée et altérée (silicifiée) près du contact inférieur. Contact supérieur dans une fracture à 45°/A.C., contact inférieur à 85°/A.C.. | 514740 | 31.60 | 32.20 | 0.60 | 8 | 40 | n.d. | n.d. | |
| | | 34.00 - 36.25 V38, VE1 QZ PY Bloc de basalte altéré, localement minéralisé, Q-C-PY. Contact supérieur à 60°/A.C. et contact inférieur à 70°/A.C.. | 514741 | 35.50 | 36.25 | 0.75 | 195 | 328 | 0.7 | 18 | |
| 41.35 | 44.20 | 40.70 - 41.35 V CL, EP Micro-fracture de chlorite-epidote à S et 35°/A.C.. | 514742 | 40.60 | 41.40 | 0.80 | 26 | 69 | 0.3 | 6 | |
| | | V38 BASALTE Roche verte, massive, à grains fins, chloritisée, localement epidotisée avec bande de sericite-quartz-carbonate-pyrite près du contact supérieur. | | | | | | | | | |
| 44.20 | 44.20 | 41.35 - 41.65 V38, SR, CL, OZ, PY-PO Zone altérée minéralisée, sericite, chlorite, quartz, Co3, pyrite, pyrrotine à 70°/A.C. 5-10% de pyrrotine-pyrite en veinules, 1-3mm. | 514743 | 41.40 | 41.75 | 0.35 | 200 | 731 | 1.9 | 61 | |
| | | FIN DU TROU | 514744 | 41.75 | 42.35 | 0.60 | 43 | 53 | n.d. | 13 | |

Géonova Explorations Inc.

| DE (m) | A (m) | DESCRIPTION | NO ÉCHAN. | LONG. (m) | Cu ppm | Zn ppm | Ag ppm | Au ppb | Au-1 g/t | Cr ppm | As | La | W | |
|-----------|----------|------------------------------|-------------|--------------|-----------|-----------|-----------|-----------|-------------|-----------|----|-----|------|--|
| 3.66 | 4.26 | Métrage réel débute à 4.25m. | 514839 | 0.60 | 28 | 67 | 0.3 | 7 | | | | 19 | n.d. | |
| 4.26 | 5.00 | | 514840 | 0.74 | 11 | 48 | n.d. | 9 | | | | 18 | n.d. | |
| 5.00 | 5.50 | | 514841 | 0.50 | 49 | 33 | 0.6 | 11 | | | | 27 | 28 | |
| 7.60 | 8.35 | | 514842 | 0.75 | 10 | 41 | n.d. | 10 | | | | 16 | n.d. | |
| 8.35 | 9.20 | | 514843 | 0.85 | 8 | 50 | n.d. | 6 | | | | 24 | n.d. | |
| 9.20 | 9.75 | | 514844 | 0.56 | 11 | 37 | n.d. | 6 | | | | 19 | n.d. | |
| 9.76 | 10.30 | | 514845 | 0.54 | 69 | 106 | 1.2 | 15 | | | | 68 | n.d. | |
| 10.30 | 10.86 | | 514846 | 0.56 | 90 | 245 | 0.8 | 22 | | | | 129 | 181 | |
| 10.86 | 11.94 | | 514847 | 1.08 | 83 | 291 | 0.8 | 10 | | | | 76 | 147 | |
| 11.94 | 12.65 | | 514848 | 0.71 | 87 | 225 | 1.7 | 16 | | | | 115 | 49 | |
| 12.65 | 13.10 | | 514849 | 0.45 | 12 | 124 | n.d. | n.d. | | | | 5 | n.d. | |
| 13.10 | 14.37 | | 514850 | 1.27 | 115 | 174 | 1.5 | 15 | | | | 107 | 56 | |
| 14.37 | 15.37 | | 514725 | 1.00 | 106 | 143 | 1.5 | 14 | | | | 39 | 31 | |
| 15.37 | 16.25 | | 514726 | 0.88 | 106 | 115 | 1.3 | 8 | | | | 35 | 23 | |
| 16.25 | 16.82 | | 514727 | 0.57 | 82 | 169 | 1.1 | 7 | | | | 27 | n.d. | |
| 16.82 | 17.50 | | 514728 | 0.68 | 56 | 95 | 1.1 | 8 | | | | 18 | 20 | |
| 17.50 | 18.30 | | 514729 | 0.80 | 95 | 134 | 0.9 | 12 | | | | 21 | 26 | |
| 18.30 | 19.20 | | 514730 | 0.90 | 97 | 77 | 0.5 | 9 | | | | 22 | n.d. | |
| 23.30 | 23.90 | | 514731 | 0.60 | 116 | 136 | 1.0 | 12 | | | | 28 | 31 | |
| 23.90 | 25.10 | | 514732 | 1.20 | 104 | 59 | 0.8 | 11 | | | | 24 | n.d. | |
| 25.10 | 25.75 | | 514733 | 0.65 | 150 | 145 | 1.3 | 15 | | | | 37 | n.d. | |
| 25.75 | 26.65 | | 514734 | 0.90 | 209 | 240 | 1.2 | 13 | | | | 60 | 32 | |
| 26.65 | 27.65 | | 514735 | 1.00 | 182 | 136 | 0.9 | 11 | | | | 44 | 21 | |
| 27.65 | 28.60 | | 514736 | 0.95 | 140 | 39 | 0.8 | 13 | | | | 25 | n.d. | |
| 28.60 | 29.55 | | 514737 | 0.95 | 85 | 50 | 0.4 | n.d. | | | | 17 | n.d. | |
| 29.55 | 30.90 | | 514738 | 1.35 | 203 | 1861 | 2.3 | 9 | | | | 37 | 149 | |
| 30.90 | 31.60 | | 514739 | 0.70 | 332 | 293 | 1.3 | 10 | | | | 32 | 50 | |
| 31.60 | 32.20 | | 514740 | 0.60 | 8 | 40 | n.d. | n.d. | | | | 16 | n.d. | |
| 35.50 | 36.25 | | 514741 | 0.75 | 195 | 328 | 0.7 | 18 | | | | 31 | 219 | |
| 40.60 | 41.40 | | 514742 | 0.80 | 26 | 69 | 0.3 | 6 | | | | 7 | 21 | |
| 41.40 | 41.75 | | 514743 | 0.35 | 200 | 731 | 1.9 | 61 | | | | 45 | 36 | |
| 41.75 | 42.35 | | 514744 | 0.60 | 43 | 53 | n.d. | 13 | | | | 18 | n.d. | |
| 44.20 | | | FIN DU TROU | | | | | | | | | | | |

Géonova Explorations Inc.

| | | | | | | | |
|--|--|--|--|--|--|--|--|
| COMPAGNIE : GÉONOVA EXPLORATIONS INC. PROJET : DEJOUR SONDAGE : GE-94-05 | | CANTON : RANG : CLAIM : 469948-2 | | LOT : ZONE : 018 NO. RÉF. : | | IMPRIMÉ LE : 21 mars 1995 SNRC : | |
| <u>COORDONNÉES AU COLLET</u> | | | | LIGNE : 73+65E STATION : 04+97M ÉLEVATION : 0.000 | | LIGNE : 00+00E STATION : 00+00N ÉLEVATION : 0.000 | |
| | | | | LATITUDE : 0.000 LONGITUDE : 0.000 ÉLEVATION : 0.000 | | LATITUDE : 0.000 LONGITUDE : 0.000 ÉLEVATION : 0.000 | |
| <u>ÉCHANTILLONNAGE</u> | | MÉTAUX DE BASE : LITHOLOGIE : | | | | <u>DATE</u> | |
| <u>INTERVENANTS</u> | | GÉOLOGUE : A. TREMBLAY CONTRACTEUR : LES FORAGES BENOIT LTÉE RECOMPILATION : | | | | DATE DU JOURNAL : 10 septembre 1994 DATE D'ARPENTAGE : DATE DE CIMENTAGE : | |
| | | FORAGE DÉBUTÉ LE : 06 septembre 1994 FORAGE TERMINÉ LE : 07 septembre 1994 | | | | | |
| <u>PROFONDEUR</u> | | AU COLLET : 0.00 | | FINALE : 44.20 | | Longueur totale : 44.20 | |
| <u>CAROTTES</u> | | LOCATION : | | | | DIMENSION : A0 | |
| | | | | | | TUBAGE LAISSÉ : Oui | |
| BUT : CIBLE : ANOMALIE MAXMIN II REMARQUES : Propriété Dejour (Lac Jim). | | | | | | | |
| <u>DONNÉES D'ORIENTATION</u> | | AZIMUT : 160° 0' | | PLONGÉE : -47° 0' | | | |

Géonova Explorations Inc.

| DE (m) | A (m) | DESCRIPTION | NO ÉCHAN. | DE (m) | A (m) | LONG. (m) | Cu ppm | Zn ppm | Ag ppm | Au ppb | As |
|-----------|----------|--|-----------|-----------|----------|--------------|-----------|-----------|-----------|-----------|----|
| 0.00 | 6.10 | MT TUBAGE - MORT-TERRAIN Tubage laissé en place. | | | | | | | | | |
| 6.10 | 31.50 | V38 MAS BASALTE MASSIF Roche verte massive à grains fins, localement plus grenue. La roche est foliée par endroits et moyennement fracturée. La foliation est définie par l'allongement des grains de feldspath et par de fines veinules d'épidote et de quartz. La foliation est généralement à 80-85°/A.C.. La roche est recoupée de nombreuses intrusions felsiques porphyriques à contacts nets et concordantes avec la foliation ainsi que de plusieurs veines de quartz et de quelques veinules de pyrrhotine. 9.70 - 10.05 I1 POR, Fo Intrusion felsique porphyrique foliée. Contacts supérieur et inférieur à 85°/A.C. Foliation à 80-85°/A.C.. Contacts nets (.35m). 10.48 - 10.58 I1 POR Intrusion porphyrique felsique massive. Contacts supérieur et inférieur nets à 90°/A.C.. (.10m). 11.40 - 11.48 VE1 OZ, CL Veine de quartz avec bordure chloriteuse. Contact supérieur à 80°/A.C. et contact inférieur à 90°/A.C.. Non mineralise. 11.94 - 11.96 VE1 PO, OZ Veinule de pyrrhotine massive à semi-massive (70%) avec quartz, Co3 à 75°/A.C.. 2cm de largeur au contact supérieur d'une intrusion felsique. 11.96 - 12.05 I1 POR, Fo Intrusion porphyrique felsique foliée à 80°/A.C.. 12.20 - 12.39 VE1 OZ, CB, PO Veinules de PO-O-Co3 (35% PO) à 80°/A.C.. 12.84 - 13.10 I1 POR, Fo, PO Intrusion porphyrique felsique foliée avec contacts nets à 85°/A.C., 1cm quartz-pyrrhotine veinules au contact inférieur (1-10% PO). 13.16 - 13.20 VE1 OZ Veinules de quartz, 4cm, à 70-75°/A.C. et recoupant la foliation (80-85°/A.C.). | 514745 | 11.94 | 12.41 | 0.47 | 446 | 76 | 0.7 | 10 | |
| | | | 514746 | 12.41 | 12.81 | 0.40 | 254 | 46 | 0.4 | 6 | |

Géonova Explorations Inc.

| DE (m) | A (m) | DESCRIPTION | NO ECHAN. | DE (m) | A (m) | LONG. (m) | Cu ppm | Zn ppm | Ag ppm | Au ppb | As |
|-----------|----------|---|------------------|----------------|----------------|--------------|-----------|-----------|------------|-----------|----|
| | | 13.55 - 14.12 I1 POR Fo Intrusion felsique porphyrique foliée à contacts nets à 85°/A.C.. | | | | | | | | | |
| | | 15.11 - 15.22 I1 POR Intrusion felsique porphyrique à 65°/A.C.. | | | | | | | | | |
| | | 17.55 - 19.52 I1 POR Intrusion felsique porphyrique. Contacts supérieur et inférieur à 70-75°/A.C.. | 514747 | 19.50 | 20.00 | 0.50 | 145 | 36 | 0.5 | 14 | |
| | | 19.70 - 19.71 VE1 O2-P0 Veinule de O-C-P0, 1cm, à 75°/A.C.. | | | | | | | | | |
| | | 19.88 - 19.93 VE1 O2-P0 Deux veinules de O-C-P0, 1cm, à 75°/A.C.. | | | | | | | | | |
| | | 20.70 - 23.70 I1 POR, Fo Intrusion porphyrique felsique foliée. Contact supérieur à 75°/A.C., contact inférieur à 80-85°/A.C., foliation à 70-75°/A.C.. | 514748 | 24.45 | 25.35 | 0.90 | 114 | 35 | 0.4 | 7 | |
| | | 24.46 - 24.92 I1, VE1 O2 50% d'intrusions felsiques altérées et de veines de quartz (traces P0), 5mm à 4cm à 75-85°/A.C.. | | | | | | | | | |
| | | 26.26 - 26.58 i11 POR Fo Dyke felsique porphyrique folié. Contacts supérieur et inférieur nets à 80-85°/A.C.. | 514749 514750 | 25.35 26.55 | 26.55 29.97 | 1.20 3.42 | 127 94 | 51 35 | 0.4 0.5 | 8 n.d. | |
| | | 26.76 - 26.82 i11 POR Fo Idem. Contacts supérieur et inférieur nets à 75-80°/A.C.. | | | | | | | | | |
| | | 27.02 - 27.31 i11 POR Fo Dyke porphyrique felsique à 80°/A.C. recoupé par veines de quartz-carbonate à 75°/A.C.. | | | | | | | | | |
| | | 27.75 - 28.47 i11 POR Fo Dyke porphyrique felsique folié. Contact supérieur à 65-70°/A.C., contact inférieur "in blocky core". | | | | | | | | | |

Géonova Explorations Inc.

| DE (m) | A (m) | DESCRIPTION | NO ÉCHAN. | DE (m) | A (m) | LONG. (m) | Cu ppm | Zn ppm | Ag ppm | Au ppb | As |
|-----------|----------|--|-----------|-----------|----------|--------------|-----------|-----------|-----------|-----------|----|
| | | 28.72 - 28.93 i11 POR Fo Dyke porphyrique felsique. Contacts supérieur et inférieur à 80°/A.C.. | | | | | | | | | |
| | | 29.76 - 30.00 i11 POR Fo Dyke porphyrique felsique folié. Contacts supérieur et inférieur à 85°/A.C.. 2mm veinule massive de pyrite-pyrrhotine à 85°/A.C. à 29,60m. | | | | | | | | | |
| 31.50 | 38.20 | 14B MAS PYROXÉNITE Roche massive, grains moyens, grise-verdâtre et composée de plus de 80% de pyroxène et de 10-20% de feldspath. | | | | | | | | | |
| 38.20 | 44.20 | 13A GABBRO (DIORITE) Roche massive, verdâtre, à grains moyens avec 30-45% de feldspath. Roche fracturée et traversée de 10-12% de veinules de quartz-carbonate à 10, 60°/A.C.. | | | | | | | | | |
| | | 43.54 - 44.20 VE1 QZ Veine de quartz à 15°/A.C. avec prolongement dans foliation à 65°/A.C.. | | | | | | | | | |
| | 44.20 | FIN DU TROU | | | | | | | | | |

Géonova Explorations Inc.

| DE (m) | A (m) | DESCRIPTION | NO ÉCHAN. | LONG. (m) | Cu ppm | Zn ppm | Ag ppm | Au ppb | Au-1 g/t | Cr ppm | As | La | W |
|--------|-------|-------------|-----------|-----------|--------|--------|--------|--------|----------|--------|----|----|---|
| 11.94 | 12.41 | | 514745 | 0.47 | 446 | 76 | 0.7 | 10 | | | | | |
| 12.41 | 12.81 | | 514746 | 0.40 | 254 | 46 | 0.4 | 6 | | | | | |
| 19.50 | 20.00 | | 514747 | 0.50 | 145 | 36 | 0.5 | 14 | | | | | |
| 24.45 | 25.35 | | 514748 | 0.90 | 114 | 35 | 0.4 | 7 | | | | | |
| 25.35 | 26.55 | | 514749 | 1.20 | 127 | 51 | 0.4 | 8 | | | | | |
| 26.55 | 29.97 | | 514750 | 3.42 | 94 | 35 | 0.5 | n.d. | | | | | |
| | 44.20 | FIN DU TROU | | | | | | | | | | | |

Géonova Explorations Inc.

| | | | | |
|---|--|---|--|--|
| COMPAGNIE : GEONOVA EXPLORATIONS INC. | | CANTON : | LOT : | IMPRIMÉ LE : 21 mars 1995 |
| PROJET : DEJOUR | | RANG : | ZONE : 018 | |
| SONDAGE : GE-94-06 | | CLAIM : 5067323 | NO. RÉF. : | SNRC : |
| <u>COORDONNÉES AU COLLET</u> | | | | |
| LIGNE : 04+00E STATION : 01+50M ÉLEVATION : 0.000 | | LIGNE : 00+00E STATION : 00+00M ÉLEVATION : 0.000 | LATITUDE : 0.000 LONGITUDE : 0.000 ÉLEVATION : 0.000 | LATITUDE : 0.000 LONGITUDE : 0.000 ÉLEVATION : 0.000 |
| <u>ÉCHANTILLONNAGE</u> | | | <u>DATE</u> | |
| MÉTAUX DE BASE : | | | DATE DU JOURNAL : | |
| LITHOLOGIE : | | | DATE D'ARPENTAGE : | |
| <u>INTERVENANTS</u> | | | DATE DE CIMENTAGE : | |
| GÉOLOGUE : A. TREMBLAY | | | FORAGE DÉBUTÉ LE : 08 septembre 1994 | |
| CONTRACTEUR : LES FORAGES BENOIT LTÉE | | | FORAGE TERMINÉ LE : 10 septembre 1994 | |
| RECOMPILATION : | | | | |
| <u>PROFONDEUR</u> | | | | |
| AU COLLET : 0.00 | | FINALE : 44.20 | Longueur totale : 44.20 | |
| <u>CAROTTES</u> | | | | |
| LOCATION : | | | DIMENSION : A0 | |
| TUBAGE LAISSE : Non | | | | |
| BUT : | | | | |
| CIBLE : ANOMALIE P.P. | | | | |
| REMARQUES : Propriété Eastmain (Bloc Main). | | | | |
| <u>DONNÉES D'ORIENTATION</u> | | | | |
| AZIMUT : 145° 0' | | PLONGÉE : -47° 0' | | |

Géonova Explorations Inc.

| DE (m) | A (m) | DESCRIPTION | NO ÉCHAN. | DE (m) | A (m) | LONG. (m) | Cu ppm | Zn ppm | Ag ppm | Au ppb | As |
|--------|-------|--|--------------------------------------|----------------------------------|----------------------------------|------------------------------|-----------------------|----------------------|---------------------------|----------------------|----|
| 0.00 | 10.35 | MT TUBAGE - MORT-TERRAIN | | | | | | | | | |
| 10.35 | 10.50 | M1, B0 GNEISS GRANITIQUE A BIOTITE (BLOC?) Roche grise avec 15% de biotite alignée suivant la foliation à 55°/A.C.. | 514901 | 10.35 | 11.15 | 0.80 | 12 | 21 | n.d. | 7 | |
| 10.50 | 11.15 | V1, S1, FRA ZONE FELSIQUE - FRACTURÉE - SILICIFIÉE Roche grise, massive, avec micro-fractures à 40-45°/A.C., 1mm -3mm, remplies de chlorite - micas blancs et de quartz. | | | | | | | | | |
| 11.15 | 23.00 | V3B/V1, b, PY BASALTE / ZONE FELSIQUE LAMINÉE (CHERT) - MINÉRALISÉE Alternance de roche grise-verdâtre à grains fins, altérée, avec micas, avec des bandes felsiques injectées de quartz et localement finement laminée. Il y a 3-5% de pyrite fine disséminée ou en veinules de 1mm à 1cm dans le réseau de fractures. La pyrite est souvent concentrée aux bordures de veines de quartz ou de fragments de veines de quartz. | 514902 514903 | 11.15 12.00 | 12.00 13.00 | 0.85 1.00 | 24 26 | 41 18 | n.d. n.d. | 6 13 | |
| | | 12.02 - 12.50 i 11B, FRA Zone à injections granitiques felsiques fracturées à 55°/A.C.. | | | | | | | | | |
| | | 13.00 - 13.25 i 11B, PY 5-7% de pyrite associée aux zones basaltiques injectée de zones felsiques. Contact supérieur à 30° et contact inférieur à 70° avec zone felsique. | 514904 | 13.00 | 13.25 | 0.25 | 177 | 49 | 0.7 | 29 | |
| | | 14.62 - 14.72 3-5% de pyrite dans V3 aux abords d'une zone felsique à 40°/A.C.. | 514905 514906 | 13.25 14.60 | 14.60 15.50 | 1.35 0.90 | 23 42 | 32 46 | n.d. 0.3 | 10 16 | |
| | | 15.38 - 15.43 VE1 CB, PY 3% pyrite dans V3 associé à une veinule de Co3 à 50°/A.C.. | | | | | | | | | |
| | | 15.75 - 15.87 VE1 PY 5% de fines veinules de pyrite <1mm parallèles au "banding" à 35°/A.C.. | 514907 | 15.50 | 16.75 | 1.25 | 18 | 30 | 0.2 | 7 | |
| | | 16.70 - 19.74 VE1 PY Veinules occasionnelles ou "patches" de pyrite, <1mm à 1cm à 40°/A.C.. | 514908 514909 514910 514911 | 16.75 17.85 18.80 19.65 | 17.85 18.80 19.65 20.40 | 1.10 0.95 0.85 0.75 | 65 42 61 290 | 35 34 31 44 | 0.4 n.d. 0.4 0.8 | 33 14 41 93 | |

Géonova Explorations Inc.

| DE (m) | A (m) | DESCRIPTION | NO ECHAN. | DE (m) | A (m) | LONG. (m) | Cu ppm | Zn ppm | Ag ppm | Au ppb | As |
|-----------|----------|---|-----------|-----------|----------|--------------|-----------|-----------|-----------|-----------|----|
| | | 19.74 - 22.87 FF, PY | 514912 | 20.40 | 21.02 | 0.62 | 66 | 32 | 0.4 | 76 | |
| | | Zone minéralisée (faible conducteur), 5-10% de pyrite disséminée dans les fractures et autour de fragments felsiques à 30, 55, 65°/A.C.. ("Banding" irrégulier). Faille. | 514913 | 21.02 | 21.90 | 0.88 | 116 | 56 | 0.8 | 71 | |
| | | | 514914 | 21.90 | 22.40 | 0.50 | 117 | 89 | 0.5 | 870 | |
| | | | 514915 | 22.40 | 23.00 | 0.60 | 354 | 125 | 0.8 | 50 | |
| 23.00 | 24.60 | POR FP, Fo | 514916 | 23.00 | 24.60 | 1.60 | 29 | 49 | n.d. | 7 | |
| | | PORPHYRE FELDSPATHIQUE FOLIÉ Roche massive, grise pâle, avec 15% de feldspath, 1-3mm, dans une matrice à grains fins. Les phénocristaux sont oblitérés le long du trou et allongés parallèle à la foliation à 50°/A.C.. Contacts supérieur et inférieur nets à 50°/A.C.. | | | | | | | | | |
| 24.60 | 44.20 | V3 | | | | | | | | | |
| | | BASALTE Roche gris-verdâtre, massive, à grains fins, avec micro-fractures, 5-7%, fines, localement remplies de pyrite, 1-5mm, à 50-55°/A.C.. La roche est localement foliée due à une concentration des micro-fractures. Note: Micro-fractures et foliations à 45°/A.C.. | | | | | | | | | |
| | | 24.60 - 25.10 VEI PY | 514917 | 24.60 | 25.10 | 0.50 | 117 | 175 | 0.2 | 21 | |
| | | Veinules a pyrite, 1-5mm, diséminée, à 35-50°/A.C.. | | | | | | | | | |
| | | 25.10 - 25.52 VEI OZ-PY | 514918 | 25.10 | 26.05 | 0.95 | 66 | 103 | n.d. | 13 | |
| | | Veine de quartz lasiteux. Contact supérieur à 55° et contact inférieur à 35°/A.C. et traversée de veinules de pyrite 1mm. | | | | | | | | | |
| | | 25.52 - 25.65 V3B, PY | | | | | | | | | |
| | | 3% pyrite (basalte). | | | | | | | | | |
| | | 25.65 - 26.02 VEI OZ-PY | | | | | | | | | |
| | | Veine de quartz à 45°/A.C., avec 5-7% de pyrite, 1-3mm, dans les micro-fractures a 25-30°/A.C.. | | | | | | | | | |
| | | 26.10 - 26.12 VEI OZ,PY | 514919 | 26.05 | 27.30 | 1.25 | 50 | 134 | n.d. | 14 | |
| | | Veine de quartz-pyrite, 1cm, à 45-50°/A.C.. | | | | | | | | | |
| | | 26.20 - 26.26 VEI OZ-PY | | | | | | | | | |
| | | Veine de quartz-pyrite, 4cm, à 45°/A.C.. | | | | | | | | | |
| | | 27.03 - 27.04 VEI OZ | | | | | | | | | |
| | | Veine de quartz (pyrite), 1cm, à 70°/A.C.. | | | | | | | | | |
| | | | 514920 | 27.30 | 28.30 | 1.00 | 50 | 96 | n.d. | 9 | |

Géonova Explorations Inc.

| DE (m) | A (m) | DESCRIPTION | NO ECHAN. | DE (m) | A (m) | LONG. (m) | Cu ppm | Zn ppm | Ag ppm | Au ppb | As |
|-----------|-------------|-------------|-----------|-----------|----------|--------------|-----------|-----------|-----------|-----------|----|
| 44.20 | FIN DU TROU | 514921 | 28.30 | 29.40 | 1.10 | 41 | 132 | n.d. | 5 | | |
| | | 514922 | 29.40 | 30.50 | 1.10 | 103 | 50 | n.d. | n.d. | | |
| | | 514923 | 30.50 | 31.80 | 1.30 | 67 | 150 | 0.3 | 5 | | |
| | | 514924 | 31.80 | 33.00 | 1.20 | 77 | 54 | n.d. | n.d. | | |

Géonova Explorations Inc.

| DE (m) | A (m) | DESCRIPTION | NO ÉCHAN. | LONG. (m) | Cu ppm | Zn ppm | Ag ppm | Au ppb | Au-1 g/t | Cr ppm | As | La | W |
|-----------|----------|-------------|-----------|--------------|-----------|-----------|-----------|-----------|-------------|-----------|----|----|---|
| 10.35 | 11.15 | | 514901 | 0.80 | 12 | 21 | n.d. | 7 | | | | | |
| 11.15 | 12.00 | | 514902 | 0.85 | 24 | 41 | n.d. | 6 | | | | | |
| 12.00 | 13.00 | | 514903 | 1.00 | 26 | 18 | n.d. | 13 | | | | | |
| 13.00 | 13.25 | | 514904 | 0.25 | 177 | 49 | 0.7 | 29 | | | | | |
| 13.25 | 14.60 | | 514905 | 1.35 | 23 | 32 | n.d. | 10 | | | | | |
| 14.60 | 15.50 | | 514906 | 0.90 | 42 | 46 | 0.3 | 16 | | | | | |
| 15.50 | 16.75 | | 514907 | 1.25 | 18 | 30 | 0.2 | 7 | | | | | |
| 16.75 | 17.85 | | 514908 | 1.10 | 65 | 35 | 0.4 | 33 | | | | | |
| 17.85 | 18.80 | | 514909 | 0.95 | 42 | 34 | n.d. | 14 | | | | | |
| 18.80 | 19.65 | | 514910 | 0.85 | 61 | 31 | 0.4 | 41 | | | | | |
| 19.65 | 20.40 | | 514911 | 0.75 | 290 | 44 | 0.8 | 93 | | | | | |
| 20.40 | 21.02 | | 514912 | 0.62 | 66 | 32 | 0.4 | 76 | | | | | |
| 21.02 | 21.90 | | 514913 | 0.88 | 116 | 56 | 0.8 | 71 | | | | | |
| 21.90 | 22.40 | | 514914 | 0.50 | 117 | 89 | 0.5 | 870 | | | | | |
| 22.40 | 23.00 | | 514915 | 0.60 | 354 | 125 | 0.8 | 50 | | | | | |
| 23.00 | 24.60 | | 514916 | 1.60 | 29 | 49 | n.d. | 7 | | | | | |
| 24.60 | 25.10 | | 514917 | 0.50 | 117 | 175 | 0.2 | 21 | | | | | |
| 25.10 | 26.05 | | 514918 | 0.95 | 66 | 103 | n.d. | 13 | | | | | |
| 26.05 | 27.30 | | 514919 | 1.25 | 50 | 134 | n.d. | 14 | | | | | |
| 27.30 | 28.30 | | 514920 | 1.00 | 50 | 96 | n.d. | 9 | | | | | |
| 28.30 | 29.40 | | 514921 | 1.10 | 41 | 132 | n.d. | 5 | | | | | |
| 29.40 | 30.50 | | 514922 | 1.10 | 103 | 50 | n.d. | n.d. | | | | | |
| 30.50 | 31.80 | | 514923 | 1.30 | 67 | 150 | 0.3 | 5 | | | | | |
| 31.80 | 33.00 | | 514924 | 1.20 | 77 | 54 | n.d. | n.d. | | | | | |
| | 44.20 | FIN DU TROU | | | | | | | | | | | |